п-799

# TPYADI

### ИНСТИТУТА ГЕОЛОГИЧЕСКИХ НАУК

ВЫП. 403 СЕРИЯ РУДНЫХ МЕСТОРОЖДЕНИЙ (№ 13), 1949

н. в. павлов

ХИМИЧЕСКИЙ СОСТАВ ХРОМИПИНЕЛИДОВ В СВИЗИ С ПЕТРОГРАФИЧЕСКИМ СОСТАВОМ ПОРОД УЛЬТРАОСНОВНЫХ ИНТРУЗИВОВ



#### ТРУДЫ ИНСТИТУТА ГЕОЛОГИЧЕСКИХ НАУК

вып. 108. серия рупных месторождений ж (13), 1049

Гл. редактор академик И. Ф. Григорьев.

Отв. редактор  $\Gamma$ . А. Соколов

#### н. в. павлов

### химический состав хромшпинелидов в связи С ПЕТРОГРАФИЧЕСКИМ СОСТАВОМ ПОРОД УЛЬТРАОСНОВНЫХ интрузивов

#### **ВВЕДЕНИЕ**

В литературе, посвященной вопросам минералогии и генезиса хромитовых месторождений, уделено весьма мало внимания вопросу зависимости состава рудообразующих хромшпинелидов от особенностей состава ультраосновных пород хромитоносных массивов. Объясняется это тем, что, с одной стороны, ввиду широко проявляющегося метаморфизма пород, далеко не всегда удается установить первичный состав их; с другой стороны, химический состав рудообразующих хромшиинелидов изучался с необходимой детальностью сравнительно немногими исследователями. Обычно же производились в массовых количествах лишь частные определения окислов — Cr<sub>2</sub>O<sub>3</sub>, «FeO» и SiO<sub>2</sub> для промышленной характеристики «сырых» руд.

Более широкое освещение связей между составом руд и составом рудообразующих хромшпинелидов, с одной стороны, и петрографическим и химическим составом вмещающих пород, с другой, несомненно углубило бы наши представления о генезисе хромитовых месторождений и о геохимическом поведении хрома. Решение этого вопроса приобрело бы важное значение и в практическом отношении, так как стало бы возможным давать прогнозы по качеству руд и тем самым оказывать научную помощь

На необходимость углубленного изучения химизма хромитовых руд и вмещающих их пород указывал ряд исследователей: Н. А. Шадлун (1929), Б. П. Кротов (1932), А. Г. Бетехтин (1933) и др. До 1941 г. немногочисленные частные факты по интересующему нас вопросу мы находим в работах А. Г. Бетехтина (1937), П. М. Татаринова (1941) и В. П. Логинова совместно с Н. В. Павловым и Г. А. Соколовым (1940).

Автор настоящей работы в 1941 г. на примере четырех южноуральских хромитовых массивов рассмотрел в предварительном виде вопрос о связи состава рудообразующих хромшпинелидов с составом вмещающих пород.

Г. А. Соколов (1948) в работе «Хромиты Урала» при исследовании процессов присталлизации хромитовых руд и закономерностей их распространения в общем виде касается также вопроса о связи состава руд

чавом вмещающих пород.

В иностранной литературе до самого последнего времени этому вопросу не было уделено внимания, хотя, начиная с 1941 г., американские исследователи начали интересоваться вариациями состава хромшпинелидов и их генетической связью с материнскими породами. Стивенс (Stevens, 1944) в работе «Состав некоторых хромитов Западного полушария» изучает изоморфизм хромшпинелидов и дает их классификацию. В развитие этой работы, используя материалы по петрографии хромитоносных массивов Западного полушария, другой американский исследователь Сайер (Thayer, 1946) опубликовал работу «Предварительное химическое сопоставление хромитов с вмещающими породами». В этой работе Сайер уже останавливается на сопоставлении хромшпинелидов из различных петрологических провинций.

За последние десять лет, наряду с усовершенствованиями методики анализа хромшпинелидов (Ю. Н. Книпович — 1937 г., Н. В. Лазарев, II. А. Волков — 1946 г. и др.), накопился значительный аналитический материал по рудообразующим и акцессорным хромшпинелидам, позволяющий делать некоторые весьма важные обобщения. Автор настоящей работы в период с 1935 по 1941 г. являлся сотрудником Хромитовой группы ИГН АН СССР, исследования которой охватили значительное число хромитоносных массивов Урала. В период с 1944 по 1946 г. автор лродолжил работу по изучению хромитовых месторождений. Собранный материал позволил ему сделать попытку осветить вопрос о связи между составами рудообразующих хромшинелидов и составами материнских пород более подробно, чем это было сделано в статье 1941 г. В настоящей работе непосредственно названному вопросу посвящены главы IV, V, VI и VII. Им предпосланы, с одной стороны, обзорные характеристики жимизма природных хромшпинелидов как рудообразующих, так и акцессорных, с другой — геолого-петрографическая характеристика уральских хромитоносных массивов.

Автор выражает глубокую признательность коллективу сотрудников бывшей Хромитовой группы ИГН АН СССР: С. А. Кашину, В. П. Логинову, а также А. А. Филимоновой, за возможность пользования их материалами по хромитам. Особую признательность автор приносит Г. А. Соколову, на протяжении более чем десяти лет неустанно трудившемуся над повышением его научного роста. Столь же признателен автор члену-корреспонденту АН СССР А. Г. Бетехтину за просмотр рукописи, ценные указания и замечания, а также консультации, которыми автор пользовался на протяжении всей работы.

Если автору настоящей работы удалось хотя бы в малой степени расширить наши знания в области теории образования магматических месторождений, он счел бы свой труд оправданным.

#### І. О ХИМИЧЕСКОМ СОСТАВЕ ПРИРОДНЫХ ХРОМШПИНЕЛИДОВ (ОБЩАЯ ХАРАКТЕРИСТИКА ХИМИЧЕСКОГО СОСТАВА И ИЗОМОРФИЗМ ПРИРОДНЫХ ХРОМШПИНЕЛИДОВ)

Как известно, хромшиинелиды относятся к группе шпинели, т. е. минералов, которые являются солями двуосновных кислот— $H_2Al_2O_4$ ,  $H_2Cr_2O_4$ ,  $H_2Fe_2O_4$ ,  $H_2Mn_2O_4$ . Солям, производным от этих кислот, А. К. Болдырев дал название «алюминиаты», «хромиаты», «ферриаты» и «манганиаты» <sup>1</sup>.

<sup>&</sup>lt;sup>1</sup> Эти названия А. К. Болдыревым даны в соответствии с предложенными А. Вернером названиями солей комплексных галоидокислот.

Исходя из основной задачи нашей темы — выявления зависимостей между химическим составом природных хромшпинелидов и составом материнских ультраосновных пород, необходимо статистически рассмотреть химические составы природных хромшпинелидов.

Обзоры в этом направлении делались неоднократно, однако относительно более совершенные даны А. К. Болдыревым, А. Г. Бетехтиным

и Г. А. Соколовым.

А. К. Болдырев, исходя из наличия изоморфизма в группе шпинели, дал классификацию минеральных видов. Этот автор исходил из теоретически возможных комбинаций в сочетаниях трех- и двухвалентных окислов металлов: R = Al,  $Fe^{+++}$ , Cr и  $Mn^{+++}$  M = Mg,  $Fe^{++}$ ,  $Mn^{++}$  и Zn и получил 225 возможных минеральных видов.

Известных же в природе минеральных видов им приводится 32, из которых только 8 относятся к собственно хромшпинелидам. Это следующие минеральные виды: 1) хромит —  $\operatorname{Cr}_2\operatorname{O}_4\operatorname{Fe}$ , 2) магнохромит —  $\operatorname{Cr}_2\operatorname{O}_4(\operatorname{Mg},\operatorname{Fe})$ , 3) магноферрихромит — (Fe,  $\operatorname{Cr})_2\operatorname{O}_4(\operatorname{Mg},\operatorname{Fe})$ , 4) алюмохромит — (Al,  $\operatorname{Cr})_2\operatorname{O}_4\operatorname{Fe}$ , 5) хромпикотит — (Al,  $\operatorname{Cr})_2\operatorname{O}_4(\operatorname{Mg},\operatorname{Fe})$ , 6) феррихромпикотит — (Al, Fe,  $\operatorname{Cr})_2\operatorname{O}_4\operatorname{Mg}$ , 8) хромшпинель — (Al,  $\operatorname{Fe}$ ,  $\operatorname{Cr})_2\operatorname{O}_4\operatorname{Mg}$ .

Хорошо систематизируя большую группу минеральных видов класса шпинели, А. К. Болдырев в своем изложении, однако, не дает представлений о пределах изоморфизма для подгруппы хромшпинелидов. А. Г. Бетехтин, уточнив классификацию А. К. Болдырева, также не останавливается на интересующем нас вопросе о пределах вариаций составов хромшпинелицов.

В указанных классификациях минеральный вид хромшпинелида только показывает, какие из числа других, кроме  $Cr_2O_3$ , главных окислов— $Al_2O_3$ ,  $Fe_2O_3$ , MgO и FeO, входят в состав данного вида. Содержание ведущего окисла  $Cr_2O_3$  в отдельных минеральных видах подгруппы хромшпинелидов варьирует в весьма широких пределах и перекрывается. Так, например, содержание этого окисла имеет такие значения (в весовых процентах) для различных видов: алюмохромит —  $Cr_2O_3$  от 19.0 до 57%, хромпикотит — от 20.7 до 62.3%; хромшпинель — от 22.9 до 68.4%; феррихромпикотит — от 13.1 до 52.6%; феррихромшпинель — от 14.6 до 47.2%; магноферрихромит — от 17.5 до 52.6%. Таким образом, минеральные виды по классификации А. К. Болдырева не имеют четкой характеристики по содержанию  $Cr_2O_3$  2.

Г. А. Соколов (1948) специально рассматривает вариации состава

природных хромшпинелидов и ограничения изоморфизма в них.

Детализируя классификацию А. К. Болдырева и учитывая пределы изоморфизма по трехвалентным элементам, этот автор преследует цель приспособить классификацию для специальных нужд изучения состава руд хромитовых месторождений. Отдельными названиями минеральных видов, подвидов и разновидностей он отмечает более узкие различия составов хромппинелидов, слагающих то или иное месторождение.

Классификация, предложенная Г. А. Соколовым, содержит 48 названий отдельных видов, подвидов и разновидностей (табл. 1). На фиг. 1 показана

диаграмма, положенная в ее основу.

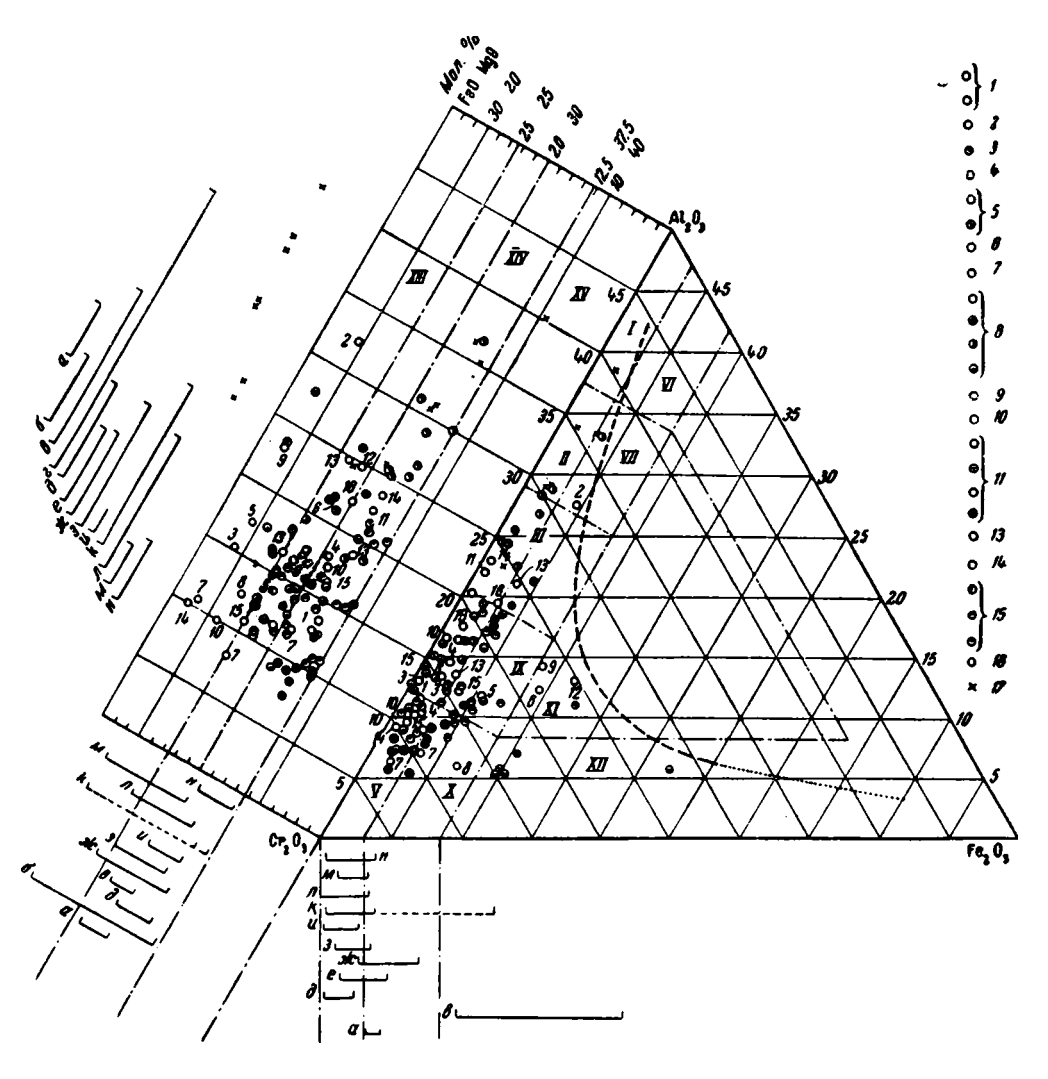
нами здесь также пе приводится.

3 Для диаграммы Г. А. Соколовым использованы данные по 140 полным химическим анализам хромшпинелидов; подбор и пересчеты их были выполнены преиму-

щественно автором настоящей работы.

<sup>&</sup>lt;sup>2</sup> Классификации, предложенные Е. Симпсоном и С. А. Вахромеевым, здесь не рассматриваются по той причине, что в них не учитывается содержание трехвалентного железа ( $Fe_2O_3$ ). Классификация Фишера, как не выделяющая минеральных видов, нами эдесь также пе приводится.

Остановимся более подробно на методе графического изображения составов хромшпинелидов, принятом  $\Gamma$ . А. Соколовым, поскольку для наших целей,  $\tau$ . е. статистического изучения состава хромшпинелидов, этот метод имеет весьма важное значение.



Фиг. 1. Диаграмма составов хромшпинелидов из ультраосновных комплексов. По Г. А. Соколову.

#### I — XV поля видов, подвидов и разновидностей

I — пинорет; II — алюмохромпенотит; III — хромпинотит; IV — алюмохромит; V — хромит; VI — хромит; VI — пинотит, VII — алюмохромпинотит, VIII — хроминотит, IX — алюмохроминотит, III — феррихроминотит; XII — феррихроминотит; XII — феррихроминотит; XII — мелезистый...; XIV — матнезиальный...; XV — матнезиальный...

1 — Аккаргинский, Алапаевский; 2 — Бушвельд; 3 — Варшавский, 4 — Верблюжьегорский; 6 — Верхне-Тагильский, Гологорский; 6 — Закавнавье; 7 — Иткульский; 8 — Каменецкий, Кемпирсайский проч. части. Крака; 9 — Кулиновский; 10 — Кутарстанский; 11 — Наследницкий, Нижне-Тагильский, Побужье, Сарановский; 13 — Тагило-Невьянский; 14 — Успенский; 15 — Уфалейский, Хабариниский, Халиловский; 16 — Шевченковский, Хабаринский, Камиловский; 16 — Шевченковский, Камиловский; 16 — Мевченковский,

a — Сарановский; b — Закавназье; s — Нижне-Тагильский (платиноносный); a — Кемпирсайский (без SO части); b — Гологорский; e — Верблюжьегорский;  $\infty$  — Хабарнинский; s — Уфалейский; u — Аккаргинский;  $\kappa$  — Халиловский; a — Крака;  $\omega$  — Иткуль;  $\omega$  — Кемпирсайский (SO часть).

Классификация хромининелидов (по А. К. Болдыреву) с значительной петализацией (проценты молекулярные) MgO or 25.0 MgO or 12.5 MgO от 0 до 12.5% FeO от 50 до 37.5% до 25.0% FeO от 37.5 до 37.5% FeO от 25.0 МgO от 37.5 по 50.0% Cr<sub>2</sub>O<sub>2</sub>+1/2 Fe<sub>2</sub>O<sub>3</sub> Fe.Oa FeO от 12.5 по 0% от - по по 12.5% до 25.0% **Deducation \*** FeCrO<sub>4</sub> Магнохромит \* XPOMET (Mg. Fe)Cr.O4 50.0 - 37.50/6MgCr<sub>2</sub>O<sub>4</sub> магнезиальный 00% железистый Ферроалюмохромит \* Магноалюмохромит \* 37.5 - 29.2AJIOMONDOMET (Mg. Fe) (Cr. Al), O. Fe(Cr. Al),O4 Mg(Cr, Al)₀Ô₄ **₽** железистый магнезиальный Магнохромпикотит \* 0 XDOMHUBOTHT (Mg, Fe) (Cr, Al), O4 29.2 - 20.8Феррохроминвотит. \* m Mg(Cr, Al),O4 Fe(Cr, Al),O4 і магнезиальный железистый 5 ARIOMOXDOMINBOTAT (Mg. Fe) (Al. Cr), O. Магноалюмохромии-20.8-12.5 Ферроалюмохромпикотит \* котит \* Mg(Cr, Al), O. Fe(Cr, Al)<sub>2</sub>O<sub>4</sub> магнезиальный железистый HEBOTHT (Mg. Fe)Al<sub>2</sub>O<sub>4</sub> Marhounkornt MgAl,O. 12.5 - 0Ферропикотит \* Fe, Al,O. железистый | магнезиальный Субферри-магнохромит \* 50 0-37 5 Субферри-феррохромит \* Субферри-хромит железистый **магнезиальный** Субферри-магноалюмо-37.5 - 29.2Субферри-ферроалюмохромит \* Субферри-алюмохромит хромит \* железистый **магнезиальный** Субферри-магнохромпи-Субферри-феррохромпикотит \* Субферри-хромпикотит 29.2 - 20.88.33% котит \* магнезиальный железистый Субферри-магноалюмо-Субферри-ферроалюмохромпи-Субферри-алюмохромпикотит 20.8 - 12.5хромпикотит \* котит \* желевистый магнегиальный 엺 Субферри-магноцикотит\* Субферри-пикотит 12.5 - 0Субферри-ферропикотит \* 0 железистый магнезиальный ന Магноферрихромит \* Феррихромит (Mg, Fe) (Cr, Fe), O4 Al,O<sub>8</sub> от 0 до 8.33 Ферроферрихромит \* Mg(Cr. Fe).O.  $\text{Cr}_2\text{O}_3 + \frac{1}{2}$  Fe<sub>2</sub>O<sub>2</sub> or 12.5 no 50.0 Fe(Cr. Fe).O. Магноферрихромпивотит Ферроферрихромпивотит \* Феррикромпикотит Al,O, кажлое Mg(Cr, Al, Fe),O4

(Mg. Fe) (Cr. Fe, Al)<sub>2</sub>O<sub>4</sub>

Fe(Cr. Cl. Fe).O.

Cr<sub>2</sub>O<sub>2</sub>

Fe<sub>2</sub>O<sub>3</sub>

больше

8.330/0

<sup>\*</sup> Постоверные анализы автору ( $\Gamma$ . А. Соколову. — H. H.) не известны.

Так как общая стехиометрическая формула хромшпинелидов имеет вид  $ROR_2O_3$ , то любой хромшпинелид в общем случае состоит из 50% (мол.) окислов двухвалентных элементов и 50% (мол.) окислов трехвалентных элементов. Поэтому, в сущности, можно изображать графически вариации тех и других независимо друг от друга. При этом по трехвалентным элементам имеется в виду как бы трехкомпонентная система  $Al_2O_3$ ,  $Cr_2O_3$ ,  $Fe_2O_3$ ; отсюда возможность пользоваться треугольником. По окислам двухвалентных элементов система сложная, поскольку в составе хромшпинелидов могут участвовать MgO, FeO, MnO, ZnO, NiO и др. Однако содержание трех последних окислов, по имеющимся данным, весьма невелико (десятые и сотые доли %). Объединяя MnO и ZnO с FeO. а NiO с MgO, можно считать по окислом двухвалентных элементов систему как бы двухкомпонентной.

Для изображения составов хромшпинелидов  $\Gamma$ . А. Соколов предложил пользоваться равносторонним треугольником. В вершинах треугольника располагаются окислы трехвалентных элементов ( $Al_2O_3$ ,  $Cr_2O_3$ ,  $Fe_2O_3$ ). Стороны треугольника соответственно делятся на 50 частей. Фигуративная точка по трехвалентным окислам располагается внутри треугольника или на его стороне в зависимости от соотношения этих окислов. Для окислов двухвалентных элементов этот автор предлагает наносить данные следующим образом. Фигуративная точка на внутренней части треугольника переносится на сторону  $Al_2O_3$ — $Cr_2O_3$  посредством линии равного содержания  $Cr_2O_3$ ,  $\tau$ . е. параллельной стороне треугольника, противолежащей вершине  $Cr_2O_3$ . Из точки пересечения этой линии со стороной треугольника  $Al_2O_3$ — $Cr_2O_3$  восстанавливается перпендпкуляр, на котором в заранее избранном масштабе откладывается содержание FeO. Отрезок, дополняющий до 50% мол., отвечает содержанию MgO.

Практически в нанесении вектора на такого рода диаграмму по двухвалентным окислам элементов (FeO, MgO) нет необходимости, достаточно нанести точку, разделяющую этот вектор пропорционально содержавию FeO и MgO.

Таким образом, принятый Г. А. Соколовым метод графического изображения составов хромшпинелидов в принципе рационален и удобен.

При таком способе графического изображения составов хромшпинелидов весьма удобно производить графически же сравнения и сопоставления
всех нанесенных составов или их определенных серий как по группам
двух- и трехвалентных окислов элементов, так и по каждому отдельному
окислу. Это имеет весьма важное значение при изучении закономерностей
вариаций составов и пределов изоморфизма в подгруппе хромшпинелидов.
Кроме того, этот метод освобождает нас от необходимости пользоваться
условными молекулярными группировками, предложенными Симпсоном,
Вахромеевым, Зиминым и др., что менее удобно для указанных выше
целей.

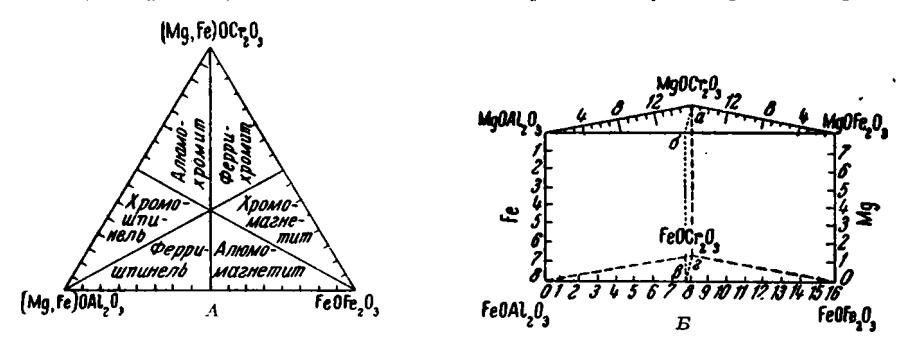
Автор настоящей работы, собрав несколько более широкий материал по химическому составу рудообразующих и акцессорных хромшинелидов союзных и некоторых зарубежных месторождений, имеет возможность повысить статистическую вероятность выводов, приведенных Г. А. Соколовым.

Работа Р. Е. Стивенса «Состав некоторых хромитов Западного Полушария» (1944) навела автора на мысль о несколько ином подходе к тому, какие величины наносить на диаграмму, предложенную Г. А. Соколовым.

Остановимся кратко на способе пересчета и составления диаграммы по данным химических анализов хромшпинелидов, предложенных Стивенсом.

В основу пересчетов данных химических анали зов хромшпинелидов этим автором положена атомная структура шпинели. Ссылаясь на работы Брэгта (Bragg, 1937), который устанавливает формулу элементарной ячейки шпинелида как 8 (RO  $\cdot$ R<sub>2</sub>O<sub>3</sub>), автор исходит из того, что по этой формуле в элементарной ячейке хромшпинелида имеется 8 атомов двухвалентных металлов (Fe<sup>++</sup>, Mg) и 16 атомов трехвалентных металлов (A1, Cr, Fe<sup>+++</sup>). Весовые проценты окислов по данным анализа переводятся, как обычно, в молекулярные количества. По количеству SiO<sub>2</sub>, TiO<sub>2</sub>, + H<sub>2</sub>O и др. исключаются силикатные и другие сопутствующие минералы (оливин, серпентин, хлорит и др.). Сумма молекулярных количеств окислов трехвалентных элементов приравнивается к 16; суммы молекулярных количеств окислов двухвалентных элементов приравниваются к 8. По молекулярным количествам каждого окисла устанавливается число атомов того или иного металла, входящего в элементарную ячейку данного шпинелида.

Для графического изображения полученных таким путем данных Стивенс воспользовался пространственной фигурой в форме трехгранной призмы (см. фиг. 2). Основаниями этой призмы служат равносторонние



Фиг. 2. Классификация хромшинелидов по Стивенсу и принципы ее построения.

A — классификация хроминине́ вдов; В — трехгранная призма составов хромшине нелидов.

треугольники, стороны которых поделены на шестнадцать частей в соответствии с числом атомов пространственной элементарной ячейки шпинелида, а по вершинам углов располагаются Cr, Al и Fe+++. Высота призмы в избранном масштабе отвечает 8 атомам двухвалентных металлов и соответственно поделена на 8 частей. Нижнее основание отвечает 8 атомам Fe++ и нулю атомов Mg; верхнее основание, наоборот, нулю атомов Fe и 8 атомам Mg. Так как нанесение данных в такого рода пространственной фигуре, изображенной на плоскости, представляет некоторые трудности, то Стивенс предлагает расчленить призму на две плоскостные диаграммы: а) на равносторонний треугольник (тот же треугольник, что и у Г. А. Соколова) для отображения данных по трехвалентным атомам и б) прямоугольную диаграмму для векториального отображения данных по двухвалентным атомам (Fe++, Mg). Этой последней служит плоскость, разделяющая пополам призму от вершин со значком Cr до противолежащей грани со значками Fe+++ и Al (плоскость а б в г, фиг. 2, Б).

Таким образом, в геометрическом отображении состава хромшпинелидов Р. Стивенс, так же как и Г. А. Соколов, пользуется комбинированием двух самостоятельных плоскостных диаграмм.

Г. А. Соколов на своих диаграммах наносит данные химического состава хромшпинелидов, выражая их в молекулярных процентах, Р. Стивенс же наносит на своих диаграммах соотношения числа атомов,

составляющих пространственную элементарную ячейку шпинелида. Хотя на диаграммах для трехвалентных элементов Г. А. Соколова и Р. Стивенса наносятся различные величины, характеризующие состав шпинелидов, однако, фигуративные точки при этом, естественно, занимают одни и те же положения. В прямоугольных диаграммах для двухвалентных элементов фигуративные точки у этих авторов не совпадают, так как эти точки проектируются на различные плоскости пространственной призмы Стивенса и несколько различными способами. Автор настоящей работы для статистического рассмотрения составов природных хромшпинелидов использовал оба вышеприведенных метода в несколько комбинированном виде.

В части пересчета химических анализов хромшпинелидов автор принял способ Р. Стивенса из следующих соображений.

Изучение пределов изоморфизма в минералах, отвечающих понятию твердого раствора 1-го рода, правильнее вести, исходя не из условных молекулярных группировок (Симпсона и др.) и не из окислов тех или иных элементов (Г. А. Соколов), а из атомов, способных замещать друг друга в элементарной ячейке вещества, если эта последняя установлена. Кроме того, состав вещества в этом случае более наглядно выражается посредством соотношения атомов, нежели при помощи молекулярных процентов.

Нас не должны смущать здесь дробные числа атомов того или иного иппинелеобразующего компонента (например, 8.1 атома Cr пли 5.3 атома Mg), так как химический анализ характеризует суммарно множество элементарных ячеек шпинелида, а не одну ячейку.

Возможно, что в данном кристаллическом зерне хромшпинелида наряду с преобладающим числом вполне тождественных по этомному составу элементарных ячеек есть такие, в которых соотношения чисел атомов различных элементов—другие. Это до известной степени возможно без нарушения электростатической прочности решетки (Гассель, 1936), хотя оптическим путем — в шлифах — такие неоднородности совершенно не улавливаются.

Для графического изображения составов хромшпинелидов применена развертка трехгранной призмы, с равносторонним треугольником в ее основании. Для трехвалентных элементов эта диаграмма не отличается от диаграммы Р. Стивенса.

В верхнем углу треугольника располагается Cr, в левом нижнем углу Al, в правом нижнем Fe+++. Для изображения состава хромшпинелидов по двухвалентным элементам (Mg, Fe++) в плоскость чертежа развернуты две грани призмы между углами Cr — Al и Cr — Fe+++. Третья грань призмы между углами Al — Fe+++ здесь не развертывается по той причине, что изоморфизм между Al и Fe+++ непосредственно не выражен и обусловлен, как это будет указано ниже, более сложной зависимостью.

Треугольная диаграмма разделена на две равные части биссектрисой, проведенной из вершины Cr. Фигуративные точки, расположенные в левой половине треугольника, путем восстановления перпендикуляра относятся на ребро Cr—Al треугольника. Восстанавливая из этой точки перпендикуляр внутри прямоугольной диаграммы и деля этот отрезок в отношениях, пропорциональных количествам атомов Mg и Fe++, мы получаем фигуративную точку для этих последних элементов.

В правой части треугольной диаграммы нахождение фигуративной точки, определяющей состав хромшпинелида по Mg и Fe<sup>++</sup>, производится совершенно аналогично. Фигуративная точка из поля треугольной диаграммы выносится на ребро Cr — Fe<sup>+++</sup>.

Как пример, приведем здесь способ пересчета анализа № 1 (см. табл. 2). Для изучения химического состава и пределов изоморфизма природных кромшинелидов автор использовал около 200 полных химических ана-

лизов из союзных месторождений, а также более 50 анализов из хромитовых месторождений Западного полушария, заимствованных из работы Стивенса. Использованы также химические анализы хромшпинелидов Бушвельда и ряда других месторождений. Отбирались только те анализы, из которых можно было заключить, что хромшпинелид не подвергся изменениям, показателем чего служило отношение  $R_2O_3$ : RO; оно не должно превышать 1:1.

Таблица 2 Снособ пересчета данных химического анализа хромшпинелида для нанесения на диаграмму по Стивенсу

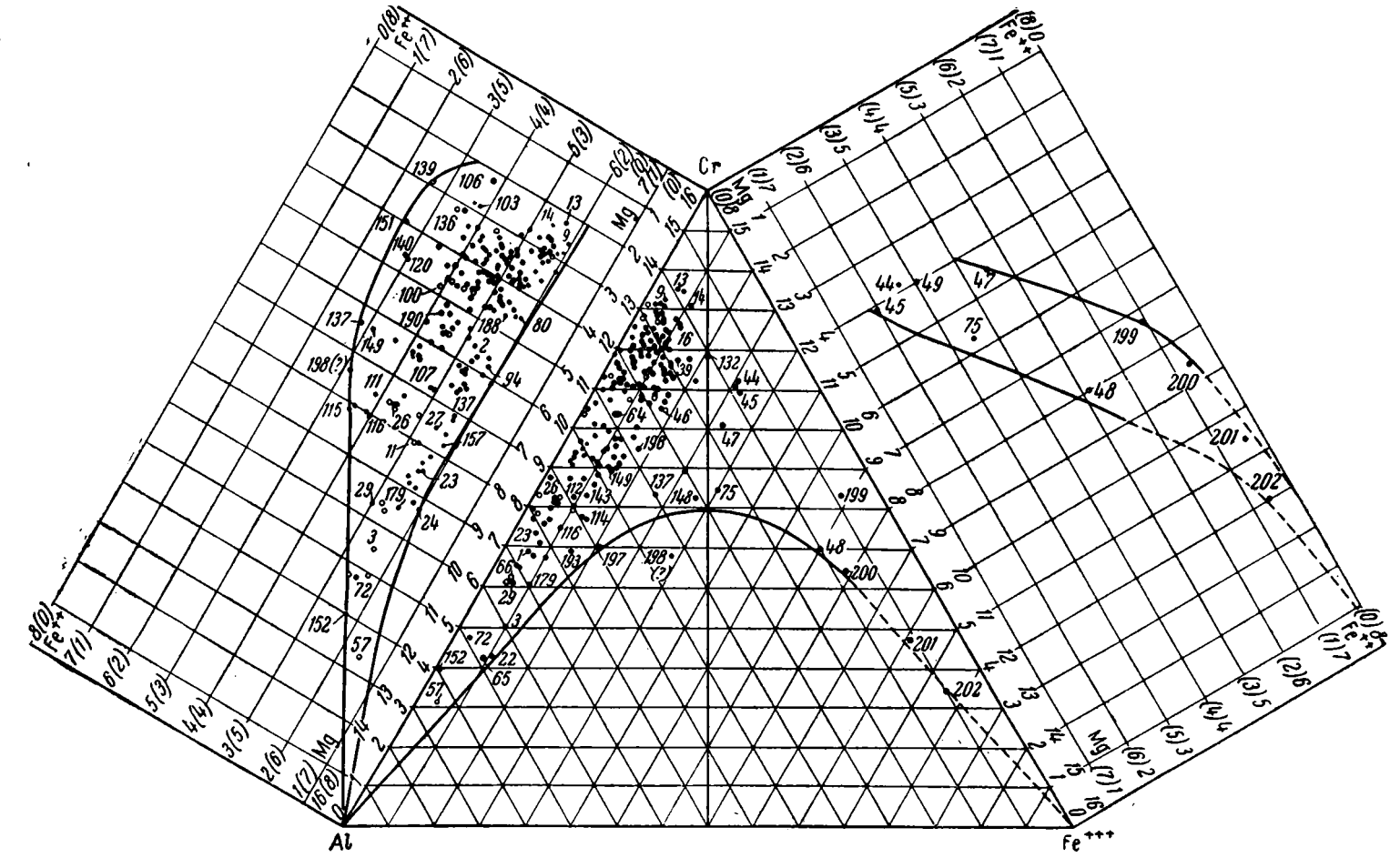
Окислы	Весовые проценты	Молекулярные ко- личества	Исключение серпен- тина в мол. кол.	Остаток в молеку-	Остатом в весовых ноличествах	Пересчет весовых процентов на 100	Молекулярные ко- личества	R,O, ; RO	Выравнивание R <sub>s</sub> O₃: RO до 1.0	Число ато- мов каждого элемента в элементарной ячейке
$SiO_2$	1.05	.017	.017			_				
$Al_2O_3$	31.46			1	31.46		312	}	312	Al8.7
$\mathrm{Cr_3O_3}$	35.43	233		233	35.43	36.0	237	576	$237 \ \ \ \ \ \ \ \ \ \ \ \ \ \ \ \ \ \ \$	Cr-6.7
$\mathrm{Fe_2O_8}$	4.26	027		027	4.26	4.3	27 )		6 21 J	Fe+++0.6
FeO	11.77	164		164	11.77	12.0	167		+12 = 179	Fe++-2.5
MgO	16.43	411	025	386	15.40	15.7	392 }	559	$\begin{array}{c} 392 \end{array} \right\} 571 = 8$	Mg5.5
+ H <sub>2</sub> O	0.30	017	017	_	-		-	-,		
Сумма	100.8	-	-	-	98.32	100.0	_	1.03		<u> </u>

Диаграмма фиг. 3 (и За) характеризует сводные данные составов рудо образующих и акцессорных хромшпинелидов.

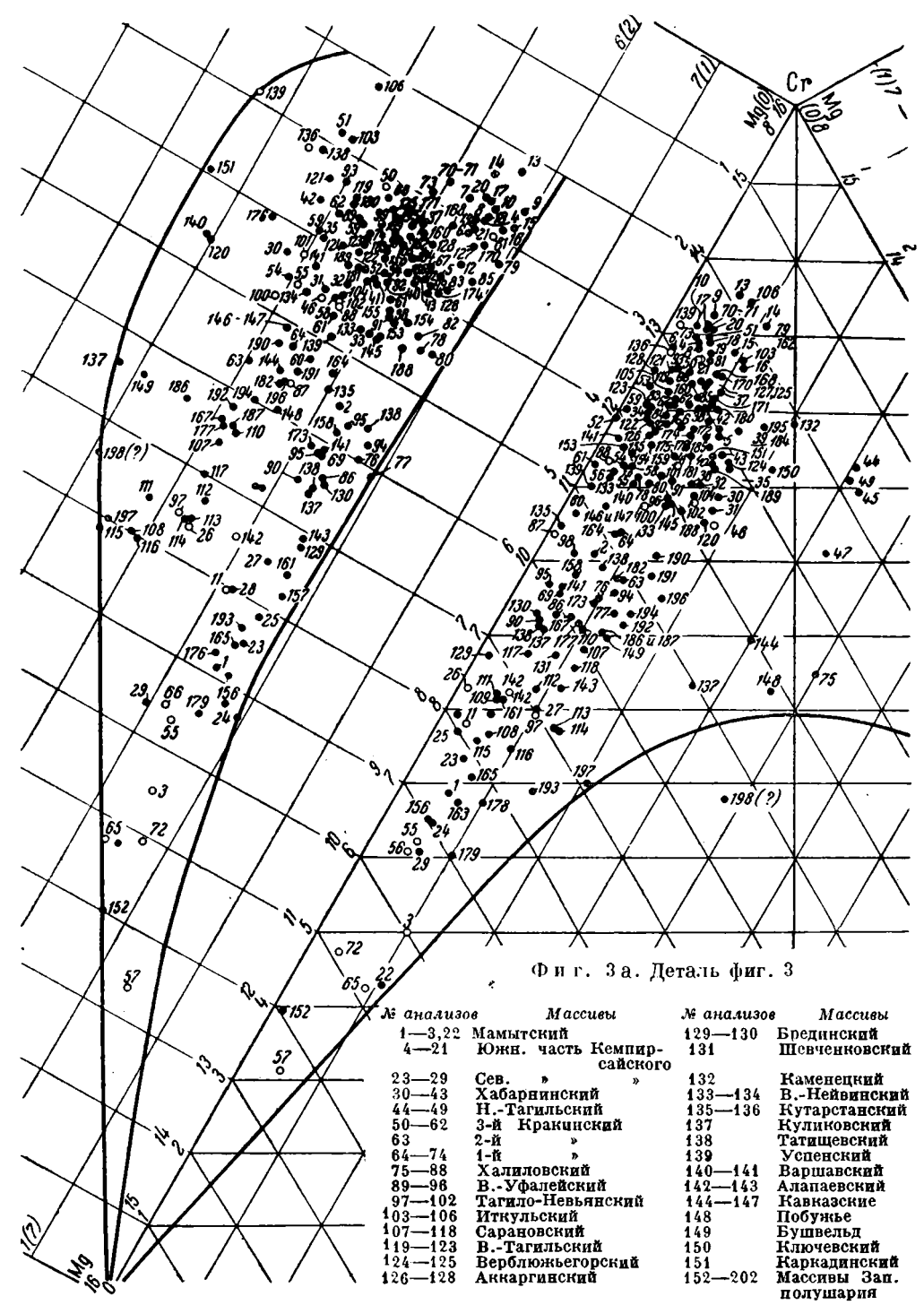
На этой диаграмме различного вида линиями мы ограничиля поля фигуративных точек как по трехвалентным, так и по двухвалентным атомам металлов. По трехвалентным металлам получилась ограничивающая кривая, по форме и положению совершенно тождественная кривой на диаграмме Г. А. Соколова (см. фиг. 1).

Таким образом, на более широком материале подтверждается вывод Г. А. Соколова об эмпирических пределах изоморфизма для трехвалентных элементов в природных хромшпинелидах, сформулированный им так: «Максимально возможное содержание Fe+++ в хромшпинелиде обратно пропорционально содержанию Al, или чем выше содержание Al, тем меньшее количество Fe+++ может участвовать в составе данного хромшпинелида».

Эмпирические пределы изоморфизма по двухвалентным элементам, выраженные на нашей диаграмме двумя полями, также показывают весьма интересные зависимости между количествами Mg и Fe<sup>++</sup> и соотношениями Cr, Al и Fe<sup>+++</sup>, а именно: хромшпинелиды, в состав которых из трехвалентных элементов входят преимущественно алюминий и хром, при незначительном содержании трехвалентного железа (меньше 2.6 атомов), имеют ту особенность, что содержание Mg увеличивается (а Fe<sup>++</sup> уменьшается) с увеличением содержанием Аl.



Фиг. 3. Сводная диаграмма составов рудообразующих и акцессорных хромппинелидов. Составил И. В. Павлов.



Деления сторон треугольника соответствуют числу атомов трехвалентного элемента в ячейке хромшиниелида, из общего их числа—16; деления сторон двухкомпонентных диаграмы соответствуют числу атомов двухвалентных элементов в ней, из общего их числа—8

<sup>—</sup> рудообразующий хромшпинелиц;
— акцессорный \*
— контурные линии пределов изоморфизма в хромшпинелидах по двух- и трехвалентным Ò элементам.

Хромшпинелиды, в состав которых из числа трехвалентных элементов входят преимущественно хром и трехвалентное железо, а содержание алюминия подчиненное (менее 2.6 атомов), характеризуются увеличением содержания Fe++ (и уменьшением Mg) с возрастанием содержания Fe+++.

Таким образом, максимальное содержание магния связано с теми хромшинелидами, которые содержат большое количество алюминия. Содержание магния несколько уменьшается (а двухвалентного железа возрастает) с переходом к хромшпинелидам, богатым хромом. Резко понижается содержание магния в хромшпинелидах, богатых трехвалентным железом.

Эти выводы помогут нам осветить генетические связи между составами рудообразующих хромилинелидов и составом материнских пород.

Более строгий учет эмпирических пределов изоморфизма по двухвалентным элементам, а также несколько более широкий материал, использованный по железистым разностям хромшпинелидов, позволяют автору внести некоторые поправки и дополнения к классификации хромшпинелидов, предложенной Г. А. Соколовым. Обратимся к рассмотрению диаграммы Г. А. Соколова (фиг. 1) и сводной таблицы (табл. 1) минеральных видов, подвидов и разновидностей, предложенной этим автором. Рассмотрим вначале выделяемые им поля для минеральных видов и подвидов в треугольной части диаграммы для трехвалентных элементов Сг, Аl, Fe+++. Здесь автор выделяет двенадцать полей, которым отвечают следующие наименования: I — пикотит, II — алюмохромиткотит, III — хромпикотит, IV — алюмохромит, V — хромит, VI — субферриалюмохромит, X — субферрихромпикотит, 1X — субферриалюмохромит, X — субферрихромиткотит и XII — феррихромит.

Наши поправки сводятся к следующему:

1. Поле VI, с названием подвида субферрипикотит, имеет лишь условное значение для систематики минеральных видов и подвидов хромшпинелидов, так как это поле выходит за линию, ограничивающую эмпирические пределы изоморфизма по трехвалентным элементам (следовательно, хромшпинелиды такого состава не имеют своих представителей среди известных разновидностей).

2. Название минерального вида «феррихромпикотит» (поле XI) нерационально, так как из 50% мол., отвечающих всем трем окислем  $Cr_2O_3$ ,  $Al_2O_3$ ,  $Fe_2O_3$ , на долю  $Cr_2O_3$  приходится не менее 25% мол. и до 37.5% мол. (или из 16 атомов, по нашей диаграмме, на долю Cr приходится от 8 до

12 атом.). Правильнее называть этот вид «ферриалюмохромит».

3. Мы полностью разделяем мнение о необходимости различать составы хромшпинелидов по различному содержанию в них трехвалентного железа. Это позволяет весьма четко и ясно подчеркивать названиями минеральных видов и разновидностей особенности состава. Наряду с установившимися терминами «ферро», «ферри» и др. нам кажется удачным и целесообразным введенный Г. А. Соколовым термин «субферри». Г. А. Соколов выделяет по содержанию трехвалентного железа три поля:

а) хромшпинелиды с низким содержанием  $Fe_2O_3$  — от 0 до 3% мол.; такие разности оставляются им без особых дополнительных названий; б) хромшпинелиды с содержанием  $Fe_2O_3$  от 3 до 8.33% мол.; этим разновидностям дается в дополнение к названию минерального вида приставка «субферри»; в) хромшпинелиды с содержанием  $Fe_2O_3$  более 8.33% мол., с приставкой к минеральному виду «ферри».

Линия, отграничивающая поля составов хромшпинелидов с содержанием больше и меньше 8.33% мол., совершенно правильно обоснована, исходя из условий вхождения одного из трех компонентов в формулу минералов, принятую в систематике А. К. Болдырева, а именно: для вхож-

дения того или иного компонента в формулу минерала в этом случае необходимо, чтобы этот компонент составлял не менее  $^1/_6$  части всех трех компонентов в молекулярных процентах (50 : 6 = 8.33).

Что же касается линии, отграничивающей составы хромшпинелидов с 3% мол. и больше, то эта линия в диаграмме Г. А. Соколова проводится произвольно и не подкрепляется какими-либо теоретическими обоснованиями, представляя лишь некоторые чисто практические удобства. Нам представляется, что в этом случае будет более правильным проводить эту линию, положив в основу способ диаграммирования не в молекулярных процентах, а в атомах. Тогда хромшпинелиды, содержащие Fe+++ в количестве от 0 до 1.0 атома (из 16 возможных в элементарной ичейке), будут отвечать понятию хромшпинелида с низким содержанием трехвалентного железа, хромшпинелиды с содержанием Fe+++ от 1.0 до 2.66 4 атома (что отвечает 8.33% мол. Fe<sub>2</sub>O<sub>3</sub>) будут соответствовать понятию «субферри», и хромшинелиды с содержанием Fe+++ более 2.66 атома будут соответствовать понятию «ферри». Так как один атом Fe+++ отвечает 3.12% мол.  $F_{e_2}O_3$ , то на диаграмме  $\Gamma$ . А. Соколова линия, отграничивающая поле составов хромшпинелидов с низким содержанием трехвалентного железа от поля «субферри», сместится очень незначительно (на 0.12% мол.).

В диаграмме Г. А. Соколова поле, отвечающее минеральному виду хромпикотит, делится на три равные части (поля II, III и IV или поля VII, VIII, IX) и, таким образом, по стороне треугольника  ${\rm Cr}_2{\rm O}_3$  —  ${\rm Al}_2{\rm O}_3$  получается пять сдвоенных полей (всего десять с полями «субферри»). Такое условное деление стороны треугольника нам кажется очень искусственным.

Удобнее эту сторону и прилегающие к ней поля маложелезистых хромшпинелидов, включая и поле хромшпинелидов «субферри», рассматривать как двухкомпонентную систему  ${\rm Al}_2{\rm O}_3$  —  ${\rm Cr}_2{\rm O}_3$  и делить на четыре (сдвоенных) поля так же, как это делает  $\Gamma$ . А. Соколов для двухкомпонентной диаграммы MgO·FeO.

При таком делении (на 4 поля) хотя и уменьшается на два число подвидов, однако, диаграмма приобретает большую стройность. Иными словами, поле, отвечающее понятию минерального вида хромпикотит, следует делить не на шесть, а на четыре части, сохранив за каждым из них такие названия: хромпикотит (ближайшее поле к пикотиту), алюмохромит (ближайшее поле к хромиту), субферри-хромпикотит и субферри-алюмохромит. Совершенно аналогичным путем мы можем разделить поле XII, отвечающее минеральному виду феррохромит, которое в диаграмме Г. А. Соколова оставлено без более дробного подразделения.

Здесь соответственно этот вид может быть разделен на следующие четыре подвида:

- а) хроммагнетит (ближайшее поле к магнетиту),
- б) феррихромит (ближайшее поле к хромиту),
- в) субалюмо-феррихромит, г) субалюмо-хроммагнетит.

Рассматривая диаграмму Г. А. Соколова по двухвалентным окислам — MgO, FeO, мы видим, что автор различает три поля с названиями «железистый», «магнезиальный» и «магно». В классификации минеральных видов по Г. А. Соколову (см. табл. 1) вводится также и приставка «ферро», которая обоснована выделением соответствующего четвертого поля в той же диаграмме выше поля «железистый». Это поле опущено в ней, видимо, за отсутствием там фигуративных точек. Установленные нами

<sup>4 2.66 = 16:6 —</sup> этой цифрой выражается условие вхождения одного из трех компонентов в формулу минерального вида (Болдырев, 1935).

пределы изоморфизма по двухвалентным элементам позволяют внести следующие коррективы. В треугольной диаграмме для хрома, алюминия и трехвалентного железа поле, расположенное между гиперболической кривой и стороной  $Al_2O_3$  —  $Fe_2O_3$  (см. диаграмму фиг. 1), не содержит фигуративных точек состава естественных хромшпинелидов. В систематике  $\Gamma$ . А. Соколова это поле не классифицируется на какие-либо гипотетические минеральные виды. Подобно этому и поля, выходящие за пределы площадей с фигуративными точками по Mg и Fe++, также не должны вводиться в систематику. Это обстоятельство позволяет значительно сократить число разновидностей, предложенных  $\Gamma$ . А. Соколовым. Так, из классификационной таблицы (см. фиг. 1) могут быть исключены двенадцать минеральных разновидностей, содержащих приставку «ферро», т. е. весь третий столбец, в табл. 1. По той же самой причине должны быть опущены одиннадцать разновидностей хромшпинелидов из последнего столбца таблицы с приставкой «магно» и т. д. 5

В связи с тем, что оказалось возможным уточнить эмпирические пределы изоморфизма в природных хромшпинелидах как в группе трехвалентных, так и в группе двухвалентных элементов, мы считаем целесообразным внести указанные выше поправки и дополнения в классификацию видов по Г. А. Соколову. При этом названия минеральных видов, предложенные Г. А. Соколовым, мы полностью сохраняем, за исключением только одного — «феррихромчикотит», который мы называем «ферриалюмохромит».

В основу систематики мы положили нашу диаграмму, подробно описанную выше.

На фиг. 4 приводится эта диаграмма со всеми названиями минеральных видов и подвидов и отвечающими им полями. В табл. 3 приводится полный перечень видов, подвидов и разновидностей и их химические формулы.

Поле трехвалентных атомов (треугольная диаграмма) в соответствии с условиями вхождения одного из трех компонентов, указанных А. К. Болдыревым (1935), разделяется на шесть полей, отвечающих в дальнейшем понятию минерального вида.

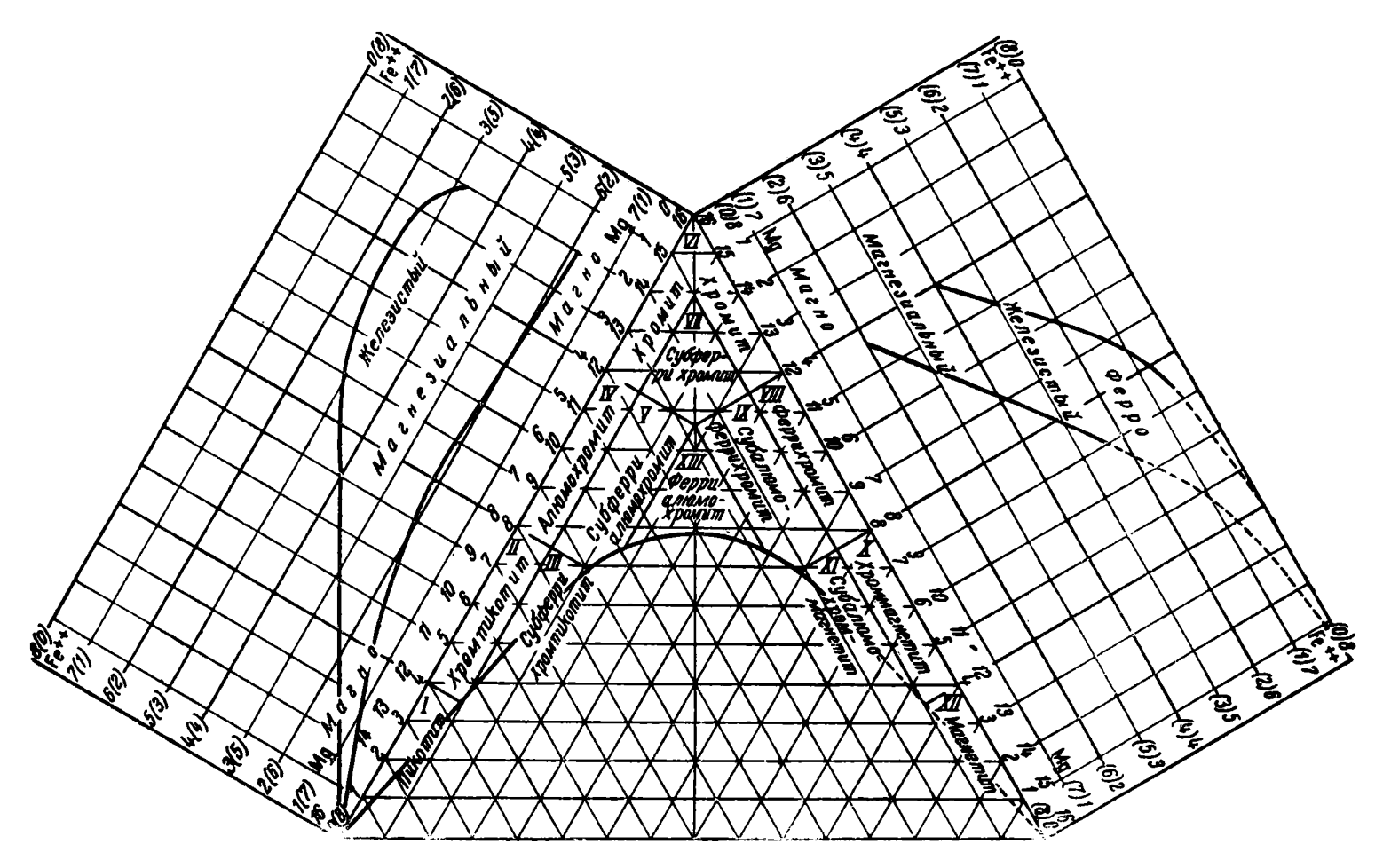
Таким путем в общем поле трехвалентных металлов нами выделено 13 полей с названиями: 1) пикотит, 2) хромпикотит, 3) субферрихромпикотит, 4) алюмохромит, 5) субферриалюмохромит, 6) хромит, 7) субферрихромит, 8) феррихромит, 9) субалюмо-феррихромит, 10) хроммагнетит, 11) субалюмохромит, 12) магнетит и 13) ферриалюмохромит.

Поля двухвалентных атомов — Mg, Fe++ (правая и левая части диаграм мы) в соответствии с условиями вхождения одного из двух компонентов, указанных А. К. Болдыревым, делятся на четыре части.

Верхнее поле, отвечающее составам 6—8 атомов Fe++ и 0—2 атома Mg, называется «ферро»; поле, отвечающее составам 6—4 атома Fe++ и 2—4 Mg, называется «железистый»; поле, отвечающее составам 4—2 атома Fe++ и 4—6 атомов Mg,— «магнезиальный» и, наконец, нижнее поле состава 2—0 атома Fe++ и 6—8 атомов Mg названо «магно».

Строго придерживаясь эмпирических пределов изоморфизма по двухвалентным металлам, выраженного в диаграмме посредством полей, заключенных между кривыми линиями, мы и выводим рациональные названия для 29 разновидностей. Обращаясь к диаграмме фиг. 4, мы можем видеть, как образуются названия отдельных разновидностей. Так, нацример, минеральный вид пикотит не имеет разновидностей, так как в природных шпинелидах неизвестен «ферро», «железистый» и «магне-

<sup>&</sup>lt;sup>5</sup> Г. А. Соколов отмечает в опубликсванной статье (1946), что достоверные анализы названных 23 разновидностей ему неизвестны, а в своей следующей работе (1948) предлагает для обычных целей пользоваться сокращенной классификацией, включающей только 12 названий.



Фиг. 4. Классификация хромшинелидов, По Н. В. Навлову.

Классификация хромшиниелидов (Н. В. Павлов, 1948)

Сr + <sup>1</sup> /, Fe <sup>++</sup> + от до в атом.	ATOMЫ Fe+++ (Al)	Mg = 8-6 atom. $Fe^{++} = 0-2$	Mg = 6-4 atom. $Fe^{++} = 2-4$	Mg = 4-2 атом. Fe <sup>++</sup> = 4-6	$Mg = 2-0$ arom. $Fe^{++} = 6-8$
16-12	01	Магнохромит	Хромит	Железистый хромит	
16—12	1-2.66	Магносубферрихромит	Субферрихромит	Железистый субфер- рихромит	
12— 8	0 1		Алюмохромит	Железистый алюмо- хромит	
12— 6	1-2.66	<del>_</del>	Субферриалюмохро- мит	Железистый субфер- риалюмохромит	
8 4	0-1	Магнохромпикотит	Хромпикотит		
8 4	1-2.66	Магносубферрихромпи- котит	Субферрихромпико- тит	_	
4 0	0-1	Пикотит	_		
$\frac{\text{Cr} + \frac{1}{2}}{12 - 8}$ Al	0-1	_	Феррихромит	Железистый ферри- хромит	Ферроферр <b>их</b> ромит
12— 8	1-2.66		Субалюмоферрихро- мит	Железистый субалю- моферрихромит	Субалюмоферрихроми
8 4	0-1	_	_	Желевистый хром- магнетит	Хроммагнетит
8 4	1-2.66	-		Железистый субалю- мохроммагнетит	Субалюмохроммагнет
4-0	01		_		Магнетит
Al Cr Fe+++ } каждое 2.66	_	_	Ферриалюмохромит	Железистый ферри- алюможромит	Ферроферриалю мохро мит

зиальный» пикотит. Минеральный вид хромит имеет шесть разновидностей: а) магнохромит, б) магнезиальный хромит (здесь мы его называем просто хромит), в) железистый хромит, г) магносубферрихромит, д) магнезиальный субферрихромит и е) железистый субферрихромит. Хромит с приставкой «ферро» в природных (земных) хромппинелидах отсутствует. Хромпикотит имеет четыре разновидности: а) магнохромпикотит, б) магнезиальный хромпикотит, г) магносубферрихромпикотит и д) магнезиальный субферрихромпикотит и т. д.

Так какабсолютное большинство природных хромшпинелидов является разностями магнезиальными, т. е. такими, в которых элементарная ячейка состоит из 6—4 атомов Mg и 4—2 атомов Fe++, мы, рационализируя и сокращая количество слов для обозначения разновидности (подвида или вида), опускаем слово «магнезиальный» для минеральных видов и подвидов — хромит, алюмохромит и хромпикотит.

Для минеральных подвидов хроммагнетит и субалюмохроммагнетит нерационально название с приставкой «ферро», так как разностей «магно» и «магнезиальный» в природных хроммагнетитах нет; их следует называть без этой приставки. Однако «железистый» хроммагнетит и субалюмохроммагнетит следует сохранить, ибо под этим подразумевается вхождение от 2 до 4 атомов Мg против предыдущих разновидностей, в которых Mg содержится от 0 до 2 атомов.

· Для минерального подвида феррихромит рационально сохранить все разновидности «ферро», «железистый» и «магнезиальный», так как для генетических и других целей весьма важно оттенить особенности данного подвида.

### И. ОБЗОР ПЕТРОГРАФИЧЕСКОГО СОСТАВА УЛЬТРАОСНОВНЫХ МАССИВОВ УРАЛА

Мы приводим здесь краткие сведения по петрографическому составу более чем тридцати ультраосновных массивов Урала. Большинство из них являлось предметом изучения сотрудников Хромитовой группы Института геологических наук Академии Наук СССР. Для написания этого раздела были использованы как материалы многолетних (1933—1941 гг.) исследований коллектива Хромитовой группы, так и материалы предыдущих исследователей (печатные работы, рукописные статьи, фондовые материалы трестов, ГРП и т. д.).

Автором были изучены следующие массивы Урала: Южный Крака (1935—1938 гг.), Узянский Крака (1937—1938 гг.) и Кемпирсайский (Актюбинский) (1937—1938 гг.). Кроме того, в 1939 и 1944 гг. им были обследованы также массивы: Сакмарский, Кутарстанский, Куликовский, Татищевский, Успенский, Верблюжьегорский, Варшавский, Намазкинский, Верхне-Уфалейский и Верх-Нейвинский.

# Первичный петрографический состав ультраосновных массивов Урала (группы массивов по первичному петрографическому составу)

Массивы ультраосновных пород Урала неоднородны и неодинаковы по своему первичному петрографическому составу.

По первичному пстрографическому составу массивов и по данным о возрастных отношениях между различными петрографическими фациями в них, массивы можно разбить на несколько групп. В дальнейшем каждая группа будет охарактеризована по первичному петрографическому составу, относительному возрасту пород и характеру пространственного расположения различных фаций.

2 Труды ИГН, в. 103

Подгруппа А. Существенно гарцбургитовые массивы.

Примерами этой подгруппы могут служить Верблюжьегорский, Алапаевский, Монетный и Верхне-Уфалейский хромитоносные массивы. Особенностью Алапаевского, Монетного и Верхне-Уфалейского массивов является абсолютное преобладание среди ультраосновных пород перидотитов (гарцбургитов); в тесной пространственной и генетической связи с последними находятся значительные площади габбровых пород и пород габбро-пироксенито-верлитового состава. Дуниты развиты в малом количестве. Переход от габбро к господствующим в массиве перидотитам сопровождается различными по форме обособлениями пироксенитом (диаллагитов и диопсидитов) и верлитов. Между габбро и пироксенитами с одной стороны, и между пироксенитами и верлитами, с другой, наблюдаются постепенные дифференциационные переходы. Между верлитами же и господствующими перидотитами контакты резкие.

Дуниты представлены неправильными, обычно удлиненными шлирами (до 100 м в поперечнике), простирающимися согласно с общим простиранием массивов.

Дунитовые шлиры встречены только в перидотитовых массивах и имеют как постепенные, так и более или менее резкие с ними контакты. Обычно с дунитами ассоциируют хромитовые руды.

Верблюжьегорский массив отличается большой однородностью петро-

графического состава.

Ультраосновные породы этого массива, по данным ряда исследователей (Соколов, Кашин и др. 1936), относятся к гардбургитам. Однако в гардбургитах этого массива, по данным Н. В. Павлова, спорадически встречается и моноклинный широксен (псевдоморфозы амфибола и хлорита по пироксену). Дунитовые обособления чрезвычайно редки. Они были отмечены только вблизи рудных тел. Породы габбрового семейства также известны в массиве, однако встречаются в ограниченном количестве.

Подгруппа Б. Гарцбургито-лерцолитовые массивы

К этой подгруппе мы относим следующие массивы: Успенский, Татищевский, Кутарстанский, Куликовский и Варшавский.

Первичный состав ультраосновных пород, слагающих эти массивы, характеризуется абсолютным преобладанием перидотитов над другими дифференциатами. Для значительных плещадей этих массивов характерна однородность минералогического состава перидотитов.

В этих массивах перидотиты представлены как лерцолитами, так и гэрцбургитами, однако площадь развития и количественные соотношения их в каждом массиве еще очень слабо изучены. Это объясняется тем, что в соседстве с ними находятся породы гранитной магмы, которые резко преобразовали серпевтиниты (перекристаллизация). Установлено, что лерцолиты в интрузивах занимают более верхние горизонты, чем гарцбургиты. Дуниты обособляются в перидотитах в форме сравнительно мелких шлиров; с ними часто и связаны рудные хромитовые проявления.

Обычно дуниты обособляются среди гардбургитов. Контакты между

дунитами и перидотитами то резкие, то постепенные.

Комагмати ческие породы габбрового семейства не имеют широкого развития. Они присутствуют в форме штоков и даек, секут ультрабазиты.

Подгруппа В. Лерцолитовые массивы

Представителем этой подгруппы является Сакмарский нехромитоносный массив. Этот массив сложен перидотитами лерцолитового состава

с подчиненным развитием в периферических частях оливиновых вебстеритов. В наиболее размытых частях массива обнажаются в форме небольших «окон» гарцбургиты с спорадически встречающимися зернами моноклинного пироксена (или псевдоморфоз по нему). Дуниты встречены только в связи с гарцбургитами в форме полосок и небольших шлиров до 0.3 м в поперечнике.

Ультраосновные породы инъицированы штоками и дайками пород пироксенито-верлито-габбрового состава; между габбро и пироксенитами и между пироксенитами и верлитами имеются постепенные переходы. Иногда встречаются дайки габбро-циабазов.

Резюмируя петрографические особенности массивов первой группы

(1А, 1Б, 1В), подчеркием следующие их характерные черты:

1) Массивы в основном сложены перидотитами. По характеру перидотитов различаются массивы гардбургитовые (подгруппа А), к которым относятся такие, как Алапаевский, Верхне-Уфалейский, Верблюжьегорский и др. Далее различаются массивы, перидотиты которых относятся к гардбургитам и лерцолитам (подгруппа Б). К этой подгруппе относятся Татищевский, Успенский, Кутарстанский, Куликовский, Варшавский и другие массивы.

Сюда могли бы быть отнесены и такие массивы, как Кемпирсайский, Тагило-Невьянский, Кракинские и др., однако своеобразное распределение различных петрографических разновидностей в них заставляет выделить и рассмотреть их отдельно (см. описание подгрупп Б и В второй группы). Наконец, различаются и массивы, существенно сложенные лерцолитами (подгруппа В), к ним относится Сакмарский нехромито-

носный массив.

2) Чисто оливиновых пород — дунитов — мало. Они обособляются в форме как мелких, так и более крупных шлиров, главным образом среди гарцбургитов. Удлиненные шлиры дунитов располагаются согласно с простиранием массивов.

3) Резко выраженной дифференцированности ультраосновных пород на современной эрозионной поверхности массивов этой группы не на-

блюдается.

4) Породы габбрового семейства в некоторых массивах (Алапаевский, Монетный и др.) имеют широкое развитие, однако в преобладающем числе массивов габброиды образуют сравнительно небольшие штоки и дайки. Как подчиненные фации в них отмечаются пироксениты и верлиты, а также габбро-диориты. Но магматический комплекс габбро-пироксенитверлитового состава является несколько более поздним, чем собственно ультраосновные породы.

# II группа. Дунито-перидотитовые массивы с подчиненным участием габброидных пород

Подгруппа А. Дунито-гарцбургитовые массивы

 По морфологии дунитовых обособлений среди перидотитов в указанной подгруппе намечаются две категории массивов:

1) массивы, в которых дуниты хорошо обособлены в поля, поддающиеся

выделению на детальных картах;

2) массивы, в которых дуниты перемежаются с гарцбургитами в форме узких полос и удлиненных шлиров небольшой мощности.

К первой категории относятся Южно-Аккаргинский, Наследницкий Халиловский массивы, ко второй относятся массивы Узянский Крака Северо-Аккаргинский.

Подгруппа А. Существенно гарцбургитовые массивы.

Примерами этой подгруппы могут служить Верблюжьегорский, Алапаевский, Монетный и Верхне-Уфалейский хромитоносные массивы. Особенностью Алапаевского, Монетного и Верхне-Уфалейского массивов является абсолютное преобладание среди ультраосновных пород перидотитов (гарцбургитов); в тесной пространственной и генетической связи с последними находятся значительные площади габбровых пород и пород габбро-пироксенито-верлитового состава. Дуниты развиты в малом количестве. Переход от габбро к господствующим в массиве перидотитам сопровождается различными по форме обособлениями пироксенитов (диаллагитов и диопсидитов) и верлитов. Между габбро и пироксенитами с одной стороны, и между пироксенитами и верлитами, с другой, наблюдаются постепенные дифференциационные переходы. Между верлитами же и господствующими перидотитами контакты резкие.

Дуниты представлены неправильными, обычно удлиненными шлирами (до 100 м в поперечнике), простирающимися согласно с общим простиранием массивов.

Дунитовые шлиры встречены только в перидотитовых массивах и имеют как постепенные, так и более или менее резкие с ними контакты. Обычно с дунитами ассоциируют хромитовые руды.

Верблюжьегорский массив отличается большой однородностью петро-

графического состава.

Ультраосновные породы этого массива, по данным ряда исследователей (Соколов, Кашин и др. 1936), относится к гардбургитам. Однако в гардбургитах этого массива, по данным Н. В. Павлова, спорадически встречается и моноклинный цироксен (псевдоморфозы амфибола и хлорита по пироксену). Дунитовые обособления чрезвычайно редки. Они были отмечены только вблизи рудных тел. Породы габбрового семейства также известны в массиве, однако встречаются в ограниченном количестве.

Подгруппа Б. Гарцбургито-лерцолитовые массивы

К этой подгруппе мы относим следующие массивы: Успенский, Татищевский, Кутарстанский, Куликовский и Варшавский.

Первичный состав ультраосновных пород, слагающих эти массивы, характеризуется абсолютным преобладанием перидотитов над другими дифференциатами. Для значительных площадей этих массивов характерна однородность минералогического состава перидотитов.

В этих массивах перидотиты представлены как лерцолитами, так и гарцбургитами, однако площадь развития и количественные соотношения их в каждом массиве еще очень слабо изучены. Это объясняется тем, что в соседстве с ними находятся породы гранитной магмы, которые резко преобразовали серпентиниты (перекристаллизация). Установлено, что лерцолиты в интрузивах занимают более верхние горизонты, чем гарцбургиты. Дуниты обособляются в перидотитах в форме сравнительно мелких шлиров; с ними часто и связаны рудные хромитовые проявления.

Обычно дуниты обособляются среди гарпбургитов. Контакты между

дунитами и перидотитами то резкие, то постепенные.

Комагмати ческие породы габбрового семейства не имеют широкого развития. Они присутствуют в форме штоков и даек, секут ультрабазиты.

Подгруппа В. Лерцолитовые массивы

Представителем этой подгруппы является Сакмарский нехромитоносный массив. Этот массив сложен перидотитами лерцолитового состава

с подчиненным развитием в периферических частях оливиновых вебстеритов. В наиболее размытых частях массива обнажаются в форме небольших «окон» гарцбургиты с спорадически встречающимися зернами моноклинного пироксена (или псевдоморфоз по нему). Дуниты встречены только в связи с гарцбургитами в форме полосок и небольших шлиров до 0.3 м в поперечнике.

Ультраосновные породы инъпцированы штоками и дайками пород пироксенито-верлито-габбрового состава; между габбро и пироксенитами и между пироксенитами и верлитами имеются постепенные переходы.

Иногда встречаются дайки габбро-диабазов.

Резюмируя петрографические особенности массивов первой группы

(1А, 1Б, 1В), подчеркием следующие их характерные черты:

1) Массивы в основном сложены перидотитами. По характеру перидотитов различаются массивы гардбургитовые (подгруппа А), к которым относятся такие, как Алапаевский, Верхне-Уфалейский, Верблюжьегорский и др. Далее различаются массивы, перидотиты которых относятся к гардбургитам и лерцолитам (подгруппа Б). К этой подгруппе относятся Татищевский, Успенский, Кутарстанский, Куликовский, Варшавский и другие массивы.

Сюда могли бы быть отнесены и такие массивы, как Кемпирсайский, Тагило-Невьянский, Кракинские и др., однако своеобразное распределение различных петрографических разновидностей в них заставляет выделить и рассмотреть их отдельно (см. описание подгрупп Б и В второй группы). Наконец, различаются и массивы, существенно сложенные лерцолитами (подгруппа В), к ним относится Сакмарский нехромито-

носный массив.

2) Чисто оливиновых пород — дунитов — мало. Они обособляются в форме как мелких, так и более крупных шлиров, главным образом среди гарцбургитов. Удлиненные шлиры дунитов располагаются согласно с простиранием массивов.

3) Резко выраженной дифференцированности ультраосновных пород на современной эрозионной поверхности массивов этой группы не на-

олюдается.

4) Породы габбрового семейства в некоторых массивах (Алапаевский, Монстный и др.) имеют широкое развитие, однако в преобладающем числе массивов габброиды образуют сравнительно небольшие штоки и дайки. Как подчиненные фации в них отмечаются пироксениты и верлиты, а также габбро-диориты. Но магматический комплекс габбро-пироксенитверлитового состава является несколько более поздним, чем собственно ультраосновные породы.

# II группа. Дунито-перидотитовые массивы с подчиненным участием габброидных пород

Подгруппа А. Дунито-гарцбургитовые массивы

 По морфологии дунитовых обособлений среди перидотитов в указанной подгруппе намечаются две категории массивов:

1) массивы, в которых дуниты хорошо обособлены в поля, поддающиеся

выделению на детальных картах;

2) массивы, в которых дуниты перемежаются с гарцбургитами в форме узких полос и удлиненных шлиров небольшой мощности.

К первой категории относятся Южно-Аккаргинский, Наследницкий Халиловский массивы, ко второй относятся массивы Узянский Крака Северо-Аккаргинский.

Ультраосновные породы в массивах этой подгруппы главным образом принадлежат к гарцбургитам. Другие разновидности перидотитов (лерцолиты, верлиты) или отсутствуют или играют вполне второстепенную роль.

Породы габбрового семейства встречаются в сравнительно малом количестве. В тесной генетической связи с габбро находятся различные пироксениты.

Дуниты присутствуют в подчиненном количестве.

Подгруппа Б. Дунито-гарцбур гито-лерцолитовые массивы с преобладанием гарцбургитов

К этой подгруппе относятся массивы Кемпирсайский, Тагило-Невьянский, Серовский и Устейский.

Подгруппа В. Дунито - гарцбургито - лерцолитовы е массивы с преобладанием лерцолитов

Сюда относятся массивы Средний, Северный и Южный Крака.

По массивам подгрупп Б и В подчеркнем следующие особенности. В их составе принимают участие почти все дифференциаты собственно ультраосновной магмы. Главную роль играют перидотиты лериолитового и гарцбургитового составов (часто совместно). Иногда заметное участие принимают и пироксениты. Дуниты, являясь в большинстве массивов носителями хромитовых руд, играют заметную, а иногда и значительную роль (Кемпирсайский массив), обособляясь как в виде крупных полей среди перидотитов, так и в форме мощных шлирообразных тел и полос среди гарцбургитов (и реже среди лерцолитов).

Перидотиты верлитового состава крайне редки или вовсе отсутствуют. Их появление находится в тесной связи только с жилоподобными телами

пироксенитов.

Породы габбрового семейства хотя и встречаются совместно с ультрабазитами, однако по времени внедрения они несколько моложе, чем эти последние. В Кемпирсайском, а, возможно, и в Тагило-Невьянском массивах наряду с молодыми габбро имеются также и габбро более древние, чем ультрабазиты. Наконец, для всех массивов описываемой группы характерно зональное (послойное) распределение в интрузиве различных ультраосновных пород.

III группа. Существенно дунитовые массивы с тем или иным участием пироксенитов и габбро

Подгруппа А. Дунито-пироксенитовые, с наличием верлитов (неплатиноносные)

К этой группе мы относим массивы Верх-Нейвинский, Верхне-Тагильский, Гологорский, Иткульский, Каркадинский и Нелобский.

Массивы этой группы состоят преимущественно из дунитов. В резко подчиненном количестве присутствуют перидотиты, которые представлены главным образом верлитами и очень редко гарцбургитами. Перидотитов лерцолитового состава не известно.

Непосредственно с дунитами здесь связаны пироксениты (диаллагиты и диопсидиты) в противоположность массивам других групп (I и II), где пироксениты связаны с большими массами перидотитов.

С пироксенитами здесь тесно связаны габбровые фации, не играющие

существенной количественной роли.

Взаимоотношения дунитов и пироксенитов, повидимому, варьируют: водних случаях наблюдаются постепенные дифференциационные переходы; в других — приконтактовые изменения (акгинолизация) дунитов.

#### Подгруппа Б. Платиноносные габбро-пироксенито-дунитовые массивы

К этой группе относится ряд массивов Среднего и Северного Урала — Кытлымо-Тагильский, Кумба, Денежкин камень и др.

В состав этих массивов входят разнообразные дериваты габбро-перидотитовой магмы, начиная от дунитов, с одной стороны, и кончая плагиогранитами и гранитами, с другой. Все породы, по данным ряда исследователей (Н. К. Высоцкий, Л. Дюпарк, Е. А. Кузнецов, А. Н. Заварицкий, А. Г. Бетехтин и др.), связаны постепенными взаимопереходами, в то же время более кислые породы (граниты, диориты, габбро-диориты и некоторые другие) обладают признаками более молодого возраста.

Дуниты, образуя значительные участки в этих массивах, со всех сторон окружены пироксенитами (диаллагитами). Переходы между дунитами и пироксенитами постепенные и представлены перидотитами верлитового

состава.

Хромитовые обособления, очень незначительные по размерам (непромышленные), связаны с дунитами, очень редко с верлитами. В пироксенитах обособляются руды магнетитового состава.

### IV группа. Перидотито-пироксенитовые массивы

К этой группе относятся Каменецко-Подольский и Шевченковский массивы.

Каменецко-Подольский массив сложен преимущественно пироксенитами диаллагитового состава и в несколько меньшей мере перидотитами, по первичному составу относящимися к гарцбургитам. Пироксениты занимают большую северную часть массива. Гарцбургиты развиты в южной части и окаймляют пироксенит с юга. Совершенно подчиненное значение имеют дуниты. Они были встречены в форме меридионально вытянутых плиров на границе между гарцбургитами и диаллагитами. Мелкие дунитовые шлиры удлиненной формы, сопровождаемые верлитами, встречены также и в пироксенитах. Среди дунитов обособляются непромышленные шлирочки хромитовых вкрапленников. Взаимоотношения между пироксенитами и гарцбургитами не выяснены, так как плохая обнаженность не дает возможности наблюдать контакты между ними. Можно видеть, что пироксениты залегают на гарцбургитах, т. е. в этом массиве также подмечается вертикальная зональность (по устному сообщению В. Л. Федорова).

Шевченковский массив в основном сложен лерцолитами, среди которых отмечаются шлировые обособления пироксенитов вебстеритового и диаллагитового состава (устное сообщение В. Л. Федорова). Переходы к лерцолитам постепенные. Дуниты имеют резко подчиненное значение и обособляются в форме мелких шлиров, вытянутых так же, как и пироксениты, согласно с простиранием массива. С дунитами связаны непромышленные скопления хромитовых руд.

## V группа. Гарибургитовые массивы с обособленным дунито-верлито-пироксенито-габбровым комплексом

Единственный представитель этой группы — Хабарнинский массив — весьма сложен по своему петрографическому составу (Кашин и Федоров, 1940). По существу он представляет собой как бы совмещение массивов группы І-А и группы ІІІ-А. На большей части площади представлены массивные гарцбургиты. В восточной части массива к ним примыкает значительная площадь дунитов («главное дунитовое поле»). В северо-

восточной краевой части массива локализуются породы габбро-пироксенито-дунитового комплекса. Габбро с верлито-пироксенитовыми фациями закартированы также в юго-западной и юго-восточной краевых частях массива.

Вдоль северо-восточной окраины массива обособляется мощное дайкообразное, сильно дифференцированное тело, в состав которого входят верлиты, пироксениты, оливиновые пироксениты, оливиновые габбро, нормальные габбро и их пегматиты, нориты, габбро-диориты и плагиограниты. Гардбургиты переходят в дуниты через полосчатые дунитогардбургитовые разности, что указывает на их нормальные дифференциационные отношения.

Отношения между породами в габбро-пироксенито-дунитовом комплексе таковы: габбро и пироксениты дают постепенные переходы или образуют шлиры друг в друге, т. е. породы эти сингенетичны. Контакты между пироксенитами и дунитами большей частью резкие, иногда с переходной узкой зоной пойкилитовых неравномерно зернистых верлитов реакционного характера. Пироксениты образуют «языки» и линзы в дунитах, ориентированные вполне согласно с местными контурами массива. На поверхности дуниты целиком окружены пироксенитами. Дуниты, связанные с пироксенитами, обильно насыщены месторождениями вкрапленных хромитовых руд. Контакты пироксенитов с дунитами «главного дунитового поля» аналогичны с только что охарактеризованными.

### VI группа. Перидотитовые массивы сарановского типа

Сарановские массивы не имеют зналогов среди других хромитоносных интрузивов Урала и потому выделены нами в самостоятельную группу. Незначительные по площади (20—30 га), они обладают исключительно крупными месторождениями хромитов.

По петрографическому составу они также резко отличаются от других массивов Урала.

По данным И. А. Зимина (1938), массивы сложены перидотитами гарцбургитового состава. Среди гарцбургитов различаются две структурные разновидности — гарцбургиты с гипидиоморфно-зернистой структурой и гарцбургиты с пойкилитовой структурой, с обильным количеством (80—85%) зерен оливина, образующих вростки в крупные (1—1.5 см) зерна баститизированного ромбического пироксена.

Хромитовые месторождения располагаются в гарцбургитах пойкилитовой структуры.

Таким образом, из краткого обзора первичного петрографического состава ультраосновных массивов Урала видно, что в значительном числе их породы габбрового семейства не показывают постепенных переходов к ультрабазитам и являются несколько более поздними образованиями. В некоторых массивах (Кемпирсайский, Тагило-Невьянский) установлены породы габбрового состава, внедрившиеся ранее ультрабазитов. Если учесть эти особенности, а также принять во внимание, что породы габбрового семейства сами являются не хромитоносными, то по составу ультраосновных пород массивы Урала можно было бы классифицировать следующим образом:

I т и п. Существенно перидотитовые массивы с незначительным обособлением дунитов

Подтип А — гарцбургитовые

- » Б гарцбургито-лерцолитовые
- » В лерцолитовые

- н тип. Дунито-перидотитовые массивы
  - Подтип А дунито-гарцбургитовые
    - » Б дунито-гарцбургито-лерцолитовые
    - » В то же, что и подтип Б, но с преобладанием лерцолитов над гарцбургитами
- 111 тип. Дунито-пироксенитовые массивы

Подтип А — дунито-пироксенитовые с наличием верлитов (неплатиноносные)

Б — дунито-пироксенитовые (платиноносные)

IV тип. Перидотито-пироксенитовые массивы

Подтип А — гарцбургито-пироксенитовый

Б — лерцолито-пироксенитовый

V тип. Хабарнинский тип

Гарцбургитовые с обособленным дунито-верлито-пироксенитогаббровым комплексом пород

VI тип. Перидотитовые массивы сарановского типа. Чисто гарцбургитовый с пойкилитовыми рудоносными гарцбургитами.

## иі. Химический состав пород ультраосновных массивов урала

В предыдущем изложении мы охарактеризовали массивы по их петрографическому составу. Для нашей темы, разумеется, весьма важно также и знание основных черт химического состава ультрабазитов Урала.

Из числа рассмотренных массивов, к сожалению, не все могут быть охарактеризованы в химическом отношении, так как далеко еще не все они изучены.

Приводимые в табл. 4 химические анализы пород того или иного массива в большинстве случаев являются для каждого типа пород единичными и, конечно, не могут с желательной полнотой показать особенности состава той или иной породы.

Однако сравнительно простой первичный минералогический состав ультрабазитов, постоянство количественных соотношений породообразующих минералов и очень незначительные колебания их оптических констант для определенных пород того или иного массива позволяют положить имеющиеся анализы в основу дальнейших наших рассмотрений.

Заметим, что непосредственное сопоставление цифр химических анализов пород невозможно по той причине, что породы каждого массива имеют различную степень метаморфических преобразований (см. содержание  $+ \mathrm{H}_2\mathrm{O}$  и Fe  $_2\mathrm{O}_3$  в табл. 4).

Для того чтобы вскрыть общие и особенные черты составов пород различных массивов, необходимо некоторыми пересчетами элиминировать эти вторичные изменения и приблизиться к цифрам химического состава первичных пород.

Для этого мы взяли анализы пород только таких массивов Урала, которые наиболее хорошо изучены как в петрографическом, так и в химическом отношениях. К тому же пределы вариаций составов рудообразующих хромшпинелидов в месторождениях, выбранных по такому признаку массивов, охватывают собой все известные вариации составов уральских хромшпинелидов.

Мы использовали для пересчетов анализы пород следующих массивов: Кемпирсайского, Халиловского, Южно-Кракинского, Хабарнинского, Нижне-Тагильского (платиноносного) и Сарановского.

_										_
ядку	Название массивов	Главнейшие первичные разновидности пород			·	Хими	ческий	coctai	пород	
М по порядиу	или отдельных их частей	массива или его отдель- ных частей	SiO,	Ti0,	Al,0,	Cr,O.	Fe,0,	FeO	MgO + NiO	
1	Алапаевский	Дуниты	40.01 41.88	0.10	1.95 5.34	$0.54 \\ 0.32$	3.46 1.84	3.72 5.33		
2	Верхне-Уфалей- ский	Пироксенить (вебстериты Пуниты	35.63 36.00 47.00	не опр. следы	1.10 1.37 1.00	0.32 0.25 0.53	4.29 5.10 3.74	2.96 2.49 2.10	43.48 41.02 26.73	
3	Верблюжьегор- ск <b>ий</b>	Дуниты (оч. мало) Гарц: ургиты Лерцолиты Сопутств. габброидный комплекс	32.44 41.24	_	2.33	0.77		2.73	38.71	1
4	Тат <b>ище</b> вск <b>ий</b>	Дуниты (мало)								
5	<b>У</b> сп <b>ен</b> ский	Дупиты (мало) Гардургиты								
6	Куликовски	Дуниты (оч. мало)								
9	Варшавский	Дуниты (оч. мало) Гарцбургиты								
8	<b>Кундыбаевский</b>	Дуниты (мало) Гарцоургиты Лерцолиты								
9	Санмарский	Дуниты (оч. мало)	_							
10	Южно-Аккаргин- ский	Дуниты	40.44 38.88		0.95 0.92	0.42 0.42	7.24 6.74	0.11 0.64	39.55 40.59	

<sup>\*</sup> Названия пород, напечатанные жирным шрифтом, указывают на их преоб

в весов	ых процента:	x		Примеча-	для г. 5		Ч	ислов	ые кај А. Н.	ран; За	герист вариц	ики (кому	по зка	ιд.
CaO	Na,0 +	+ H <sub>1</sub> 0 - H <sub>1</sub> 0	Сумма	ние	М по пор. для диагр. фиг. 5	а	a	ъ	8	a'	f'	m'	c'	n
0,28	0.33	9.31 1.0	7 100.19 100.37			0 0.5	0.6 0.9	64.2 63.4	35.2 35.2		9.3 7.9	90.7 91.7	0 0.4	
8.30	0.09	7.790.3	     <b>100.37</b>		1				42.0		1	1	10.5	
14.85	0.50	2.30 0.2	100.21		4	0.9	0.4	52.8	45.9		11.8	60.8	27.4	
следы 1.22	0.09 0.19	12.56 0.76 12.76	101.94 100.40			0.2	0.6	64.8	34.4					
12.97	0.01	6.28	100.00			0.1	0.5	54.4	45.0					
12.12	2.94	1.60 0.69	100.04	рождение		7.7	0.9	40.8	50.6					
4.20 0.12	0.09 0.21	12.33 — 11.46 —	100.52 99.90		5 6	$0.2 \\ 0.4$	1.5 1.7	66.6 57.4	31.7 40.5		10.9 11.1	84.8 88.7	4.3 0.2	
				•										
следы »	Na,0 K,0	11.90 0.0 12.05 0.7				0	0.7 0.1	61.0 62.9	38.3 37.0		8.5 8.4	91.5 91.6	0	

ладание или широкое распространение в массиве.

порядку	Название массивов	Главнейшие первичные разновидности пород				Хими	ческий	состав	з пород
on on ex	или отдельных их частей	массива или его отдель- ных частей	SIO,	Ti0,	A1,0,	Cr,0,	Fe,0,	FeO	Mgo + Nio
11	Наследницкий	Дуниты							
12	Халиловский .	Дуниты	35.18 37.29	HeT »	0.67 0.47	0.37 0.25	4.77 2.77	2.18 4.06	38.82 40.10
13	Узянский Крака	Дуниты		•			,		
14	Сөверо-Аккаргин- ский	Дуниты							
15	Верхне-Тагиль- ский	Дуниты							
16	Верх-Нейвинский	Дуниты	40.62	0.12	0.92	0.28	4.37 4.02 2.50	3.12	ł
17	Гологорский	Дуниты	:						
18	Иткульский	Дуниты	39.67	не опр.	1.01	1.79	1.51	3.00	49.50
19	Каркадинский	Дуниты	<b>3</b> 2.50	сле ды	0.62	0.58	6.25	1.54	43.02
20	<b>Не</b> лобск <b>ий</b>	Дуниты						į	
21	Северный Крака	Дуниты							
22	Ср <b>едний</b> Крака	Дуниты							

в весовь	их пр	оцента	<b>r</b>				дия . 5			та о	ые ха	рак	терис		по ан	
CaO	Na,0	K,0	+ H <sub>1</sub> 0	O'H —	Сумма	Примеча- ние	№ по пор. для диагр. Фиг. 5	a	a	ь	8	a'	f	m'	c'	n
	0.08 0.11	<del>-</del>	17.76 14.14		99.83 99.60		9 10	0.2 0.2	0.5	63.8 63.2	35.5 36.3			91.4 91.6		
0.38 1.24 21.46			11.98 8.76 1.12	_	100.12 100.06 100.06		11 12 13	0	0.6	66.2 62.0 49:9	37.4		8.3	93.2 90.7 50.5	1.0	
0.20	0.07	·	3.71	0.34	100.73											
0.421					101.24											

порндну	Название массивов	Главнейшие первичные					Хими	ческий	состав
М по поря	название массивов ним стдельных их частей	петрографические развовидности пород массива или его отдельных частей	SIO.	T10.	A1,0,	Cr,O,	Fe,O,	FeO	MgO +
23	Юж <b>ный</b> Крака	Дуниты	40.38	»	[0.95]	[0.32]	4.14	3.17	,
24	Кемпирсайский (северная часть)	Дуняты	33.76 37.94	следы »	0.76 0.77	0.35 0.37	7. <b>3</b> 7 5.63	0.69 1.86	
	Кемпирсайский (южная часть)	Дуниты	35.86	0.02	1.20	0.25	5.93	0.77 1.28 1.28	38.73
25	Ключевск <b>ий</b>	Дунаты	38.76	<b>—</b>	3.14	0.10	3.55	6.43 4.19 6.69	37.42
26	Тагило-Невьян- ский	Дуниты							
27	Хабарнинский (главная часть массива)	Дуниты (мало) Гарцбургиты Пироксениты							-
	Хабарнинский (севвост. рудо- носная часть массива)	Дуниты	39.60 37.61	0.22	1.10 1.1 2.61 0.31	0.18	5.34 6.60 5.55 5.18	1.02 2.50 1.51 1.72 4.67 3.29	40.50 39.85 37.20 28.58
28	Каменецкий	Дуниты (мало)			4.37	_			19.22
29	Шевченковский	Дуниты							
<b>3</b> 0	Сарановский	Гарцбургиты рудонос- ные	35.56 28.70					0.15 0.22	
31	Нижне-Тагильск.	Дунаты			0.57	1			49.09
•		Верлиты	49.63 50.82			0.30 0.85		5.47 3.68	18.51 18.40
	Серпентинизирован	ные дуниты	<b>35.9</b> 3	0.05	0.37	0.47	4.14	4.88	43.61

в весов	ых пр	оцента	<b>t</b>			Примеча-	для г. 5		ч	ислов	ые ха А. Н	рак . За	герис: вари:	тко <b>ма</b>	по ак	ад.
CaO	Na,0	K,0	+ H,0	- H <sub>1</sub> 0	Сумма	ние	М по пор. д	a	a	b	8	a'	f'	m'	c'	n
0.50	0.23 0.30 0.41	0.08	12.70 9.06 3.07	0.91	99.68 100.21 100.02		15	0.7	0.3	65.7 61.5 59.6			8.7	92.4 91.0 88.5	0.3	83.
	0.20 0.26				100.20 100.12		17 18	0.2	1.2	66.8 62.8	31.8 36.4			90. <b>5</b> 90.5		100 80
2.25 - 1.06			15.22	1.28	99.80 99.90 100.18		19 20 21	0	0.9	66.0 63.2 60.1	35.9		8.7	90.0 91.3 89.3	0	ļ
1,25 0.55			11.70		99.91 99.41											
17.50			2.61	0.15	100.59											
	0.32 0.56 — —	следы —	11.10 9.29	1.00	99.99 99.96 99.64 100.56 99.97 100.41	+0.51 - CO <sub>2</sub>		0.5 1.0 0.0 0	$0.8 \\ 0.2 \\ 0.3 \\ 0.3$	63.8 61.8 62.5 57.7	35.5 35.5 37.0 37.2 42.0 47.2	3.3	9.1 9.4 9.0 13.2	88.3 90.5 89.5 87.7 72.0 57.4	0.4 1.1 0 14.8	
нет 0.22 1 нет 20.56 22.09	0.20	- 0.09 -	12.10 12.08 1.28 0.89 0.96 8.00	0.65 - - CO <sub>2</sub>				0 0 0.4	0.3 0 1.2	61.8 67.0 51.4	37.9 33.0	1.3	8.7 8.6 10.5	85.0 91.0 90.1 50.5 51.0	0.3 0 39.0	

Сравнение данных химических анализов неизмененного дунита с серпентивитами по дуниту из Нижне-Тагильского массива после соответственного пересчета на молекулярные проценты

Окислы		Дунит			Серпентинит по дуниту		Серпентинит по дуниту			Серпентинит по дуниту			Среднее значение окислов равлично серпентипизированных дунитов по многим знализам (Е. А. Кузнецов)			
	Bec. %	мол. кол.	мол. ⁰/₀	вес. %	мол. кол.	мол. ⁰/₀	вес. %	мол. кол.	мол. ⁰/₀	вес. %	мол. кол.	мол. ⁰/₀	вес. %	мол. кол.	мол. %	
SiO <sub>2</sub> TiO <sub>2</sub> Al <sub>2</sub> O <sub>3</sub> Cr <sub>2</sub> O <sub>3</sub> Fe <sub>2</sub> O <sub>3</sub> Fe <sub>2</sub> O MnO MgO CaO Na <sub>2</sub> O K <sub>2</sub> O —H <sub>2</sub> O CO <sub>2</sub> Cymma MgO «Fe?»	40.08 HET 0.57 0.50 HET 8.29 49.09 HET	6 3 115 1227 ——————————————————————————————————	33.00 0.3 0.15 5.75 60.80 — — 100.00	— следы 0.60 3.32 4.43 0.24 43.20 следы 0.18 0.13 12.87 0.70	2 21 62 3 1077 — 3 1 1 —	32.18 — 0.32 5.92 61.25 — 0.25 0.08 — 100.00	35.98 	600 — 1 3 24 65 3 1084 — — — — 1818	33.0 	35.85 — нет 1.46 1.62 6.82 — 41.48 1.31 следы — 10.07 1.91 100.52	597 — 10 10 94 — 1037 17 — — — — —	33.73 0.50 6.40 58.40 0.97 — — — — 100.00	35.93 0.05 0.37 0.47 4.14 4.88 0.16 43.31 0.30 0.49 0.08 0.05 8.00 177	598 -4 3 26 68 1085 9   1819	32.70 0.20 0.10 	
Откуда заим- ствован ана- лиз	Плат <b>Ан</b> а		985 r.) O. H.	Пла ее	тина и добычи	ысоцкий. грайоны г (1925) 643/1904	(т	. К. Выс ам же) А. Л. Пе	<b>Ан</b> ал <b>из</b>	(та	К. Высог м же). Аг И. Ожог	нализ	чицкий.		В.И.Лу- рафические СССР	

В цифры анализов пород нами были введены следующие поправки:

1)  $Fe_2O_3$  было перечислено на эквивалентное количество FeO и присоединено к FeO в анализе;

2) + H<sub>2</sub>O — отброшено.

После такого рода поправок данные анализов были пересчитаны на молекулярные проценты.

Конечно, результаты такого пересчета анализов не будут вполне точно отвечать составу первичных пород, так как химические изменения при метаморфозе (главным образом серпентинизации) являются более сложными, чем простая гидратация и окисление части закисного железа; по существу характер химических изменений при серпентинизации с полной определенностью еще не выяснен. Однако полученные пересчетом цифры значительно точнее отражают первичный состав ультраосновных пород, и, пользуясь ими, можно делать более обоснованные сопоставления.

Мы позволим себе здесь в подтверждение привести сравнение данных химических анализов неизмененных дунитов и серпентинитов по дунитам Нижне-Тагильского массива (Кузнецов и Лучицкий, 1936). В табл. 5, в колонке 1 приводятся данные анализа слабо серпентинизированного дунита (+ H<sub>2</sub>O =1.28%) с глубины 500 м; в колонках 2, 3 и 4 приводятся анализы серпентинитов по дунитам с содержанием + H<sub>2</sub>O от 10.07 до 12.87% вес.

В третьем столбце каждой колонки приводится содержание окислов в молекулярных процентах после пересчета.

Сравнение показывает весьма близкие значения главных окислов, кан видно из следующих цифр.

	Дуниты, мол. %	Серпент	иниты по д мол. %	унитам,
SiO <sub>2</sub> MgÖ	33.00 60.80	32.18 61.25	33.00 59.70	33.73 58.40
∢FeO»	5.75	5.95	6.30	6.40
Cr <sub>3</sub> O <sub>2</sub> MgO «FeO»	0.25 10.57	0.30 10.34	0.10 9.48	0.50 9.25

Аналогичные данные показывают и средние значения окислов, вычисленные из многих анализов различно серпентинизированных дунитов по этому массиву (см. табл. 5).

Отметим, что отношение  $\frac{\text{MgO}}{\text{«FeO}»}$  после пересчета для сильно серпентинизированных дунитов несколько ниже по сравнению с несерпентинизированными дунитами, т. е. наблюдается как бы увеличиние «FeO» ижи соответственно уменьшение MgO при процессах серпентинизации. Имея это в виду, мы для сравнения химического состава пород из различных массивов по возможности выбрали такие анализы, которые характеризуются примерно одинаковой степенью серпентинизации, судя по содержанию +  $\text{H}_2\text{O}$  и микроскопической их характеристике.

Результаты пересчетов анализов пород по шести массивам приводятся в табл. 6. Названия пород, которые преобладают в каждом данном массиве или входят в его состав в значительном количестве, набраны жирным шрифтом.

Рассмотрим кратко, какими особенностями химического состава обладают породы этих массивов.

									•
Название массивов	Главнейшие разновидности ультраосновных и род в массиве или его части		MgO	« <b>F</b> e0»	CaO	A1,0,	Cr,0.	MgO «FcO»	Al <sub>2</sub> O <sub>3</sub> Cr <sub>2</sub> O <sub>5</sub>
Кемпирсайский, се- верная часть	Дуниты Гарцбургиты		59.50 56.85	5.97 5.65		0.45 0.48		10.0 10.0	1.7
Кемпирсайский, южная часть	Дуниты Гарцоургиты Лерцолиты	35.75	60.09 57.95 53.97	5.49	0.25 нет 1.11	0.25 0.70 0.81		12.0 10.56 9.00	
<sup>3</sup> Хал <b>и</b> лов <b>ский</b>	Дуниты Гарцбургиты Лерцолиты	35.68 3 <b>6</b> .37	58.46 58.00	5.34	нет » іх нет	$\begin{matrix}0.35\\0.24\end{matrix}$	0.15 0.05	10.90 10.86	
Южный Крака	Дуниты Гарцб <b>у</b> ргиты Лерцолиты	33.50 37.45 38.00	56.09 52.67	5.00 5.34 5.71	0.45 0.50 2.11	0.45 0.50 1.46		12.09 10.50 9.22	
<b>Х</b> абарнинский	Гарцёургиты Верлиты	35.58 37.27 41.70 46.87	56.17 55.23 41.44	5.89 7.59	нет 0.85 8.90	0.51 0.66 0.20	0.15 0.10 0.15	7.40 9.37 5.46	3.40 6.6 1.33 100
Нижне-Тагильский (платиноносный)	Дуниты	32.70 46.30	60.00	6.50	0.50	1.09 0.20 1.27	0.01 0.10 0.13	7.76 9.23 5.0	2.0 10.0
Са <b>рановский</b>	диаллагиты) Гарцбургиты пойкилитовой	46.40 35.47		5.25 8.15	22.45 нет	0.90		4.76 6.80	100 4.0
	структуры Гарцбургиты нормальные	37.72	56.43	5.20	0.23	0.12	0.30	10.85	0.4

### Дуниты

По содержанию кремнекислоты дуниты рассматриваемых массивов отличаются мало; содержание в них SiO<sub>2</sub> колеблется в пределах от 32.70 до 35.68% мол.

Содержание MgO варьирует от 56.17 до 60.53% мол., т. е. также не показывает существенных различий. Можно отметить лишь, что дуниты Хабарнинского массива менее магнезиальны (56.17%), чем дуниты других массивов. «FeO» в них содержится в количестве до 7.59% мол.

Весьма наглядно некоторое различие дунитов подчеркивает отношение  $\frac{\text{MgO}}{\text{«FeO»}}$ . Так, дуниты массивов Кемпирсайского (северной и юго-восточной частей), Халиловского и Кракинского соответственно имеют  $\frac{\text{MgO}}{\text{«FeO»}} = -10.0$ , 12.0, 10.90 и 12.09. Дуниты же Хабарнинского массива — 7.4; дуниты Нижне-Тагильского платиноносного массива имеют отношение  $\frac{\text{MgO}}{\text{«FeO»}}$ , равное 9.2.

### Гарцбургиты

Содержание  $SiO_2$  в рассматриваемых гарцбургитах варьирует от 35.47 до 37.72% мол., т. е. по кремнекислоте существенных колебаний не наблюдается.

Сопержание MgO в этих породах колеблется от 55.23 до 58.00 %; «FeO»

 $_{
m OT}$  5.20 до 8.15% мол. Отношение  $\frac{
m MgO}{
m «FeO}$  в гарцбургитах различных массивов таково: Кемпирсайский — 10.0—10.56; Халиловский — 10.86; Южно-Кракинский — 10.50; Хабарнинский — 9.37; Сарановский — рудоносные гарцбургиты — 6.8; гарцбургиты массива — 10.8. В Нижне-Тагильском массиве гарцбургиты неизвестны.

Таким образом, хабаривнские и сарановские (рудоносные) гарцбургиты отличаются несколько повышенной железистостью.

### Лерцолиты

Среди рассматриваемых массивов химически охарактеризованы только перцолиты массива Крака и лерцолиты Кемпирсайского массива.

Существенных различий по содержанию SiO<sub>2</sub>, MgO и FeO в этих породах не наблюдается. Можно отметить лишь, что кракинские лерцолиты несколько богаче содержанием СаО и А1,О3.

Верлиты и различные пироксениты химически охарактеризованы только в двух массивах. Верлиты в других рассматриваемых здесь массивах

Особенностью нижнетагильских верлитов и пироксенитов является несколько бо́льшая их железистость  $(\frac{\text{MgO}}{\text{«FeO»}} = 4.76 - 5.0)$  по сравнению с этими же породами Хабарнинского массива ( $\frac{\text{MgO}}{4\text{FeO}_{2}} = 5.5 - 7.7$ ).

Если проследить содержание главных окислов и пределы их колебаний в породах того или иного массива, а затем сравнить в этом отношении массивы между собой, то устанавливается следующее:

По содержанию кремнекислоты (SiO<sub>2</sub>).

Наиболее резкие колебания в содержании SiO<sub>2</sub> в породах наблюдаются в массивах: Нижне-Тагильском — 32.70—46.40; Хабарнинском — 35.58—46.87; Южно-Кракинском — 33.50—38.0 и южной части Кемпирсайского массива — 34.26—37.95. Менее заметные колебания в содержании этого окисла наблюдаются в породах: северной части Кемпирсайского массива — 33.57—36.35; Халиловского — 35.75—36.37 и Сарановского 35.47-37.72.

Эти данные указывают на различную степень дифференцированности пород в пределах каждого массива. Первая перечисленная выше группа массивов характеризуется более высокой степенью дифференцированности по сравнению со второй.

По содержанию магнезии (MgO).

Резкие колебания в содержании MgO в породах наблюдаются в массивах: Нижне-Тагильском — 25.0—60.0; Хабариинском 29.19—56.17; Южно-Кракинском — 52.67—60.5 и в южной части Кемпирсайского массива — 53.97—60.09. Менее заметные колебания наблюдаются в породах северной части Кемпирсайского массива — 56.85—59.50, Халиловского массива — 58.00—58.46 и Сарановского—55.48—56.43. По этому ведущему окислу также наглядно видно, что степень дифференцированности в первой группе массивов значительно выше, чем во второй группе.

По содержанию железа («FeO»).

Существенных колебаний в содержании «FeO» в породах различных массивов нет.

Можно отметить, что некоторым постоянством, а для отдельных пород повышенным содержанием «FeO» отличаются Хабаришнский, Нижие-Тагильский и Сарановский массивы.

Так, дуниты и верлиты Хабарнинского массива содержат 7.54% мол.; гарцбургиты — 5.89 и пироксениты — 3.76; дуниты Нижие-Тагильского массива —6.5, верлиты —5.33, пироксениты —5.25; рудоносные гарцбургиты Сарановского массива —8.45. Гарцбургиты, слагающие массив, — 5.20.

По содержанию окиси кальция (CaO) рассматриваемые массивы разделяются на две группы. В массивах первой группы ультраосновные породы представлены разностями, либо почти не содержащими CaO, либо содержащими ее в сравнительно малых количествах (максимум 2.11% в лерцолитах Крака).

В массивах второй группы среди ультрабазитов мы имеем, наоборот,

разности, богатые СаО (8.0, 19.0, 22.4% мол.).

К числу массивов первой группы относятся: Халиловский, Кемпирсайский, Сарановский и Кракинский.

К числу массивов второй группы относятся Хабарнинский и Нижне-Тагильский массивы.

По содержанию глинозема Al<sub>2</sub>O<sub>3</sub>.

В состав ультраосновных пород этот окисел входит в ограниченном количестве.

В породах рассматриваемых массивов содержание  ${\rm Al}_2{\rm O}_3$  находится в пределах от 0.12 до 1.46 % мол. На примере ряда массивов (Кемпирсайского, Кракинского, Нижне-Тагильского и Хабарнинского) устанавливается, что содержание  ${\rm Al}_2{\rm O}_3$  возрастает с повышением кислотности пород и в этом отношении ведет себя аналогично CaO.

По содержанию Ст<sub>2</sub>О<sub>3</sub>.

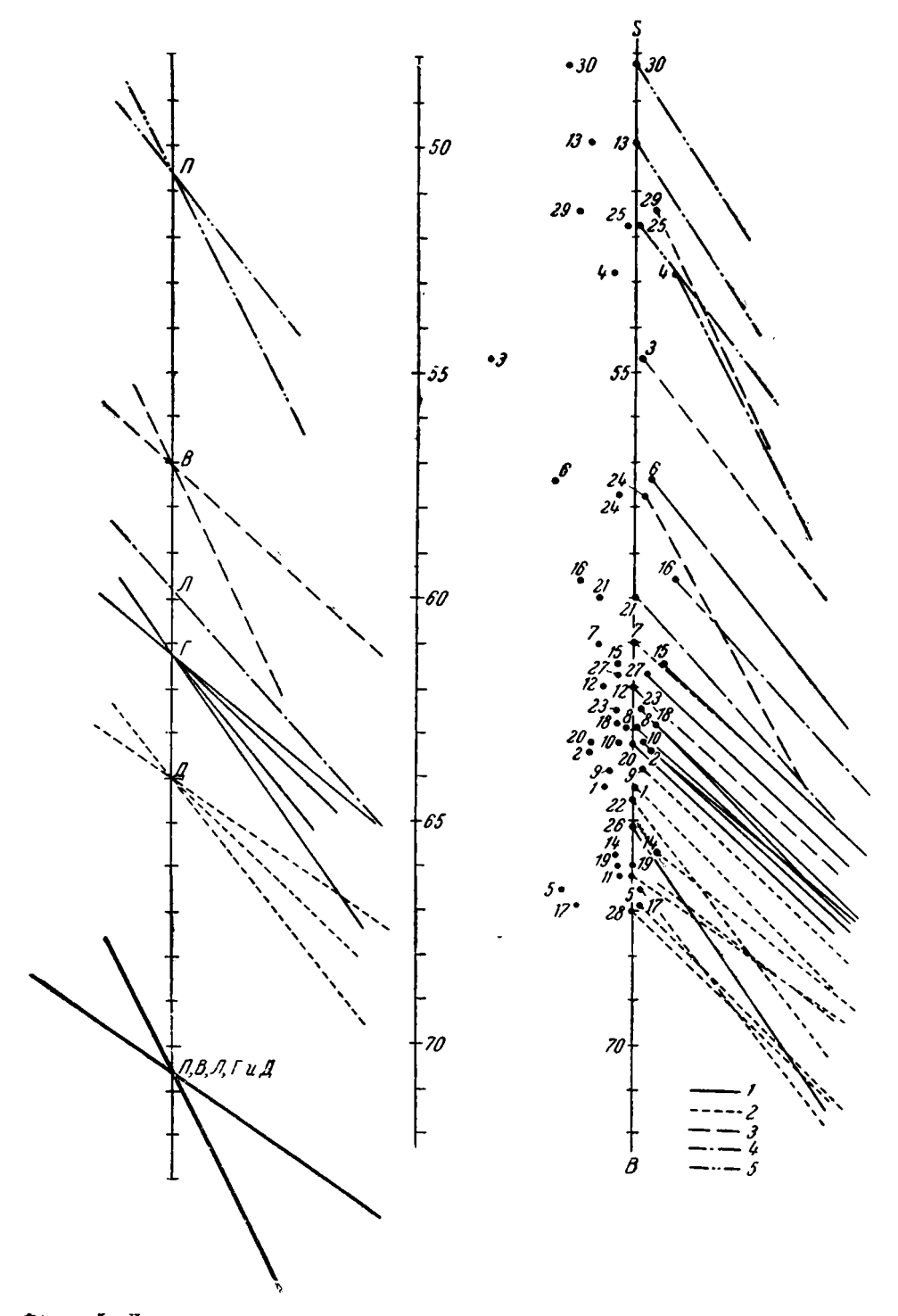
Содер жание Cr<sub>2</sub>O<sub>3</sub> варьирует от «следов» до 0.30 % мол.

По ряду массивов наглядно видно, что содержание  $\mathrm{Cr}_2\mathrm{O}_3$  понижается с повышением содержания  $\mathrm{SiO}_2$  в породах, т. е. противоположно тому, что отмечалось в отношении  $\mathrm{Al}_2\mathrm{O}_3$ . Это наглядно видно из отношения  $\frac{\mathrm{Al}_2\mathrm{O}_3}{\mathrm{Cr}_2\mathrm{O}_3}$ . Так, например, в массиве Крака это отношение для дунитов равно 3.8, для гарцбургитов — 4.1, для лерцолитов — 29.2. В Кемпирсайском массиве — в дунитах 1.7, в гарцбургитах 7.0, а в лерцолитах 16.0. То же можно заметить и по Хабарнинскому, Халиловскому и Нижне-Тагильскому массивам.

Таким образом, из разбора химического состава пород массивов, являющихся представителями всех шести типов, выделенных нами в петрографическом обзоре, вытекает следующее:

- а) Химический состав одноименных пород из различных массивов не совсем одинаков, и порода каждого массива характеризуется своими специфическими особенностями;
- б) содержание отдельных породообразующих окислов  $SiO_2$ ,  $MgO_3$ , «FeO», CaO,  $Al_2O_3$  и  $Cr_2O_3$  во всей серии пород каждого данного массива имеет свои пределы, чем характеризуется различная степень дифференцированности массива;
- в) если учесть количественные соотношения пород в каждом массиве хотя бы в первом приближении (как это сделано нами в табл. 4 и 6 путем подчеркивания жирным шрифтом пород, преобладающих в массиве), то можно различать две группы массивов с признаками некоторых общих черт валового химического состава.

Первая группа массивов характеризуется более высоким отношением  $\frac{\text{MgO}}{\text{«FeO»}}$  (10—12.0); сюда относятся Кемпирсайский и Халиловский массивы.



Фать 5: Диаграмма составов ультраосновных пород некоторых хромитоносных массивов Урада по методу академика А. Н. Заварицкого. Составил Н. В. Павлов. Левая дваграмма харантеризуст пределы вариаций составов отдельных разновидностей ультра-базитов. 1-гардбургаты; 2-дуниты; 3-верлиты; 4-лердолиты; 5-ппроксениты (дваллагиты, всбстерпты) 3.==

. 35

Вторая группа массивов отличается более низким отношением «FeO» (4.76—9.37). К этой группе относятся Хабарнинский и Нижне-Тагильский массивы.

Кракинский массив занимает промежуточное положение, однако, если учесть, что в нем преобладают лерцолиты ( $\frac{\text{MgO}}{\text{«FeO»}}$  — 9.2), то он ближе полходит ко второй группе.

Сарановский массив имеет также двойственное положение. Гарцбургиты, слагающие большую видимую часть массива, по отношению  $\frac{\text{MgO}}{\text{«FeO}}$  (10.85) дают основание относить его к первой группе. Однако по отношению  $\frac{\text{MgO}}{\text{«FeO}}$  (= 6.80) в рудоносных гарцбургитах, которые также развиты в значительном количестве, его можно отнести ко второй группе.

Кроме того, первая группа массивов характеризуется меньшим содержанием CaO и  $Al_2O_3$  (CaO — от следов до 2.11%;  $Al_2O_3$  от 0.24 до 0.81% мол.) по сравнению с содержанием этих окислов в массивах второй группы (CaO от следов до 22.45% мол.,  $Al_2O_3$  от 0.20 до 1.46% мол.).

Составленная нами диаграмма составов ультрабазитов по методу акад. А. Н. Заварицкого также наглядно иллюстрирует две группы массивов Урала по их магнезиальности и железистости (см. диаграмму фиг. 5). Для составления этой диаграммы использованы данные химических анализов ультрабазитов Урала, сведенные в табл. 4. В этой таблице приводятся также числовые характеристики пород, пересчитанные по А. Н. Заварицкому.

При составлении диаграммы, в целях большей ее наглядности, мы увеличили линейный масштаб параметра f' в 10 раз против остальных параметров. Благодаря этому более отчетливо наметились две группы составов пород по их железистости. Круто наклонные векторы характеризуют породы с более высокой магнезиальностью; полого наклонные — наоборот, с меньшей магнезиальностью и повышенной железистостью. Левая диаграмма фиг. 5, как результативная, дает представление о пределах колебаний составов по магнезиальности и железистости для отдельных разновидностей ультраосновных пород Урала ( $\partial$  — дуниты,  $\varepsilon$  — гарцбургиты,  $\varepsilon$  — верлиты,  $\kappa$  — лерцолиты и  $\kappa$  — пироксениты).

## IV. АКЦЕССОРНЫЕ ХРОМШПИНЕЛИДЫ И СРАВНЕНИЕ ИХ СТРУДООБРАЗУЮЩИМИ

## 1. Состав акцессорных хромшпинелидов

В этом разделе рассматривается химический состав акцессорных хромшпинелидов различных ультраосновных пород Урала.

Автору удалось собрать 22 полных химических анализа акцессорных хромшпинелидов. Около половины анализов (10) изготовлены из материала, добытого автором, 8 анализов заимствованы из материалов Хромитовой группы ИГН, из которых четыре еще не опубликованы и извлечены из материалов ст. научн. сотр. В. П. Логинова, любезно разрешившего использовать их в моей работе. Остальные четыре анализа заимствованы у проф. А. Г. Бетехтина из опубликованных работ («Минералогия Халиловских месторождений хромистого железняка», 1940, и «Платина», 1935).

Указанное число анализов характеризует акцессорные хромппинелиды следующих десяти массивов Урала: Кемпирсайского, Южно-Кракинского, Северо-Кракинского, Мамытского, Тагило-Невьянского, Алапаевского, Нижне-Тагильского, Успенского, Кутарстанского и Халиловского (см. табл. 7).

Примеси других мине-ралов Вычисленное число атомов данного элемента № анализа Окислы в алементарной ячейке R,03 Название массива: из каной  $\mathbf{R}\mathbf{0}$ 0'H+ O'H-Fe,0'3 породы хромшпинелид Cr,0, A1,0, MgO Mno Mg rio. Nio 0.7 Cr Al FeO Сумма SiO. Ž 1 Северный Крака гарцбур-0.5|2.899.16 Sp 1.0 6.2 9.3 1.0 0.25 0.85 | 0.06 | 32.53 | 32.31 | 3.15 | 13.78 | 15.23TMT . . . 0.99 4.8 10.3 0.3 2.3 5.7 Sp 0.40 98,60 1.30|0.04|39.75|29.99| 1.60|11.80|17.71 лерцолит плагиоклазовый Sp.Ol, |1.4| 4.3|10.8| 0.9|2.75|5.25 0.38 100.08 10.22 0.24 31.82 19.24 4.23 12.63 21.32 лерцолит Enst 0.97 12.7 0.5|3.6|4.42.8 99.96 1.06 0.210.23 8.4658.37 2.1216.2112.050.050.05 4 Южный Крака пунит 99.63 Ol,Sp. 1.06 12.0 3.9 0.14.0 4.0 3,42|0,20|11,37|54.08| 1,14|15,70|12,71|0,01|0,34|0,07|0,22| 0.41 100.37 Ol,Sp. 0.94 11.2  $|\mathbf{4.3}| |0.5|3.9$ 55 следы 0.20 13.82 54.32 2.00 18.92 11.01 0.05 гарцбур-0.5|2.7|5.3|0.97| 6.1 9.4 99.86010.64 - [34.10]32.86 1.99[13.94]16.33THT . . 1.02 3.1 12.4 0.5 1.6 6.4 100.88 0.00|0.01|49.66|18.30|3.91|8.35|20.16|**лерцолит** 9 Кемпирсайский дунитогарцбур-7.8 7.8 0.4 2.9 5. 1.0 98.94 11 нет |0.08|27.50|40.89| 1.99|14.55|13.93 гит. . . 10 гарцбур-100.60 Sp.Ol [1.08] 8.3 0.1|3.60.36 2.350.2023,5740.40 0.110.10 4,83 14.90 13,78 THT . . . 0.94 5.0 95.27 10.0 0.25 34.26 25.60 6.36 13.12 15.73 11 Мамытский 99.20 1.1 11,4 0.58 0.27 13.99 52.98 3.76 13.43 13.52 0.67 12 Халиловский дунит 99.86 Ol.Sp. 1.1 10.4 1.16 0.22 17.36 48.18 5.41 13.22 13.02 1.29 **г**арцбург**и**т Sp 1.0 10.5 100.05 0.58 11.69 49.58 25.93 0.77 14 Нижне-Тагильский дунит : 4.48 1.23 3.75 28.01 30.57 18.06 10.80 0.37(?)97.94 1.04 48 0.67 верлит. 99.04 Ol,Sp. 1.1 0.522.75 1.91 11.08 47.70 10.94 10.32 13.82 102 16 Тагило-Невьянский дунит. Ol,Sp. 0.99 8.0 0.07 0.60 6.06 0.14 19.09 34.68 4.97 15.69 17.86 0.98 10.5 98.95 100 5.59 0.14 12.16 44.11 3.89 16.28 14.46 2.09 Sp 18 1.04.0 4.6 99.44 Ol,Sp. 1.1 11.3 3.7 0.22 1.98 5.88 2.08 10.20 46.08 5.31 12.22 15.47 101 99.82 Ol,Sp. 1.0 | 8.3 7.1 0.6 3.0 | 5.0 0.95 3.09 0.34 22.83 39.47 2.86 14.08 16.27 142 20 Алапаевский верлит. 21 Кутарстанский метасома-Sp, тич. диал-99.41 хлорит 1.0 12.8 3.0 0.24.6 3.4 37 2.75 0.10 10.29 55.41 1.48 18.54 10.41 136 лагит . . [1.04|13.0|2.8|0.2|5.4|2.6Sp. » . |139 5.25[0.12] 7.58[51.90] 1.11[20.36[10.51] 1.17 98.00 22 Успенский

Восемь анализов относятся к акцессорным хромшпинелидам дунитов; 8 анализов — гардбургитов, 3 анализа характеризуют акцессорные хромшпинелиды лерцолитов; 1 анализ — верлитов и 2 анализа — диаллагитов. Анализы пересчитаны нами на атомный состав (см. стр. 9) и сведены на диаграмму фиг. 6.

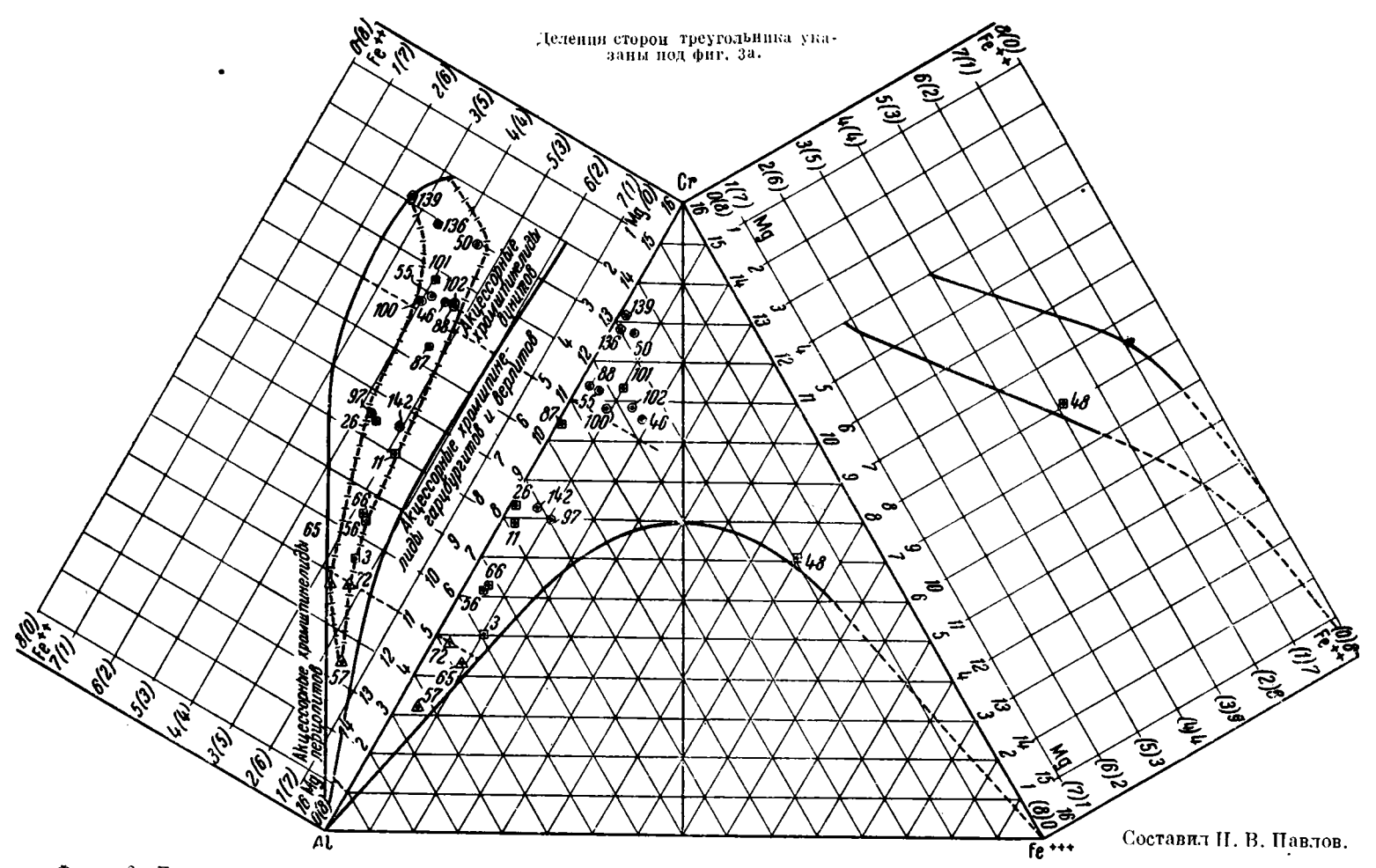
Как показывает эта диаграмма, фигуративные точки составов акцессорных хромшиниелилов из дунитов располагаются ближе к Ст-вершине треугольника. Хромппинелиды из гарцбургитов и верлитов занимают среднее положение между Ст- и Аl-вершинами треугольника. Фигуративные точки для хромшпинелидов из наиболее кислых перидотитов лерцолитов занимают положение на диаграмме в поле, тяготеющем к АІ-вершине треугольника. Иными словами, состав акцессорных хромшпинелидов находится в прямой зависимости от кислотности ультраосновных пород. Хромшпинелиды из дунитов содержат максимальное количество Ст и относительно бедны АІ. Более кислые представители ультрабазитов — гарцбургиты и верлиты — имеют акцессорные хромшпинелиды, значительно беднее Cr и богаче Al и, наконец, «кислые» представители ультрабазитов — лерцолиты — содержат хромшпинелиды, богатые А1 и бедные Ст. Что же касается Fe+++, то оно у всех представителей хромшпинелидов, за исключением хромшпинелидов из пород платиноносного Нижне-Тагильского массива, содержится в ограниченном количестве, не более одного атома из 16 возможных. Для акцессорных хромшпинелидов Нижне-Тагильского массива, так же как и для хромшпинелидов из рудных шлиров, характерно высокое содержание как Fe+++, так и Fe++. Эта особенность, между прочим, резко отличает их от хромшпинелидов неплатиноносных массивов.

На диаграмме фиг. 6 нанесены данные двух анализов акцессорных хромшпинелидов из так называемых шлировых обособлений диаллагитов Кутарстанского и Успенского массивов. Фигуративные точки анализов этих хромшпинелидов на диаграмме попали в поле точек, характерных для акцессорных хромшпинелидов из дунитов. Это находится в резком несоответствии с выводом, сделанным выше о том, что более кислые развовидности ультрабазитов содержат хромшпинелиды, бедные Сг и богатые Al. Однако полевые наблюдения и микроскопическое изучение этих пород показывает, что такие мелкие шлировые обособления оливиновых диаллагитов, по всей видимости, образовались путем метасоматического замещения диаллагом первоначально оливиновой (дунитовой) породы. В шлифе под микроскопом видно, что мелкие (0.5—1.5 мм) зерна хромшпинелида и оливина включены, или как бы захвачены, крупными зернами диаллага, размер которых обычно достигает 10—25 мм.

К сожалению, мы не располагаем анализами акцессорных хромшпинелидов из пироксенитов нормального дифференциационного ряда ультрабазитов и в св язи с этим не можем судить о составе акцессорного хромшпинелида в них. Однако микроскопическое изучение значительного количества шлифов различных пироксенитов однозначно показывает, что шпинелиды в пироксенитах содержат пониженное количество хрома. Это устанавливается по окраске шпинелида. Так, хромшпинелид, выделенный и проанализированный из плагиолерцолитов Крака, в нормальном шлифе имеет красно-

	Пояснение к	фиг. 6 (см. стр. 39).	•
№ анализов	Массивы	^ № анализов	Массивы
57, 56, 55, 50	Южн. Кракинский	46, 48	Н-Тагильский
65, 66, 72	Сев. Кранинский	•	(платиноносный)
11	Южн. часть Кемпирсай-	87, 88	Халиловский
	ского	136	Кутарстанский
26	Сев. » »	139	Успенский
3	Мамытский	142	Алапаевский
97. 100. 101. 102	Тагило∗Невьянский		

Акцессорные хромшпинелиды: ⊙ — из дунитов; ⊡ — из гарцбургитов; △— из лерцолитов; ⊙ — из диаллагитов, ⊙ — яз верлитов, — — контурные линии пределов изоморфизма в хроминии пелидах по двух- и трехвалентным элементам; + —контурная линии поля изоморфизма по двух- и трехвалентным элементам в акцессорных хроминиинелидах.



, Фиг. 6. Днаграмма составов акцессорных хромшпинелидов из дунитов, гарцбургитов, верлитов, лерцолитов и диаллагитов.

вато-розовую окраску; содержание  $\text{Cr}_2\text{O}_3 = 18.0 \,\%$  вес. Для пироксенитов того же массива характерна очень сходная по окраске светлобуро-розовая шпинель, и можно предполагать, что содержание Cr в ней еще меньше. Для вебстеритов дайковых тел того же массива характерен герценит и т. д.

Рассматривая диаграмму составов акцессорных хромшпинелидов в части двухвалентных металлов магния и железа (см. левую прямоугольную часть диаграммы фиг. 6), можно видеть, что хромшпинелидам из различных пород свойственны свои специфические соотношения Mg и Fe<sup>++</sup>. Так, для хромшпинелидов из дунитов отношение числа атомов Mg к числу атомов Fe<sup>++</sup> колеблется в пределах от 0.1 до 1.5. Для хромшпинелидов из гарцбургитов это отношение колеблется от 1.2 до 2.2. Для хромшпинелидов из лерцолитов соответственно от 2.1 до 4.0.

Из этих данных видно, что наибольшим содержанием Mg и наименьшим Fe<sup>++</sup> отличаются хромшпинелиды из лерцолитов; эти хромшпинелиды бедны хромом и богаты алюминием. Среднее положение занимают хромшпинелиды из гарцбургитов и верлитов и, наконец, хромшпинелиды из дунитов характеризуются наименьшим содержанием Mg, в то же время и в этих хромшпинелидах резко повышается содержание Fe<sup>++</sup>. Такие хромшпинелиды имеют высокое содержание Cr и обычно бедны Al. Из рассмотрения диаграммы видно также, что фигуративные точки, характеризующие состав акцессорных хромшпинелидов, по содержанию Mg и Fe<sup>++</sup> располагаются во внутренней (осевой) части устанавливаемого нами поля содержаний Mg и Fe<sup>++</sup> в группе природных хромшпинелидов.

Пределы изоморфизма акцессорных хромшпинелидов по Mg и Fe<sup>++</sup> значительно уже установленных для группы хромшпинелидов в целом.

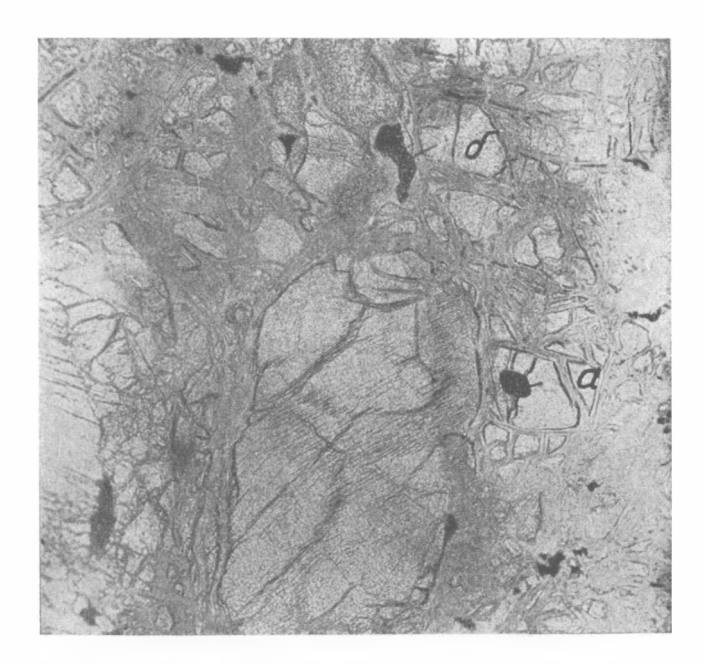
Таким образом, рассмотрение составов акцессорных хромшпинелидов из различных ультраосновных пород, хотя еще и по далеко недостаточному числу анализов (22 анализа), показывает, что для каждой породы характерны хромшпинелиды своего специфического состава по содержанию как двух-, так и трехвалентных металлов. Четко намечается ряд хромшпинелидов, находящийся в определенной зависимости от кислотности пород.

# 2. Структурные взаимоотношения акцессорных хромшпинелидов с первичными силикатами ультраосновных пород

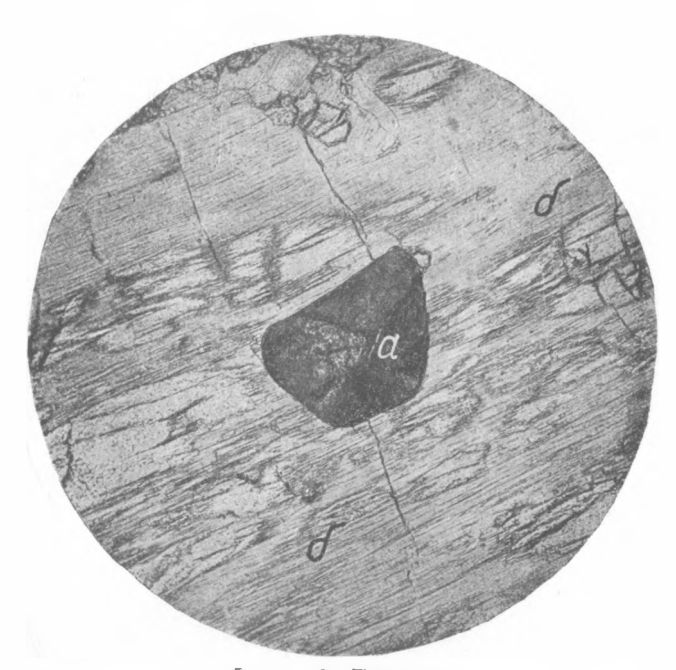
Для нашей темы весьма важно проследить формы и относительное время выделения акцессорных хромшпинелидов в ультраосновных породах различного состава. Установление этапов выделения акцессорных хромшпинелидов при кристаллизации той или иной породы позволит создать представление о химическом составе расплавов в момент выделения главной массы этих минералов. Знание состава акцессорных хромшпинелидов из пород различного состава и главных этапов их выделения в породах позволит глубже разобраться в геохимическом поведении элементов при формировании рудных хромитовых месторождений и связи их состава с материнскими породами. Наши микроскопические наблюдения по материалам массивов Крака (Южный, Средний, Узянский), Кемпирсайского, Верх-Нейвинского и ряда других, а также данные других авторов (Бетехтин, 1937; Соколов, 1948; Логинов и др., 1940) позволяют следующим образом охарактеризовать структурные взаимоотношения акцессорных хромшпинелидов с первичными силикатами ультраосновных пород.

В лерцолитах резко преобладают вполне ксеноморфные зерна акцессорных хромшпинелидов. Обычный размер их от долей миллиметра до 1.5—2.0 мм.

Выделения хромшпинелидов располагаются в интерстициях оливиновых и пироксеновых зерен. Оливин также не имеет идиоморфных очертаний и с хромшпинелидом находится в аллотриоморфных отно шениях.

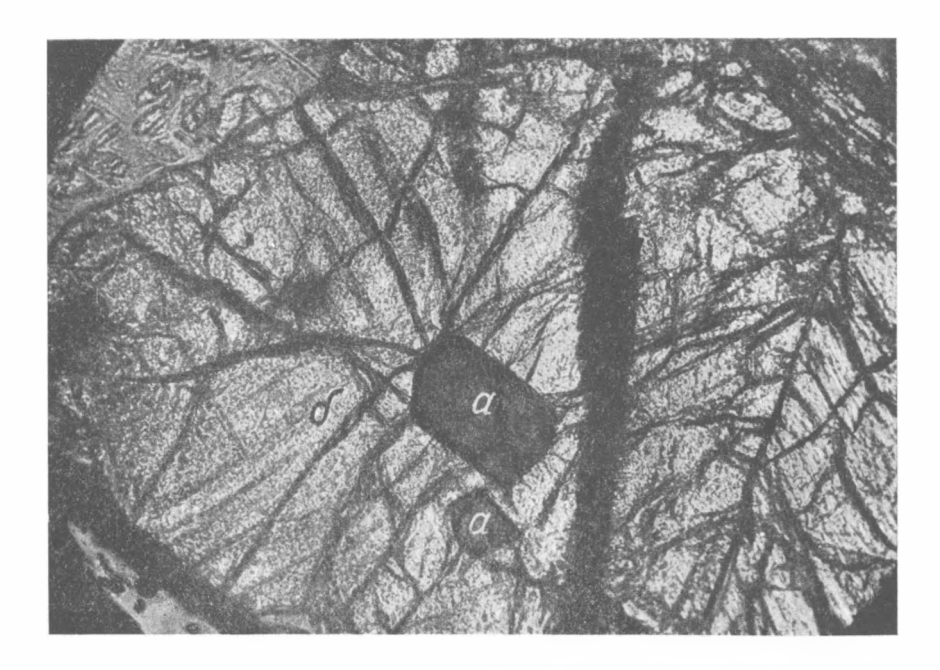


Фиг. 7. Плагиоклазовый лерцолит.
Одновременное присутствие идиоморфного (а) и ксеноморфного (б) по отношению к оливину зерен хромшцинелидов.
Увеличение × 45, при одном николе. Образец 339. Массив Северный Крана.

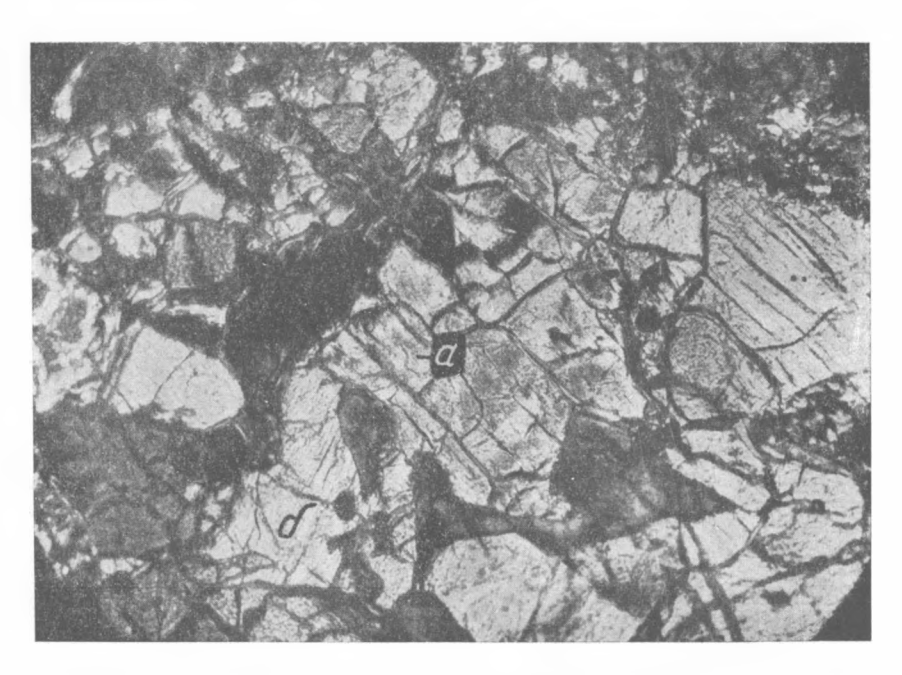


Фиг. 8. Лерцолит.

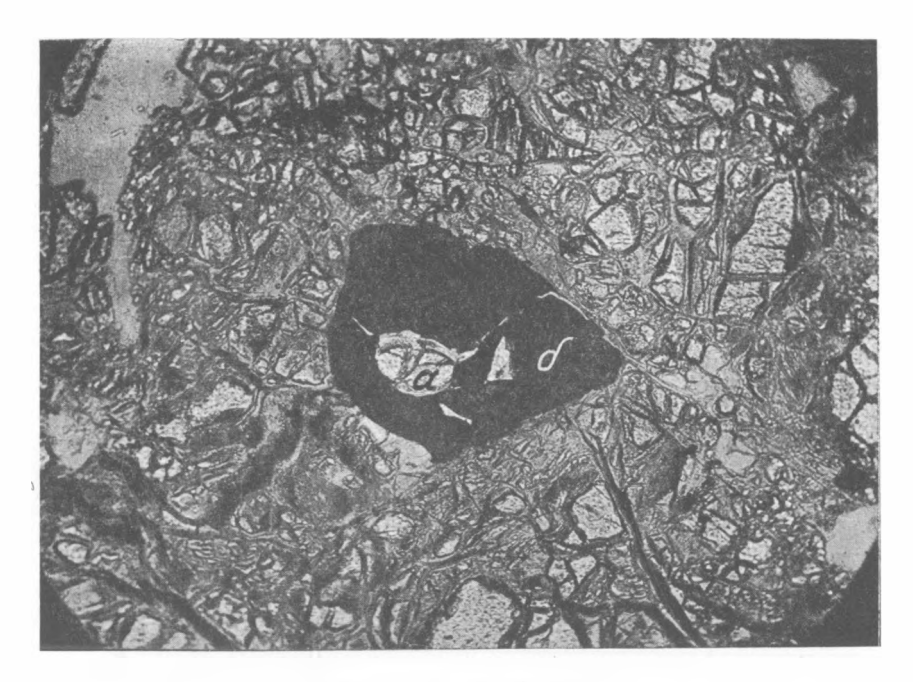
Включение кристалла хромшпинелида в ромбический пироксен. 
а—хромшпинелид; 6—баститивированный ромбический пироксен. 
роксен. 
Увеличение × 60, при одном николе. Образец 179. Массив Южный Крана.



Фиг. 9. Лердолит. Включение хромшпинелида (а) в моноклинный пироксен (б). Увеличение  $\times$  55, при одном николе. Образец 69/37. Массив Южный Крака.



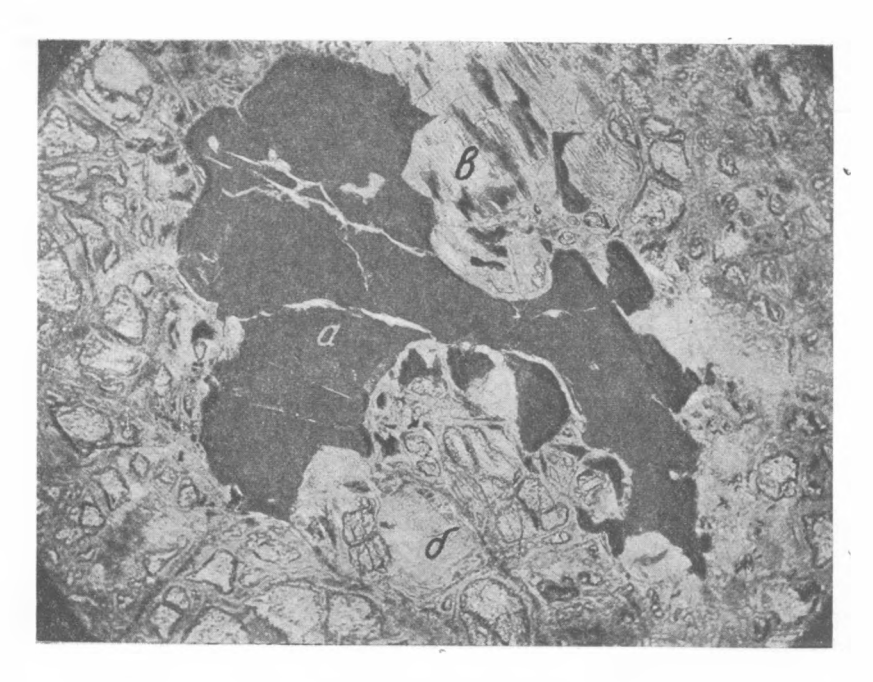
 $\Phi$  и г. 10. Лердолит. Включение хромшпинелида (a) в моноклинный пироксен (б). Увеличение  $\times$  45, николи скрещены. Образец 363. Кемпирсайский массив.



 $\Phi$  и г. 11. Гарцбургит. Вилючение оливина (a) в хромшпинелиц (б). Увеличение  $\times$  45, при одном николе. Образец 209/36. Массив Южный Крана.

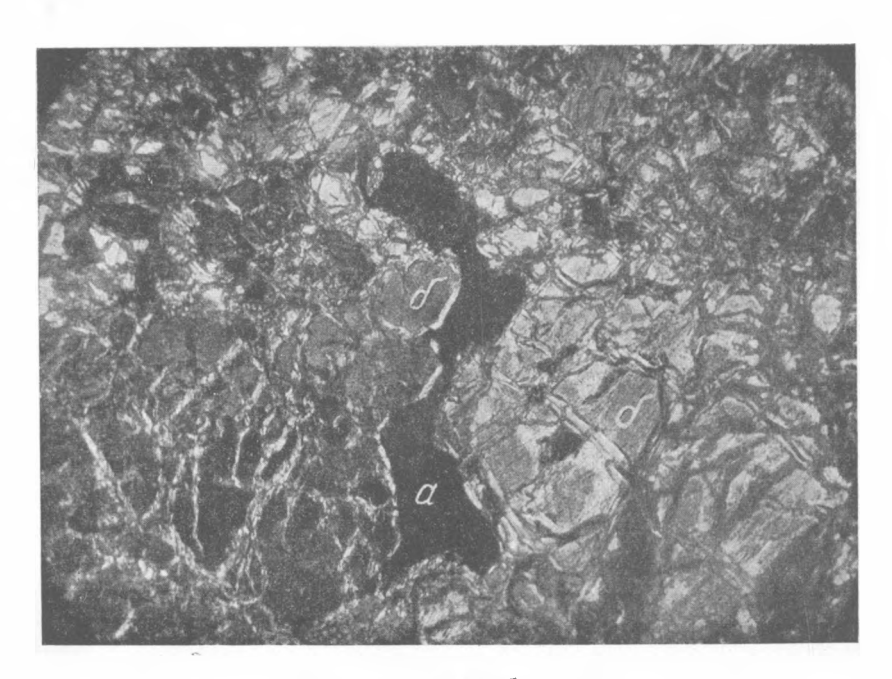


 $\Phi$  и г. 12. Гарцбургит. Ксеноморфное зерно хромшпинелида (а) по отношению к зерну оливина (б). Уваличение  $\times$  45, при одном николе. Образец 292. Кемпирсайский массив.



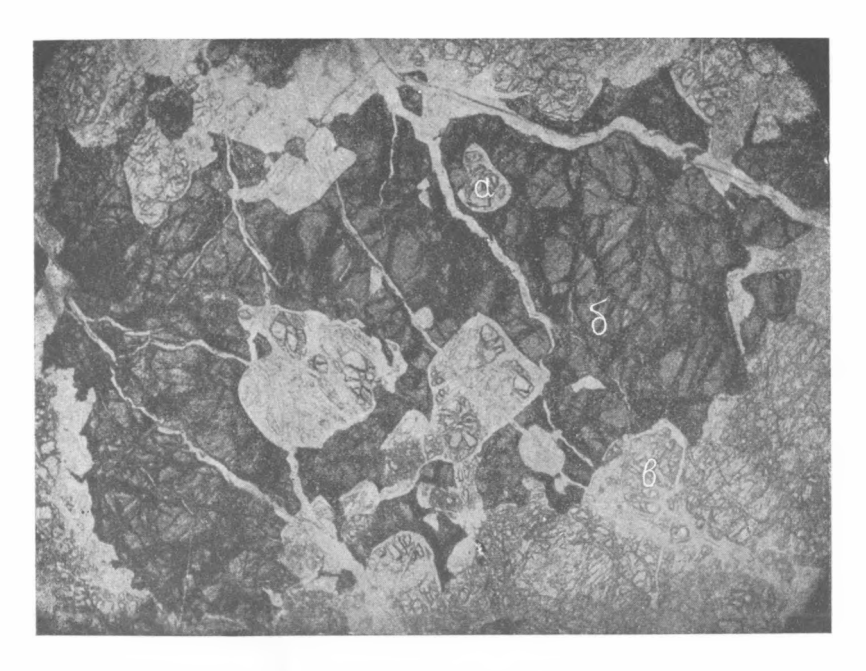
Фиг. 13. Лерцолит.

Ксеноморфное отношение хромшпинелида к оливину и ромбическому пироксену. a — хромшпинелид; b — серпентинизированный оливин; b — баститизированный ромбический пироксен. Увеличение  $\times 60$ , при одном николе. Образец 172. Массив Южного Крака.



Фиг. 14. Гарцбургит.

Хромшпинелид выполняет междуверновое пространство среди кристаллов оливива. a — хромшпинелид; b — оливив. Увеличение a — киколи скрещены. Образец 295. Кемпирсайский массив.

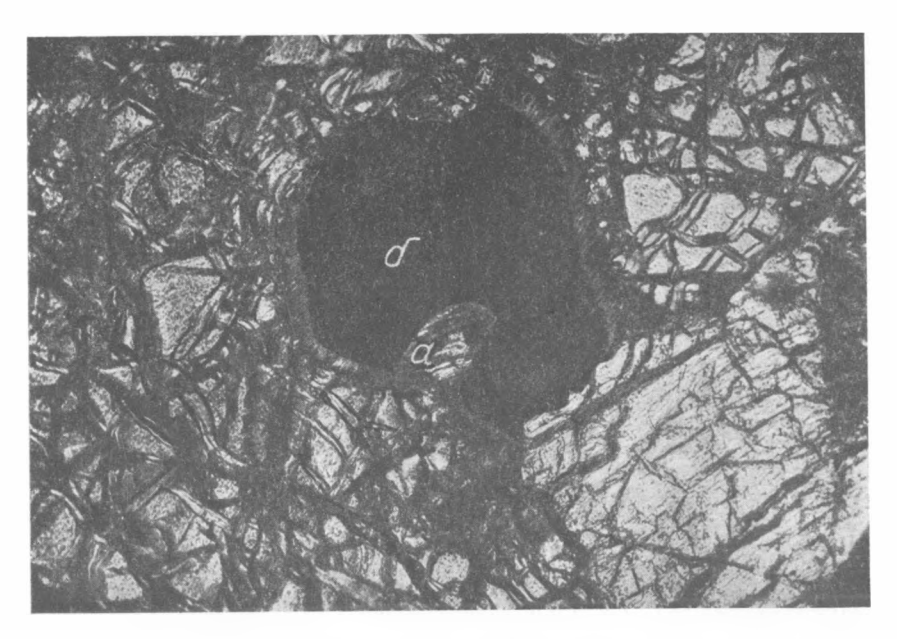


Фиг. 15. Лерцолит.

Ксеноморфное отношение хромшпинелида к оливину и моноклинному пироксену. а— оливин; б— хромппинелиц; в— моноклинный пироксен. Увеличение ×45; при одном николе. Образец 315/36. Массив Южного Крака.



Фиг. 16. Лерполит. Включение верна оливина в хромшпинелид и охват хромшнинелидом части периметра верна моноклинного пироксена. a — оливин; b — хромшпинелид; b — моноклинный пироксен. Увеличение  $\mathbf{X}_{45}$ ; при одном николе. Образец 196. Массив Южного Крака.



Фиг. 17. Лерцолит.

Мелкое зерно моноклинного пироксена захвачено кристаллом хромшпинелида.  $\alpha$  — моноклинный пироксен;  $\delta$  — хромпицинелид. Увеличение  $\times$ 28; николи скрещены. Образец 67/37. Массив Южного Крака.



Фиг. 18. Лерцолит.

Ксеноморфное отношение хромшпинелида к оливину. a—хромщпинелид; b— оливин. Увеличение  $\times 28$ ; при одном николе. Образец 67/37. Массив Южного Крака.

Иногда встречаются включения идиоморфных зерен хромшпинелидов в ромбическом пироксене и редко можно встретить мелкие идиоморфные зерна хромшпинелидов, включенные в моноклинный пироксен.

Зарегистрированы единичные находки включений идиоморфного хромшпинелида в оливине, а также охват части периметра зерна ромбического

пироксена хромшпинелидом.

В гарцбургитах отношения акцессорных хромшпинелидов с первичными породообразующими минералами весьма близки к только что охарактеризованным для лерцолитов. Акцессорный хромшпинелид также совершенно неправильных очертаний, размер зерен варьирует от долей мм до 1.5—2.0 мм. В этих породах несколько резче проявляется частичный идиоморфизм хромшпинелидов по отношению к ромбическому пироксену. Часто характерны взаимные прорастания хромшпинелидов и ромбического пироксена.

В этих породах также зарегистрированы случаи включений идиоморфных зерен хромшпинелида в ромбический пироксен.

Акцессорные хромшпинелиды в верлитах представлены двумя морфологически различными типами зерен: мелкие, от долей миллиметра до 0.5 мм, идиоморфные зерна, обычно включенные в зерна оливина, эллиптической формы, и хромшпинелиды неправильных очертаний, располагающиеся на стыках («швах») зерен оливина и моноклинного пироксена. Размертаких зерен варьирует от долей миллиметра до 1.2 мм в поперечнике. Количественно этот тип зерен преобладает над первым. Включений акцессорного хромшпинелида в моноклинный пироксен не зарегистрировано.

В дунитах акцессорные хромшпинелиды обычно имеют субидиоморфные зерна и располагаются между зернами оливина. Размер их обычно

от долей миллиметра до 1.2 мм, реже до 3 мм.

Оливин также представлен субидиоморфными зернами. Включения идиоморфных зерен хромшпинелида в зерна оливина редки. Охват части периметра зерна оливина зерном хромшпинелида, как это иногда имеет место в лерцолитах и верлитах, в этих породах не был констатирован.

Таким образом, из нашего беглого обзора микроструктурных отношений акцессорного хромшпинелида с первичными породообразующими минералами следует, что в относительно более кислых ультрабазитах — перцолитах и верлитах — преимущественное выпадение акцессорных хромшпинелидов относится к концу этапа кристаллизации пироксенов, т. е. к поздним этапам кристаллизации лерцолитов. Необходимо здесь же указать, что, как свидетельствуют находки включений идиоморфных зерен хромшпинелида в оливине, ромбическом и моноклинном пироксенах, выделение хромшпинелидов началось на сравнительно ранней стадии, однако главная масса хромпшинелидов образовалась именно позднее кристаллизации ромбического и моноклинного пироксена. В гарцбургитах этап выделения хромшпинелидов несколько расширяется, захватывая собой и первую половину кристаллизации ромбического пироксена.

В дунитах максимальное выделение акцессорных хромшпинелидов отвечает второй половине периода кристаллизации дунитового расплава.

Приводимая здесь серия снимков микрофото (фиг. 7—18) характеризует указанные отношения акцессорных хромшпинелидов с породообразующими минералами ультрабазитов.

## 3. Сопоставление химических составов акцессорных и рудообразующих хромппинелидов некоторых месторождений Урала

Для поставленной перед нами задачи — нахождения зависимости состава хромитовых руд от состава материнских пород — весьма важно проследить, имеются ли различия в составах акцессорных хромппинели-

дов из пород, непосредственно вмещающих рудные тела, и рудообразующих хромшийнелидов самих рудных тел, заключенных в эти породы.

Для этой цели, наряду с просмотром значительного количества прозрачных шлифов из вмещающих пород и из рудных тел и изучением просвечиваемости и окраски хромшпинелидов, нами сделаны соответствующие полные химические анализы хромшпинелидов. В нашем распоряжении также были еще неопубликованные полные химические анализы из материалов ст. научн. сотр. В. П. Логинова по Тагило-Невьянскому массиву (Кутузовское месторождение). любезно предоставившего их для использования в настоящей работе. Кроме того, мы извлекли аналитический материал по этому вопросу из опубликованных работ А. Г. Бетехтина, Г. А. Соколова, С. А. Кашина, В. П. Логинова и Н. В. Павлова.

Всего мы располагаем шестнадцатью химическими анализами сопряженных рудообразующих и акцессорных хромшпинелидов по восьми месторождениям, относящимся к шести массивам Урала.

Данные химических анализов акцессорных и рудообразующих хромшпинелидов, сведенные в табл. 8, рассчитаны нами (см. способ пересчета на стр. 9) и нанесены на диаграмму фиг. 19. Как видно из диаграммы, составы акцессорных хромшпинелидов из вмещающих пород каждого месторождения существенно отличаются от составов хромппинелидов из рудных тел соответствующего месторождения.

Рассмотрим, в чем выражаются эти различия.

Положения фигуративных точек на диаграмме составов по трехвалентным элементам—Сг, Al, Fe++ показывают, что акцессорные хромшпинелиды, как правило, беднее Сги богаче Al, чем хромппинелиды из рудных тел. Оставляя в стороне рассмотрение содержания трехвалентного железа вследствие ограниченного количества его в составе как тех, так и других хромппинелидов (до 1 атома из 16 возможных), обратимся к разбору содержания в них хрома и алюминия. Так, в элементарной ячейке акцессорного хромшпинелида из вмещающих дунитов Кутузовского месторождения хрома содержится эколо 8.0 атомов, а алюминия — 8 атомов. В ячейке же рудообразующего хромшпинелида из рудного тела этого месторождения содержание хрома равно 10.1 атома, а алюминия — 5.5 атома.

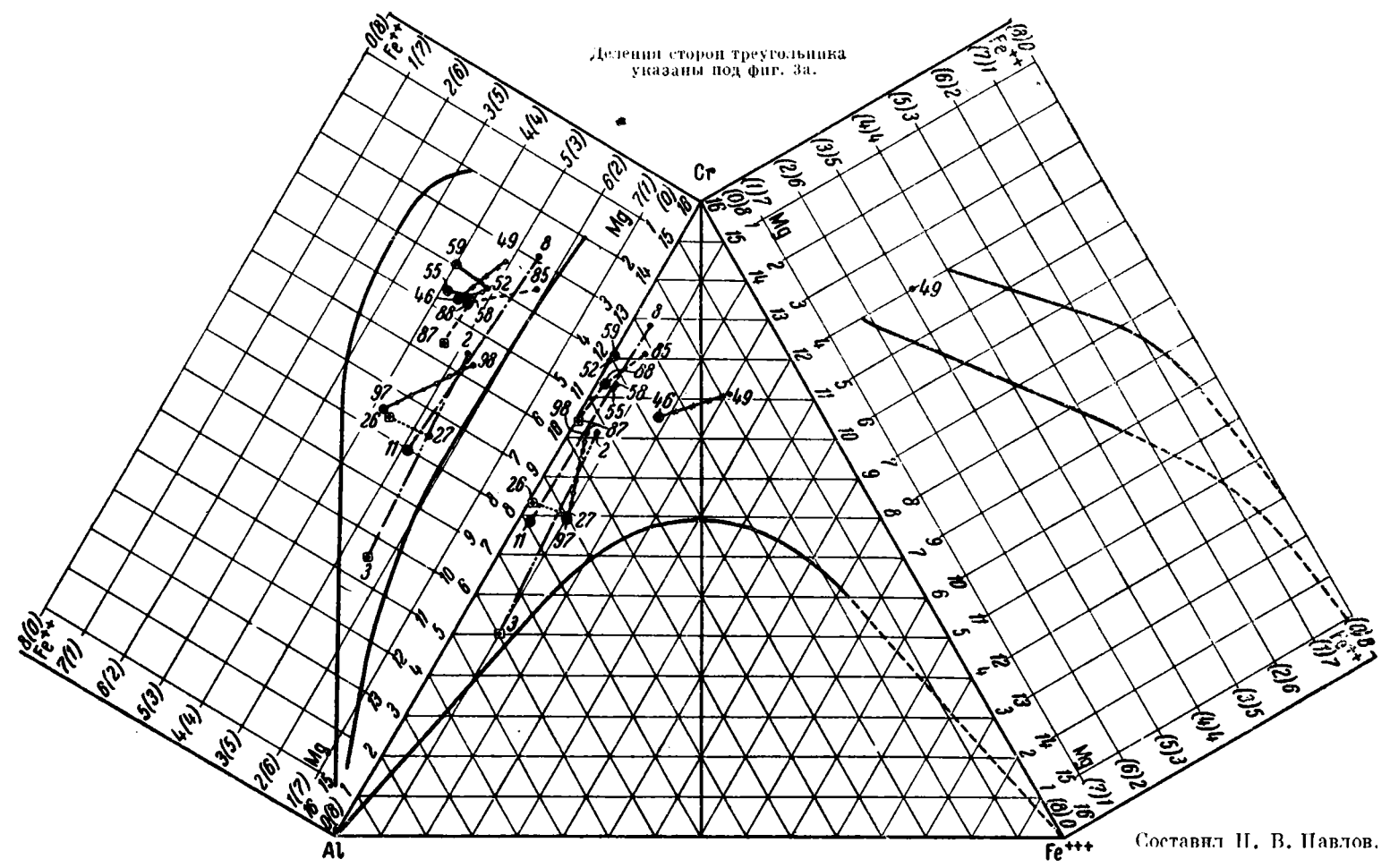
В месторождении «Спорное» Донской группы Кемпирсайского массива в составе элементарной ячейки акцессорного хромшпинелида из вмещающих дунитов хрома содержится 8.0 атомов, а алюминия — 7.8 атома, тогда как в ячейке рудообразующего хромшпинелида содержание хрома равно 12.8 атома и алюминин 2.8 атома.

В месторождении № 79 Халиловского массива элементарная ячейка акцессорного хромшпинелида из вмещающих дунитов содержит Сг—11.3 атома, Al—4.5 атома, в то время как в ячейке рудообразующего хромшпинелида этого месторождения содержание Сг—12.1 атома, а Al—3.1 атома. Те же особенности мы видим и для месторождений «Александровский лог» (Нижне-Тагильский массив), «Новое» (Мамытский массив) и им. Муромцева (массив Южный Крака).

Для месторождения № 7 Северной группы Кемпирсайского массива резкого различия в составах акцессорного и рудообразующего хромшпинелидов по содержанию хрома и алюминия не наблюдается.

Пояснение к фиг. 19 (см. стр. 43).

Месторождения: — В. Башарт (Ю. Крака); — им. Муромпева (Ю. Крака); — № 79 (Халиловский); — «Спорное» (Кемпиреайский); — № 7 (Кемпиреайский); — № 7 (Кемпиреайский); — «Новое» (Мамытский); — о — Кутузовское (Татило-Невьянский); — Х — Х — Александровское (И.-Тагильский); — рудообразующие хромпиниелиды; О — акцессорные хромпиниелиды из гарцбургитов; — контурные линии пределов изоморфияма в хромпиниелидах по двух- и трехвалентным элементам.



Ф п г. 19. Сравнительная диаграмма составов акцессорных п рудообразующих хромшпинелидов из некоторых месторождений Урала.

Таблица 8 Сравнение химических составов акцессорного и рудообразующего хромшиннелидов из некоторых месторождений Урала

ï	Название массива и месторождения	Харантер хромшппне•	анализа		· · · · · · · · · · · · · · · · · · ·				других	R <sub>2</sub> O <sub>3</sub>	Вычисленное число атомов каждого эле- мента в элементарной ячейке												
, , ,		лида	Ne ana	SiO <sub>3</sub>	TiO,	Al <sub>2</sub> O <sub>8</sub>	Cr <sub>a</sub> O <sub>a</sub>	Fe <sub>s</sub> O <sub>s</sub>	<b>F</b> eO	MgO	NiO	Mno	V,0.	O•H	+H•0	Сумма	минералов	RO	Cr	Al	Fe+++	Fe++	Mg
1	Южный Крака «Большей Ба- шарт»	рудообразу-	<u> </u>		1		i		į			l i		0.40		99.96 99.99	Sp Sp актинол.	0.97			1	1	
2	Южный Крака им. Муром- цева	рудообразу-	, ,	следы	0.20	13.82	54.32	2.00	18.92	11.01	_	0.05	_	-	_	100.37		0.94	11.2	4.:		3.9	4.1
3	Кемпирсайский «Спорное»	акцессорный рудообразу- ющий		 1.11.	İ		!	1.99 1.47				- 0.19	- 0.06	0.16	0.08	98.94 99.07	l -	1.0 1.0		-	8 0.4 7 0.5		1
4	Кемпирсайский месторожде- ние № 7	рудообразу-	1	2.35 1.75	1		İ	4.83 3.90					0.11 0.13	1		100.61 99.42	-	1.08 0.94					
5		акцессорный рудообразу- ющий	3		0.25	34.26	25.60	6.36	13.12	15.73	_		-	-	_	95.27 100.09	Sp	0.95 1.01				-	1
6	Халиловский месторожде- ние № 79	акцессорный рудообразу- ющий		0.58					l .	1		-	_		0.67 —	99.20 99.78	Sp	1.10 1.08					1
7	Нижне-Тагиль- ский «Але- ксандровский лог»	акцессорный рудообразу-	46		-	11.69	49.58	25.93 21.42	_	11.50	-	0.77		- 0.14		100.05 99.03	Sp	1.0 1.1	10.5	3.7	1.8	3.6	4.4
8	Тагило Невь- янский «Ку- туголсксе»	акце <b>сс</b> орный рудообразу- ющий	1 1	6.06 1.36								_	<b>-</b> :	0.07		99.16	Ol, Sp Ol, Sp		l		1 1		1

Что же касается очень близкого состава акцессорного и рудообразующего хромшпинелидов Башартского месторождения (массив Южный Крака), то это, как показало микроскопическое изучение, объясняется тем, что дунит, из которого были извлечены хромшпинелиды для анализа, принадлежит не собственно вмещающим разностям дунито-гарцбургитового комплекса, а является составной частью рудного тела месторожнения и в действительности содержит вкрапленность хромшпинелидов до 10% против обычной акцессорной вкрапленности 1—2%.

Вторая особенность, легко устанавливаемая из рассмотрения диаграммы, сводится к следующему.

Фигуративные точки на диаграмме составов по Fe++ и Mg (см. левую часть диаграммы) для акцессорных хромшпинелидов из вмещающих пород располагаются выше фигуративных точек рудообразующих хромшпинелидов соответствующего месторождения. Это показывает, что акцессорные хромшпинелиды вмещающих пород содержат больше двухвалентного железа (и меньше Mg), чем рудообразующие хромшпинелиды соответствующих рудных тел. Так, например, содержание Fe++ в элементарной ячейке хромшпинелида из дунитов Халиловского месторождения № 79 равно 3.35 атома (Mg — 4.65 атома), тогда как в элементарной ячейке рудообразующего хромшпинелида из того же месторождения железо содержится только в количестве 2.1 атома (Mg 5.9 атома).

Для месторождения № 7 Северной группы Кемпирсайского массива характерны также соотношения двухвалентного железа и магния. Элементарная ячейка хромшпинелида из дунито-гарцбургитового полосчатого комплекса содержит Fe++—3.7 атома, Mg — 4.3 атома, элементарная ячейка рудообразующего хромшпинелида Fe++ — 2.7 атома, Mg — 5.3 атома.

В месторо ждении Большой Башарт массива Южный Крака акцессорный хромшпинелид из дунитов этого месторождения содержит Fe<sup>++</sup> — 4.0 атома и Mg — 4.0 атома, тогда как рудообразующий хромшпинелид содержит Fe<sup>++</sup> только 3.1 атома, а Mg около 5 атомов. То же можно видеть на диаграмме и для хромшпинелидов из месторождений «Спорное» (Донская группа Кемпирсайского массива), им. Муромцева (массив Ю. Крака), «Александровский лог» (Нижне-Тагильский массив) и др.

Таким образом, резюмируя сказанное, можно сделать следующий вывод: акцессорные хромшпинелиды из непосредственно вмещающих пород и рудообразующие хромшпинелиды различаются по составу. Это различие заключается в том, что рудообразующие уромшпинелиды в сравнении с акцессорными хромшинелидами из непосредственно вмещающих пород содержат больше Сг и Мд и меньше А1 и Fe++. По содержанию трехвалентного железа, вследствие сравнительно малого количества его как в тех, так и в других хромшпинелидах, каких-либо существенных различий установить не удается. В тех случаях, когда имеется повышенное количество трехвалентного железа (примером чего являются хромшпинелиды Нижне-Тагильского платиноносного массива), совершенно четко наблюдается повышенное содержание Fe+++ в рудообразующих хромшпинелидах в сравнении с акцессорными хромшпинелидами (см. диаграмму фиг. 19). Некоторые тенденции к повышению Fe+++ в рудообразующих хромшинелидах по сравнению с акцессорными хромшинелидами наблюдаются также по месторождениям № 79 Халиловского № 7 Кемпирсайского массива, «Спорное» Донской группы.

Изучение просвечиваемости и окраски акцессорных хромшпинелидов в проходящем свете и шлирах нормальной толщины (0.03мм) для значительного числа месторождений находится в большинстве случаев в соответствии с вышеприведенным выводом о различии в составах акцессорного п рудообразующего хромшпинелидов. Однако зарегистрирован один

случай (Южный Крака, месторождение «Кулундинские ямы»), когда в шлировых обособлениях вкрапленных руд среди лерцолитов рудообразующие хромшинелиды и акцессорные хромшинелиды из лерцолитов как по окраске, так и по просвечиваемости ничем существенно не различались. К сожалению, мы не располагаем данными химических анализов таких хромшинелидов и этот случай остается пока не изученным.

### V. ВАРИАЦИИ ХИМИЧЕСКОГО СОСТАВА РУДООБРАЗУЮЩИХ ХРОМШПИНЕЛИДОВ В ЗАВИСИМОСТИ ОТ УСЛОВИЙ НАХОЖДЕНИЯ РУДНЫХ ТЕЛ В МАССИВАХ

Для выявления зависимости между составами рудообразующих хромшинелидов и особенностями состава ультраосновных пород хромитоносных массивов необходимо рассмотреть следующие вопросы:

Каковы вариации состава хромшпинелидов в пределах одного или нескольких близлежащих рудных тел?

Каковы вариации и различия в составах рудообразующих хромшпинелидов из месторождений, находящихся в пределах одного массива, но расположенных в различных по петрографическому составу частях его?

Общее сравнение составов хромшпинелидов из месторождений различных массивов.

При разборе этих вопросов нас будет интересовать, в первую очередь, состав хромшпинелидов по главным шпинелеобразующим элементам: Cr, Al, Fe+++, Mg и Fe++. Других, второстепенных элементов, как то: Mn, Zn, Ni, Co, Ti, V и др., мы здесь не рассматриваем, так как содержания их весьма незначительны (см. главу о химическом составе природных хромшпинелидов).

Наиболее удобно рассматривать вариации составов рудообразующих хромшпинелидов по соответствующим их окислам в весовых или моле-кулярных процентах или по количеству атомов того или другого элемента в элементарной ячейке хромшпинелида. Пользоваться же условными молекулярными группировками, как это делал ряд авторов, для наших целей крайне неудобно и нерационально (обоснование см. на стр. 8).

Ниже мы приводим сводку колебания содержания окислов в анализах хромшпинелидов Урала. Данные характеризуют рудообразующие хромшпинелиды, не подвергшиеся метаморфизму. При пересчете химического анализа на состав хромшпинелида из данных анализа исключалось SiO<sub>2</sub>, которое связывалось с необходимым количеством MgO и FeO по формулам сопутствующих минералов. После таких исключений пифры анализа вновь приводились к 100%.

Таблица 9

Овислы	Весовые 1	проценты	Молеку проце		Атомы какого	Количество атомов в элементарной нчейке хромшпинелидов				
	от	до	от	до	элемента	от	до			
$\begin{array}{c} \operatorname{Cr_2O_3} \\ \operatorname{Al_2O_3} \\ \operatorname{Fe_2O_3} \end{array}, \\ \operatorname{MgO} \\ \operatorname{FeO} \end{array}$	23.0 5.0 1.0 16.0 10.5 10.0	64.0 37.0 10.0 24.0 24.0 25.0	13.4 5.9 0.0 6.6 16.2 12.7	42.2 33.1 6.6 9.9 37.3 33.8	Cr Al Fe <sup>+++</sup> Mg Fe <sup>+</sup> +	4.5 2.0 0.0 2.0 2.5 2.0	13.5 40.5 2.0 3.0 * 6.0 5.5			

<sup>\*</sup> Вторая строка для окисла  ${\rm Fe_2O_3}$  характеризует хромицинелиды илатиноносных массивов Vрала.

## 1. Варнации состава рудообразующих хромшпинелидов в пределах одного или нескольких близлежащих рудных тел

Рассмотрим сначала, какие колебания наблюдаются в химическом составе рудообразующих хромилинелидов, находящихся в пределах одного или нескольких близлежащих рудных тел месторождения. Как показывают многочисленные анализы рудных концентратов большого числа месторождений Урала, составы хромшпинелидов в этом случае имеют незначительные колебания. При этом колебания проявляются в рудах различных текстур, а, именно: вкрапленные, густовкрапленные, нодулярные, массивные и др. руды данного месторождения несколько отличаются по содержанию Ст, A1, Fe+++, Fe++ и Mg. Так, по трехвалентным элементам наблюдается следующее.

Хромшпинелиды убогих и вкрапленных руд содержат максимальное количество Cr и минимальное количество Al по отношению к другим разновицностям руд.

Хромшпинелиды густовкрапленных, шлирово-вкрапленных (такситовых) и нодулярных руд имеют несколько меньшее содержание Сr, чем хромшпинелиды вкрапленных руд. Содержание алюминия соответственно несколько увеличивается.

В массивных рудах хромшпинелиды содержат хрома еще меньше, чем во всех разновидностях вкрапленных руд. Соответственно в них возрастает содержание алюминия.

Содержание трехвалентного железа в хромшпинелидах для всех разновидностей руд почти постоянно. Ввиду ограниченного количества Fe+++ в составе хромшпинелидов, ясно выраженных вариаций его с о д е р ж ан и я в хромшпинелидах различных руд не устанавливается. Лишь в хромшпинелидах массивных руд некоторых месторождений иногда наблюдается сравнительно небольшое увеличение против содержания его в рудах других текстур того же месторождения. В этих случаях увеличивается песколько и содержание двухвалентного железа.

По содержанию двухвалентных элементов рудообразующие хромшпинелиды того или иного месторождения отличаются еще большим постоянством. Содержание этих элементов варьирует в очень малых пределах, а отношение MgO: FeO для хромшпинелидов из самых различных разновидностей руд почти неизменно. Более того, отношение MgO: FeO очень мало варьирует в хромшпинелидах руд, взятых из месторождений, расположенных в различных частях того или иного хромитоносного массива и заключенных в полях пород различного петрографического состава. При этом хромшпинелиды по содержанию в них трехвалентных элементов — Cr, Al и Fe+++ весьма различны (примеры см. в разделе 2 настоящей главы).

В подтверждение всего сказанного приведем наиболее характерные примеры.

1. Месторождение Большой Башарт, массив Ю. Крака

Окислы	Хромшпинелиды вкрацленных руд	Хромшпипелиды подулярных руд	Хромшининелиды массивных руд			
	обр. 27/II 1935 г.	обр. 44/11 1935 г.	лассивных руд			
$\begin{array}{c} \operatorname{Cr_2O_3} \\ \operatorname{Al_2O_3} \\ \operatorname{Fe_2O_3} \end{array}$	54.08% Bec. 11.37	51.70°/ <sub>0</sub> вес. 13.14 0.70	51.06°/ <sub>о</sub> вес. 16.60 1.60			

#### 2. Северная группа месторождений Кемпирсайсного массива

Окислы	Хромшпинелиды	Хромшпинелиды	Хромшпинелиды		
	вирапленных руд	нодулярных руд	массивных руд		
	обр. 186/м-7	обр. 161/-9	обр. 260/м-23		
$Cr_2O_3$ $Al_2O_3$ $Fe_2O_3$	39.34°/ <sub>0</sub> вес.	36.550/ <sub>о</sub> вес.	34.330/ <sub>0</sub> Bec.		
	22.98	27.66	32.29		
	1.46	0.66	2.40		

## 3. Месторождение «Гигант», Донская группа Кемпирсайского массива

Окислы	Хромшпинелиды вкрапленных руд обр. 66/Л-1938 г.	Хромшинелиды массивных руд обр. 35/Л-1938 г.				
$Cr_2O_3$ $Al_2O_3$ $Fe_2O_3$	60.90°/• вес. 7.40 6.76	58.60°/ <sub>0</sub> вес. 9.55 3.80				

#### 4. Месторождение «Спорное», Донская группа Кемппрсайского массива

Окислы	Хромицинелиды вкраименных руд обр. 32/11 1938 г.	Хромпиннелиды густо вираниенных и массивруд обр. 33/11 1938 г.					
$Cr_2O_3$ $Al_3O_8$ $Fe_2O_8$	63.40%/o Bec. 7.90 3.43	63.04°/ <sub>0</sub> Bec. 9.00 2.73					

#### Месторождение № 8, Хабарнинский массив

Онислы	Хромшинелиды из убогих вкрапленных руд обр. 59/К	Хромшпинелиды из богатых (густовкраплен- ных) руд обр. 61/К					
Al <sub>2</sub> O <sub>3</sub> Fe <sub>2</sub> O <sub>3</sub>	52.90°/ <sub>0</sub> вес. 9.70 8.25	50.03°/ <sub>0</sub> Bec. 10.41 7.06					

### 6. Месторождение Песчанка, Верхне-Уфалейского массива

Окислы	Хромшпинеляды из густовкрапленных руд обр. пробы 41	Хромшпинелиды из массивных руд обр. пробы 142
$Cr_2O_3$ $Al_2O_3$ $Fe_2O_3$	58.10/ <sub>0</sub> вес. 11.3 2.8	51.3°/ <sub>о</sub> вес. 13.5 6.5

Аналогичные данные можно было бы привести по значительно большему числу месторождений Урала и других регионов. Однако и приведенные данные весьма убедительно показывают, что составы хромшпи-

нелидов по трехвалентным элементам из руд, находящихся в одном или нескольких близрасположенных рудных телах и различающихся по своим текстурам, подвержены относительно незначительным колебаниям. Все наблюдаемые вариации в составах хромшпинелидов связаны с особенностями сложения руд. Намечается явная и постоянная тенденция некоторого уменьшения содержания хрома и увеличения содержания алюминия в составах хромшпинелидов с переходом от различных вкрапленных руд к рудам массивного сложения.

Отметим здесь, что указанные колебания в составе рудообразующих хромшпинелидов, взятых из различных текстурных разновидностей руд, не сильно влияют на средний валовой состав руд месторождения в целом. Подчеркнем также, что установленная зависимость химического состава хромшпинелидов от текстурных особенностей руд в месторождениях некоторых массивов проявлена более резко, в других она менее заметна или почти неуловима. В резком несоответствии с фактом относительного постоянства состава рудообразующих хромшпинелидов, заключенных в одном или нескольких близрасположенных рудных тел месторождения, находятся химические составы хромшпинелидов из месторождения «Госшахта» Нижне-Тагильского платиноносного массива. По данным проф. А. Г. Бетехтина, приведенным в работах «Платина» (1935) и «К изучению месторождений хромистого железняка» (1934), состав рудообразующих хромшпинелидов из рудного тела этого месторождения имеет такие колебания (цифры приводятся в весовых процентах)

Cr.O.						OT	46.5	до 52.4
$Al_2O_3$			٠			>>	0.3	<b>» 16.0</b>
Fe <sub>2</sub> O <sub>3</sub>						>>	24.4	» 38.36

Содержание MgO варьирует в значительно меньших пределах---от 10.7 до 13.5% вес.

Этот весьма интересный факт, подчеркнутый в работах А. Г. Бетехтина, еще не нашел объяснения. Во всяком случае он является эпизодическим и требует специального рассмотрения в другом месте. Отмеченные более резкие колебания в составах рудообразующих хромшпинелидов месторождения Госшахты тем не менее подчинены следующим, весьма интересным закономерностям, впервые подмеченным А. Г. Бетехтиным 1934). Он пишет на стр. 41:

«В Нижне-Тагильском, хорошо дифференцированном габбро-гипербазитовом массиве подмечена зависимость вещественного состава и структурных особенностей руд от пространственного расположения их в массиве. Хромшийнелидовые скопления, богатые хромом, располагались только среди выходов дунитового массива, титано-магнетитовые же— только среди выходов приоксенита, но в переходной между этими породами зоне, представленной перидотитами (верлитами), посчастливилось встретить рудные тела, значительно обогащенные железом (Fe<sub>2</sub>O<sub>3</sub> до 50—55%) при содержании окиси хрома до 28% и с ясно повышенным содержанием титана». (Иллюстрация пифровыми данными нами приводится в разделе 2, см. стр. 51—52).

Таким образом, этот факт поназывает, что хотя колебания составов хромшнинелидов в пределах рудного тела месторождения «Госшахта» Нижне-Тагильского массива значительно больше, чем это наблюдается у хромшпинелидов всех других месторождений Урала, тем не менее специфические особенности состава хромшпинелидов из месторождений, расположенных в породах различного состава, выражены весьма резко.

49

<sup>6</sup> Fe<sub>2</sub>O<sub>2</sub> в анализах приводится общая, без разделения на FeO и Fe<sub>2</sub>O<sub>2</sub>.

<sup>4</sup> труды ИГН, в. 103

Хромшпинелиды, богатые хромом, заключены в дунитах, более бедные хромом и богатые железом располагаются в перидотитах верлитового состава и, наконец, шпинелиды с высоким содержанием титана и железа и ничтожным содержанием хрома образуют скопления в пироксенитах.

## 2. Вариации составов рудообразующих хромшпинелидов в пределах одного массива

Разбирая составы рудообразующих хромшпинелидов из месторождений, расположенных в различных по петрографическому составу участках или полях какого-либо массива, можно убедиться, что хромшпинелиды, как правило, имеют в каждом из таких участков или полей свой специфический состав.

Для большинства массивов Урала в этом отношении наблюдаются общие закономерности.

Вариации состава хромшпинелидов в зависимости от вмещающих пород наиболее резко выражены в группе трехвалентных элементов Сг, Al и Fe+++. Содержание же двухвалентных элементов при этом колеблется MgO

незначительно и отношение  $\frac{mgO}{\text{«FcO}»}$  в них варьирует в неболь ших пределах.

Характерно также, что это отношение в составах рудообразующих хромшпинелидов для каждого массива имеет свою определенную величину и свои пределы колебания. Так, в Кемпирсайском массиве хромшпинелиды из месторождений Донской группы, рудные тела которых залегают в дунитах, при содержании  $\text{Cr}_2\text{O}_3$  61—64% вес. и  $\text{Al}_2\text{O}_3$  7—10% вес. имеют отношение MgO: FeO = 2.3°. Хромшпинелиды из месторождений Северной группы того же массива, располагающиеся в породах перидотитового состава (гарцбургитах), при содержании  $\text{Cr}_2\text{O}_3$  от 32 до 40% вес. и  $\text{Al}_2\text{O}_3$  от 23 до 33% вес., имеют такое же отношение  $\frac{\text{MgO}}{\text{«FeO»}}$ , т. е. 2.3.

По содержанию в хромшнинелидах трехвалентных металлов (Cr, Al и Fe+++) наблюдается следующая зависимость от петрографического состава вмещающих пород рудоносных участков.

1. Хромшпинелиды из месторождений, расположенных среди больших масс дунитов, отличаются высоким или вообще повышенным содержанием  $Cr_2O_3$  по сравнению с содержанием его в хромшпинелидах из месторождений, расположенных в других типах ультраосновных пород массива.

2. В хромшпинелидах из месторождений, расположенных среди больших масс гарцбургитов (обычно с различно морфологически обособленными шлирами и полосами дунитов, с которыми и связаны рудные тела), содержание  $\mathrm{Cr}_2\mathrm{O}_3$  в большинстве несколько меньше, чем в предыдущем случае. В одних массивах в этом отношении наблюдается значительное различие по сравнению с хромшпинелидами из месторождений в крупных дунитовых массивах, в других это различие сказывается менее резко.

3. Хромшпинелиды из месторождений, расположенных в лерцолитах (обычно с обособлениями гарцбургитов и дунитов, с которыми и связаны часто рудные тела), содержат  $Cr_2O_3$  еще меньше, чем из месторождений

в гарцбургитах, если последние имеются в массиве.

4. В верлитах, обычно не образующих крупных обособленных полей, рудные тела встречаются редко. Известные находки хромистого железняка в Нижне-Тагильском платиноносном массиве (Бетехтин, 1934) и в Хабарнинском массиве — район карьера № 12 (Бетехтин и Кашин, 1937) указывают на низкое содержание Сг<sub>2</sub>О<sub>3</sub> и большое содержание Fe<sub>2</sub>O<sub>3</sub> и TiO<sub>2</sub>.

<sup>&</sup>lt;sup>†</sup> Отношение вычислено из молекулярных процентов.

5. В пироксенитах большие скопления хромистого железняка неизвестны. Анализы массивных руд из небольших рудных обособлений в пироксенитах Тагильского массива показывают высокое содержание в них  $F_{\rm e}_{\rm 2}O_{\rm 3}$  и  $TiO_{\rm 2}$ . Содержание  $Cr_{\rm 2}O_{\rm 3}$  ничтожно (0.20%), и следовательно, такие шпинелиды уже не являются хромшпинелидами.

Приведем цифровые данные содержания в весовых процентах по отдельным массивам, подтверждающие высказанные положения.

1. Кемпирсайский массив.

Хромшпинелиды группы Донских месторождений из крупного (150 км²) поля дунитов:

$$Cr_2O_3$$
 . . . . . . . . . . 60-64  
Al<sub>2</sub>O<sub>3</sub> . . . . . . . . . . 6-9

Хромшпинелиды Северо-Кемпирсайской группы месторождений, залегающих в поле гарцбургитов:

2. Халиловский массив.

Хромшпинелиды из месторождений, расположенных в дунитовых обособлениях:

Хромшпинелиды из месторождений, расположенных среди гарцбургитов:

3. Массив Южный Крака.

Рудообразующие хромшпинелиды месторождений, расположенных в больших массах гардбургитов с обособлением дунитов в форме полос и шлиров:

Месторождения, расположенные в больших массах лерцолитов с узкими оторочками дунитов (до 1—3 м) вокруг рудных тел. Рудообразующие хромшпинелиды:

4. Тагильский платиноносный массив.

Хром шпинелиды из месторождений в дунитах:

Cr <sub>2</sub> O <sub>3</sub>					46 - 52.4
Al <sub>2</sub> O <sub>3</sub>					0.3 - 16
Fo,O					<b>15—38</b>

<sup>&</sup>lt;sup>8</sup> Если не считать месторождений Чуйского массива, материалами по которому автор, к сожалению, не располагает.

## Хромшпинелиды из месторождений в верлитах:

Cr.O.					28.0-39.60
Al <sub>2</sub> O <sub>2</sub>					3.75- 9.80
Fe,O.					21.0-38.0 0-1.23
TiŌ.					0 - 1.23

## Рудные обособления в пироксенитах:

$Cr_2O_3$					0.20
Al <sub>2</sub> O <sub>3</sub>					7.67
Fe,O,					55.17
TiO.					4.50

## 5. Хабарнинский массив.

Хром шпинелиды из группы месторождений  $\mathbb{N}\mathbb{N}$  1, 2, 11 и 3/4, расположенных в «главном» и «восточном» дунитовых полях, где рудоносные дуниты залегают среди верлитов:

Cr.O.					49.0-55.4
Al <sub>2</sub> O <sub>3</sub>					8.4- 9.5
Fe.O.					4.2-10.64

Хромппинелиды из группы месторождений №№ 5/I, 5/II, 6, 7, 8, 9 и 10, расположенных в северо-западном участке дунитов, где характерен полосчатый дунит-пироксенитовый комплекс и верлиты образуют узкие реакционные каймы между дунитами и пироксенитами:

$Cr_2O_3$					46.4 - 53.3
Al <sub>2</sub> O <sub>2</sub>					10.32-13.21
Fe.O.					8.17-12.0

Примеры, характеризующие связь состава рудообразующих хромшиинелидов с петрографическим составом рудоносных полей в пределах одного массива, можно было бы значительно умножить, но и приведенные здесь наглядно иллюстрируют изложенное выше.

В связи с тем, что в неизмененных хромшпинелидах абсолютного большинства уральских хромитоносных массивов окись железа (Fe  $_2$ O $_3$ ) входит в ограниченном и более или менее постоянном количестве (0.5—4% вес. и реже до 12% вес.), глинозем хромшпинелидов, являясь дополняющим окислом к  $Cr_2$ O $_3$  в группе окислов трехвалентных металлов, имеет обратную окиси хрома зависимость от петрографического состава вмещающих пород. В рудообразующих хромшпинелидах из дунитовых участков массива  $Al_2$ O $_3$  содержится в меньшем количестве, чем в хромшпинелидах из месторождений, расположенных в перидотитах (гарцбургитах, верлитах, лерцолитах).

## 3. Общее сравнение составов рудообразующих хромшинелидов из месторождений различных массивов

Обратимся к сравнению составов рудообразующих хромшпинелидов из месторождений различных хромитоносных массивов.

Многочисленные данные химических анализов рудообразующих хромшпинелидов из месторождений различных массивов, но залегающих в одноименных породах с очень близким минералогическим и химическим составом, часто показывают резкие различия. Приведем несколько цифр для хромшпинелидов, рудные тела которых заключены в крупные поля дунитов и гарцбургитов (табл. 10 и 11).

## Состав хромплинелидов из месторождений, расположенных в дунитах (весовые проценты)

Массивы	Cr,O,	Al <sub>2</sub> O <sub>2</sub>	Fe,O,	MgO	FeO
Кемпирсайский, Донская группа	6064	59	0- 2.0	14—16	10—15
Хабарнинский, Главное поле	49-55	8—10	4.0-11.0	11—12	14—16
Нижне-Тагильский, Александ- ровский лог	4650	416	15.0-30.0	815	6-16.5

Таблица 11 Состав хромицинелидов из месторождений, расположенных в гарцбургитах (весовые проценты)

Массивы	Cr.O.	Al <sub>2</sub> O <sub>8</sub>	Fe <sub>1</sub> O <sub>6</sub>	MgO	FeO
Кемпирсайский, Северная группа	32—40	25—33	0-2.0	14—17	12—15
	47—50	10—17	4.0-6.0	14—16	10—14
	38—40	16—21	1.0-3.0	12—18	13—16

Весьма удобно сопоставление составов хромшпинелидов производить посредством диаграмм. Мы приводим две диаграммы (фиг. 20 и фиг. 21), в которых сведены данные химических анализов хромшпинелидов из массивов Урала и некоторых других регионов. Приводимые диаграммы построены по тому же принципу, что и в предыдущих разделах. Состав хромшпинелидов в них выражен посредством фигуративных точек, отображающих количество атомов двух-и трехвалентных элементов (Mg, Fe++, Cr, Al, Fe+++) в составе элементарной ичейки данного хромшпинелида (подробно об этом см. стр. 6—8). Для каждого массива использованы анализы хромшпинелидов в количестве от 3 до 20, причем для этих целей брались анализы по возможности мало метаморфизованных хромшпинелидов с отношением R<sub>2</sub>O<sub>3</sub>: RO от 0.97 до 1.10, т. е. близким к единице.

На диаграмме фиг. 20 (и фиг. 20 а) нанесены составы рудообразующих хромшпинелидов из месторождений следующих массивов: Мамытского, Кемпирсайского, Алапаевского, Халиловского, Татищевского, Тагило-Невьянского, Аккаргинского и Брединского.

На диаграмме фиг. 21 (и фиг. 21 а) нанесены составы хромшпинелидов из массивов Верх-Нейвинского, Сарановского, Кракинских Северного, Среднего и Южного, Нижне-Тагильского (платиноносного), Куликовского, Варшавского, Хабарнинского, Иткульского, Верхне-Тагильского, Каменецкого, Верблюжьегорского, Верхне-Уфалейского, Шевченковского, Кутарстанского, Ключевского, некоторых месторождений Кавказа, Побужья и месторождений Бушвельда.

Разберем, какие эмпирические закономерности вытекают из этих

двух диаграмм.

Упомянем, что вначале результаты анализов хромшпинелидов по всем массивам были нанесены на одну общую диаграмму, представленную

нами вдесь в виде сводной диаграммы на фиг. 3. Обобщение полученных данных показало, что среди рудообразующих хромппинелидов из месторождений Урала и других районов существуют две различные группы, отличающиеся главным образом по соотношению в них магния и железа.

Дальнейшее рассмотрение такой сводной общей диаграммы показало, что рудообразующие хромшпинелиды из месторождений какого-либо определенного массива попадают только в одну из этих групп. Так, например, кромшпинелиды Кемпирсайского, Алапаевского, Халиловского и других массивов попадают только в группу хромшпинелидов с отношением  $\frac{\text{Mg}}{\text{Fe}^{++}} = \text{от } 1.9$  до 2.5, и ни один из использованных анализов хромшпинелидов из месторождений этих массивов не попадает в другую группу с отношением  $\frac{\text{Mg}}{\text{Fe}^{++}}$ , равным от 0.7 до 1.8.

Анализы хромшпинелидов таких массивов, как Хабарнинский, Иткульский, Кракинские, Сарановский и др., наоборот, попадают только в эту вторую группу (с отношением  $\frac{\text{Mg}}{\text{Fe}^{++}} = 0.7-1.8$ ), и ни один анализ хромшпинелидов этих массивов не попадает в первую группу.

Для наглядности и удобства при дальнейшем анализе связи состава хромшпинелидов с петрографическим составом пород мы общую диа-

грамму (фиг. 3) разделили на две самостоятельные диаграммы.

Таким образом, первый весьма интересный вывод, который вытекает из рассмотрения этих диаграмм, сводится к тому, что хромшпинелиды уральских и некоторых других месторождений резко разделяются на две категории:

а) на хромшпинелиды существенно магнезиальные и

б) » » магнезиально-железистые.

К существенно магнезиальным разновидностим относятся рудообразующие хромшпинелиды месторождений следующих массивов: Кемпирсайского, Алапаевского, Халиловского, Татищевского, Тагило-Невыянского, Аккаргинского и др.

К магнезиально-железистым разновидностям относятся хромшиинелиды из месторождений таких массивов: Хабарнияского, Иткульского, Кракинских, Варшавского, Куликовского, Сарановского, Каменецкого, Верх-Нейвинского, Нижне-Тагильского (платиноносного) и др.

Рассмотрим теперь более внимательно каждую из этих двух выделен-

ных нами групп.

Группа существенно магнезиальных хромшпинелидов (фиг. 20).

При рассмотрении этого ряда хромшпинелидов, во-первых, отчетливо выясняется, что отношение  $\frac{Mg}{Fe^{++}}$  для хромшпинелидов всех массивов варьирует в сравнительно узких пределах — от 1.9 до 2.5. На диаграмме это выражается тем, что фигуративные точки располагаются узкой полосой между уровнями атомов  $Fe^{++}$  (Mg) : 3(5) и 2(6).

Во-вторых, в диаграмме наглядно видно резко ограниченное содержание  $Fe^{+++}$ , которое входит в состав хромшпинелидов этого ряда всего лишь в количестве от 0.1 до 3.0 молекулярных процентов  $Fe_2O_3$  или, как это показано на диаграмме, в количестве от 0 до 1.0 атома  $Fe^{+++}$ .

В противоположность Fe+++ содержание хрома и алюминия варьирует в широких пределах. Так, хром варьирует в пределах от 4.5 до 14.0 атомов в элементарной ячейке; алюминий от 2.0 до 10.5 атомов.

По отдельным массивам хромшпинелиды показывают такие колебания содержания хрома и алюминия (табл. 12):

Массивы	Сг <sub>2</sub> О <sub>3</sub> в мол. %	Количество ато- мов Ст в элемен- тарной ячейке	Al <sub>2</sub> O <sub>8</sub> в мол. %	Количество ато- мов Al в элемен- тарной ячейке
1. Кемпирсайский 2. Алапаевский	21.0-28.5 40.0-42.5 23.5-26.0 13.5-21.0 27.2-29.0 28.0-40.0	6.5— 9.0 12.8—13.6 7.5— 8.5 4.3— 7.0 8.7— 9.3 9.0—12.8	19.5—27.5 6.5— 8.5 23.5—25.6 27.5—38.1 19.6—22.3 8.0—19.0	6.2—8.8 2.0—2.6 7.5—8.4 8.6—10.6 6.3—7.2 2.5—6.1
6. Татищевский 7. Тагило-Невьян- ский	29.0—30.0 31.5—37.5 37.0—39.0	9.3— 9.6 10.0—12.0 11.8—12.5	18.0—19.0 11.0—17.5 9.0—12.0	5.8— 6.1 3.5— 5.6 2.9— 3.8

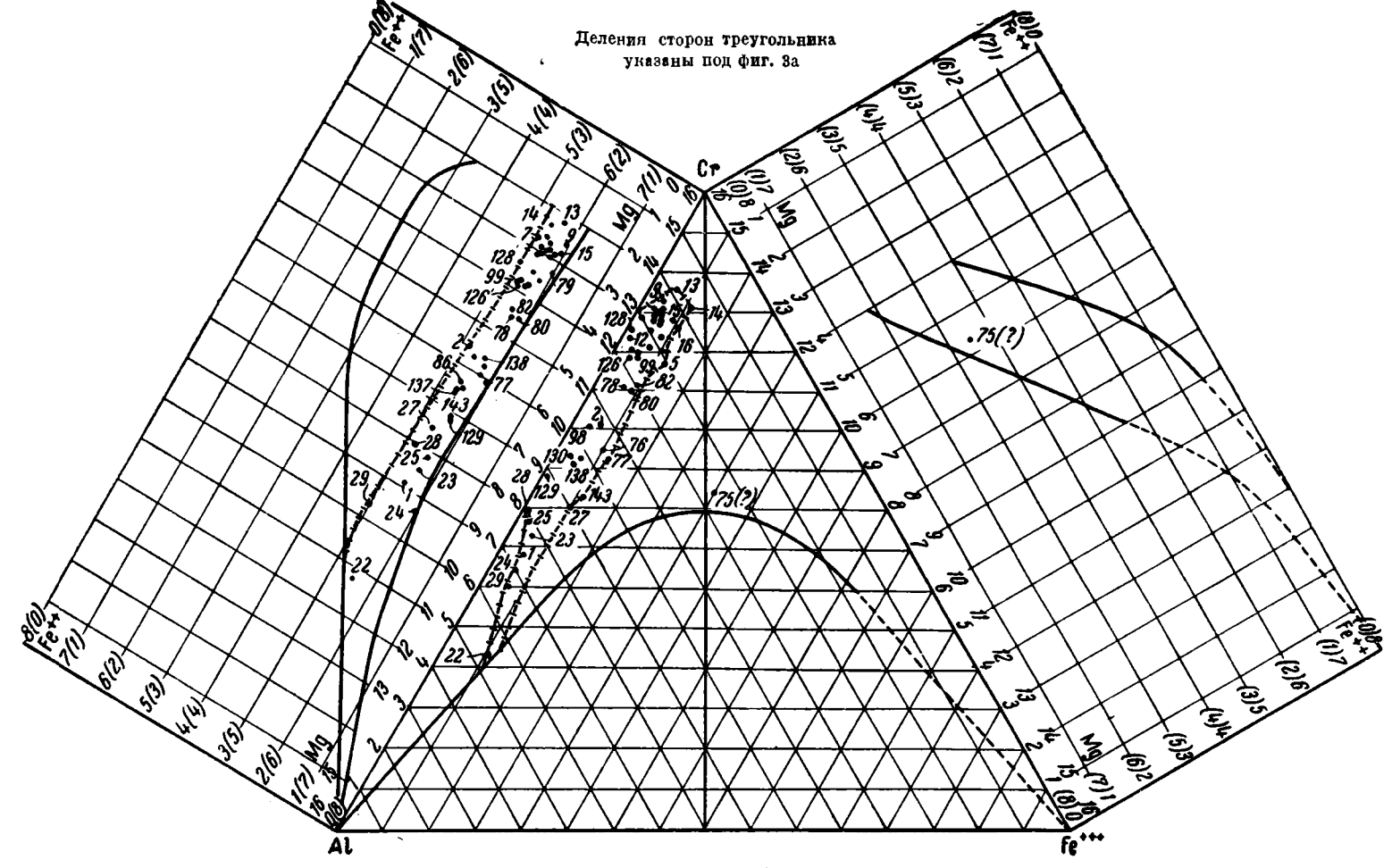
Как видно из этих данных, хром шпинелиды каждого массива отличаются по содержанию окиси хрома и глинозема. Правда, некоторое различие в колебаниях по содержанию хрома и алюминия находится в связи с различным числом анализов хромшпинелидов, отобранных нами для каждого массива. Это, однако, не могло повлиять на картину различий в составе хромшпинелидов, ибо нами были отобраны для каждого массива не только наиболее типичные их представитсли, но и такие, которые отклоняются от обычных по содержанию тех пли иных окислов.

Некоторую недостаточность числа приведенных нами анализов следует признать лишь для Татищевского, Брединского и Мамытского массивов. Это обусловлено либо отсутствием других анализов, либо низкими качествами анализов, либо, наконец, невозможностью рассчитать анализ в связи с сильным метаморфизмом хромшпинелидов.

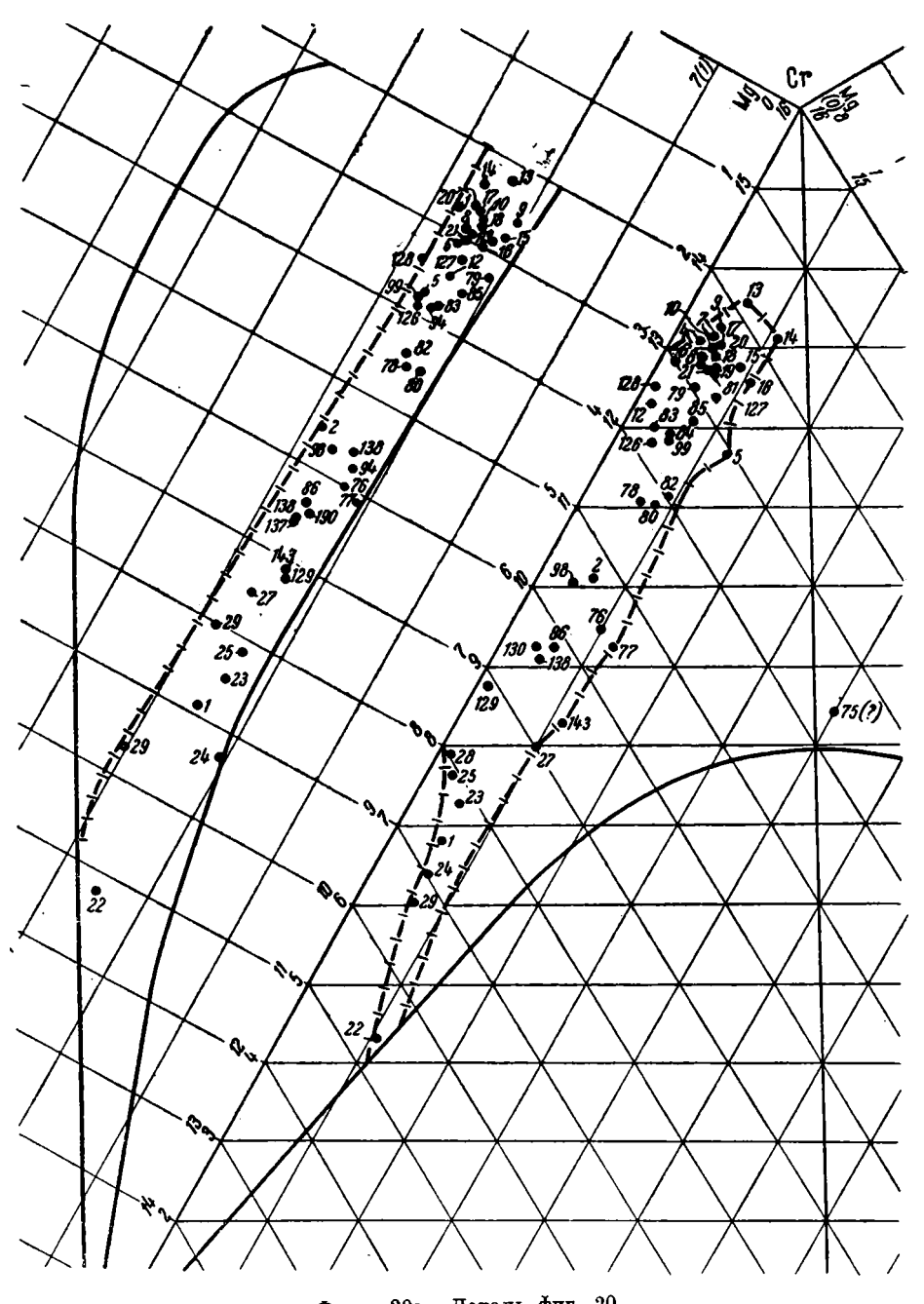
Таким образом, приведенные данные, хотя и не могут претендовать на характеристику абсолютно всех случаев в вариациях состава хромшпинелидов для каждого массива, но достаточно полно характеризуют особенности и типичные черты состава хромшпинелидов каждого массива. То же относится и к хромшпинелидам магнезиально-железистого ряда.

Рассмотрим теперь данные диаграммы фиг. 21 по хромшпинелидам магнезиально-железистого ряда.

- 1. Прежде всего они отражают сравнительно широкие пределы колебаний в отношении  $\frac{Mg}{Fe^{++}}$  от 0.6 до 1.8, т. е. разница = 1.2, в противоположность вышерассмотренному ряду, где разница составляет 2.5—1.9, т. е. всего 0.6. На диаграмме это выражено тем, что фигуративные точки располагаются на более широком поле между уровнями  $Fe^{++}$  (Mg): 6/2—3(5).
- 2. Вторым отличием этой группы от предыдущей являются сравнительно широкие пределы колебаний в содержании  $Fe_2O_3$ —0.5—11% (молекулярных) или от 0.2 до 3.5 атома  $Fe^{+++}$ , тогда как в предыдущей группе содержание  $Fe_2O_3$  составляло от 0.1 до 3% молекулярных (или от 0.0 до 1.0 атома  $Fe^{+++}$ ). Таким образом, в этой группе хромшпинелидов, наряду с повышенным содержанием  $Fe^{++}$  по сравнению с хромшпинелидами магнезиального ряда, наблюдается и заметно большее количество  $Fe^{+++}$ . Исключение представляют хромшпинелиды массивов Крака, которые являются как бы промежуточными между выделенными двумя рядами (магнезиальным и магнезиально-железистым); однако, отношение  $\frac{Mg}{Fe^{++}} = 1.2$  определяет принадлежность хромшпинелидов Крака к группе магнезиально-железистых.



Ф и г. 20. Диаграмма составов существенно магнезиальных рудообразующих хромшпинелидов. Составил Н. В. Павлов



 Фиг. 20а. Деталь фиг. 20.
 Массивы
 Ж анализов
 Массивы
 Массивы
 Массивы
 Массивы
 Массивы
 Массивы
 Тагило-Невынский

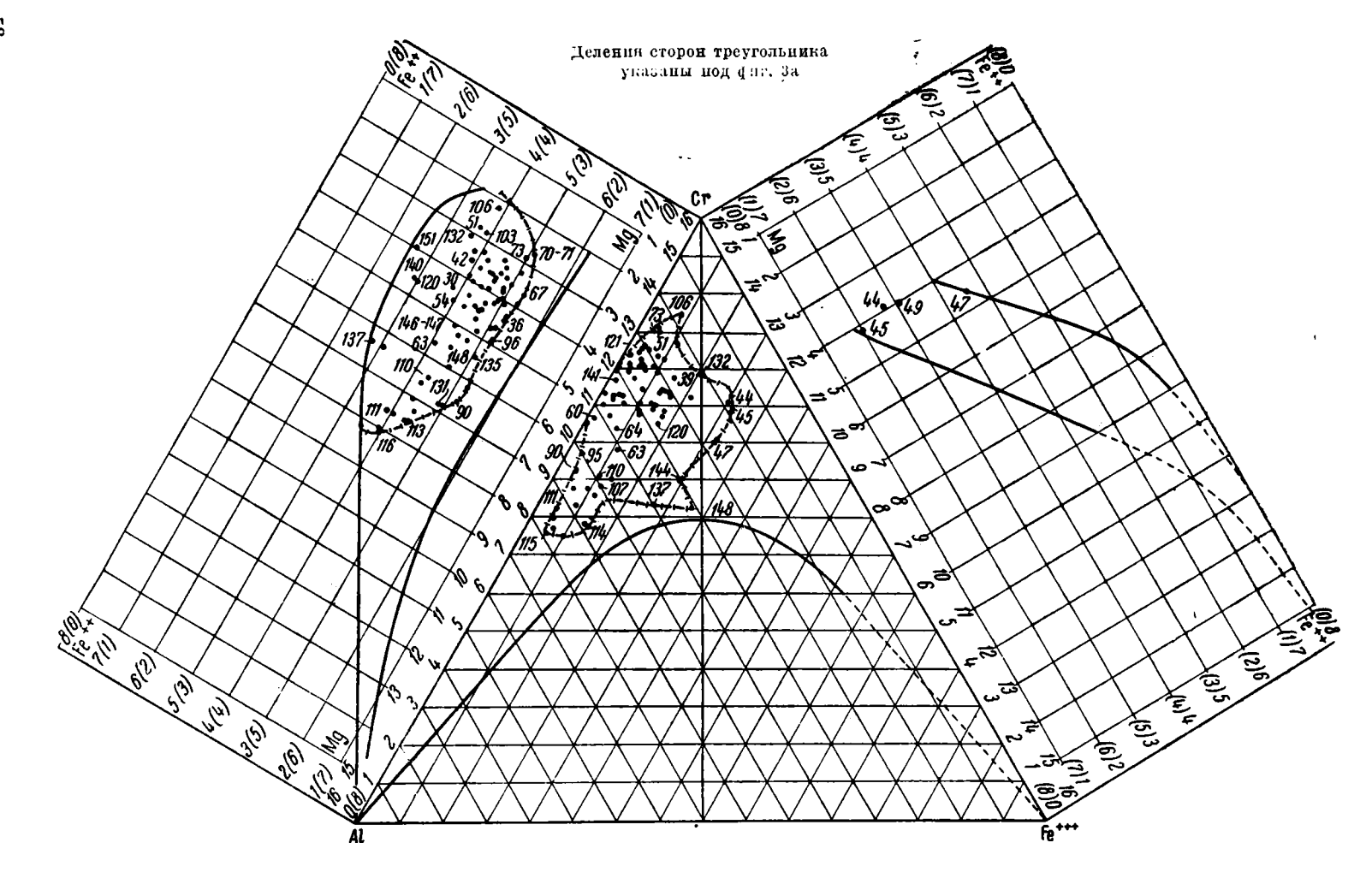
 1—2,22
 Мамытекий
 97—102
 Тагило-Невынский

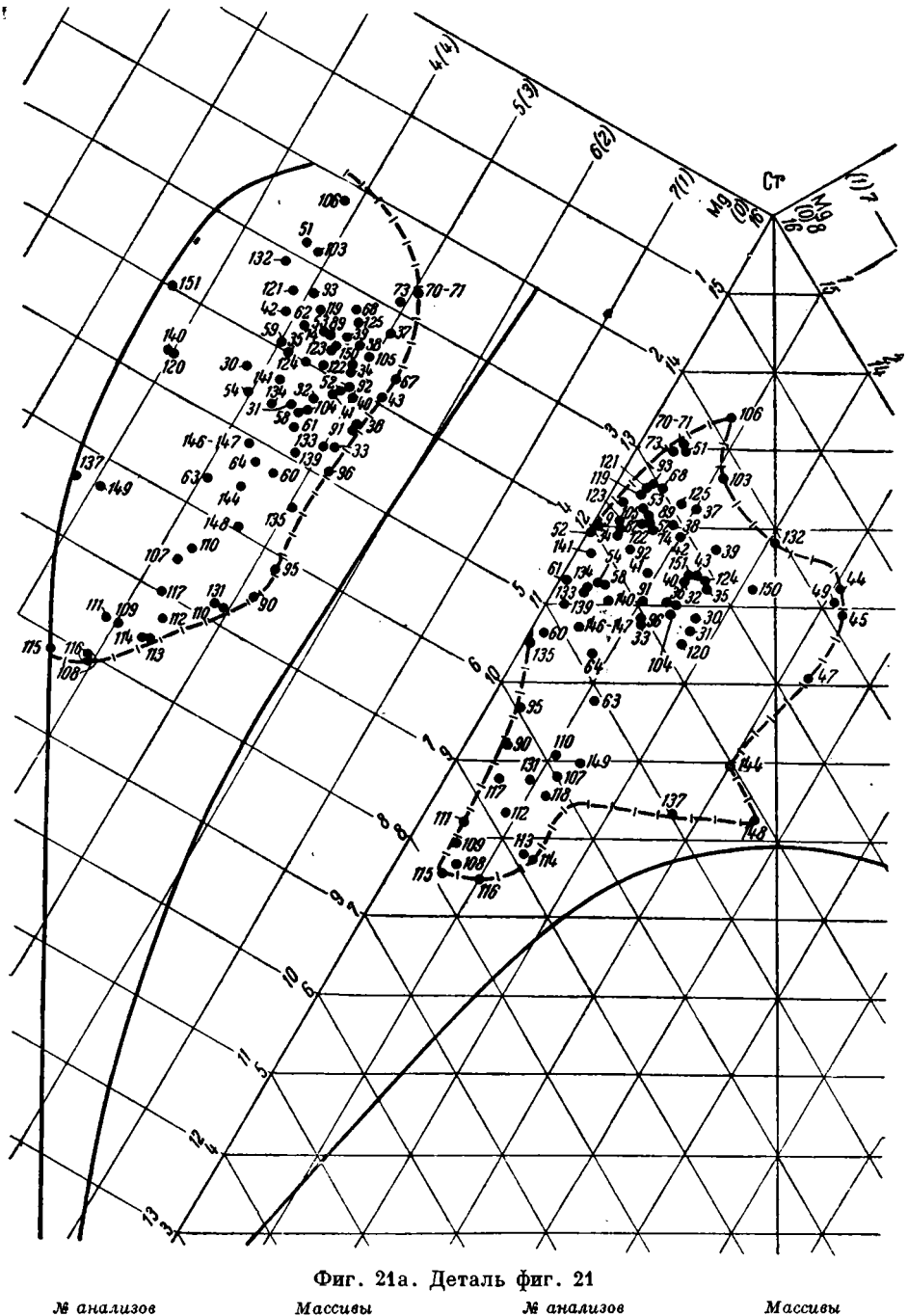
 3—21
 Южн. часть Кемпирсайского
 126—128
 Аккаргинский

 23—29
 Сев. "
 "
 Брединский

 75—88
 Халиловский
 142—143
 Алапаевский

- Контурные линии пределов изоморфизма в хромшпинелидах по двух и трехвалентным элементам. - | - | - | Контурная линия поля изоморфизма по двухвалентным элементам в группе существенно магнезиальных хромшпинелидов.





№ анализов	Массивы	№ анализов	Массивы
51 — 62	3-й Кракинский	107—118	Сарановский
63	2-й Кракинский	124-125	Верблюжьегорск <b>ий</b>
64 74	1-й Кракинский	<b>89</b> — 96	ВУфалейский
137	Куликовский	131	Шевченковский
132	Каменецкий	151	Каркадинский
140-141	Варшавский	135	Кутарстанский
119123	ВТагильский	150	Ключевский
133-134	ВНейвинский	144-147	Кавназсиме
44-49	НТагильский	148	Побужье
103106	Иткульский	149	Бушвельд
30 43	Хэбэриниский		- '''

В связи с тем, что в этой группе хромшпинелидов несколько повышено содержание  $Fe_2O_3$ , содержание  $Cr_2O_3$  варьирует в несколько меньших пределах:  $Cr_2O_3$  от 28 до 39;  $Al_2O_3$  от 7 до 20.5 % молекулярных, что видно из табл. 13.

Среди хромшпинелидов этой группы намечаются как бы две ветви: в одной из них колебания в содержании Сг<sub>2</sub>О<sub>3</sub> связаны только с колебаниями содержания Al<sub>2</sub>O<sub>3</sub>, так как Fe<sub>2</sub>O<sub>3</sub> в их состав входит в ограниченном количестве. Сюда можно отнести хромшпинелиды Кракинских, Варшавского, Верхне-Тагильского и других массивов.

В другой ветви хромшпинелидов колебание в содержании Ст.О. находится в зависимости от изоморфной примеси как Al<sub>2</sub>O<sub>3</sub>, так и Fe<sub>2</sub>O<sub>3</sub>. К этой ветви могут быть отнесены хромшиниелины Сарановского, Нижне-Тагильского и Хабарнинского массивов.

Таблица 13 Содержание Ст.О., А1.О. и Ге.О. в хромшиниелидах отдельных массивов

Массивы	Сг <sub>в</sub> О <sub>в</sub> в мол. •/ <sub>•</sub>	Количество атомов Сг в элементарной ячейке	Al <sub>z</sub> O <sub>3</sub> в мол. <sup>6</sup> / <sub>6</sub>	Количе- ство ато- мов Al в элементар- ной ячейке	в мол. °/	Количе- ство ато- мов Fe*** в элемен- тарной ячейке
Верх-Нейвинский	33-35 27.5-30.5 32-39 29-33 35-36 29.5-36.5 37-38 34-42	10.6-11.2 8.8-9.8 10.2-12.4 9.3-10.6 10.9-11.5 9.4-11.6 11.8-12.2 10.9-13.4	14—15 15—21 9.5—16 7.5—16 14—15 8—13 10—11 5.5—11.5	4.5—4.8 5.0—6.7 3.0—5.1 2.4—5.1 4.5—4.8 2.6—4.1 3.2—3.5 1.8—3.7	$egin{array}{cccccccccccccccccccccccccccccccccccc$	

## VI. КОРРЕЛЯЦИЯ РУДООБРАЗУЮЩИХ ХРОМШПИНЕЛИДОВ и ультраосновных пород по химическому составу

Сопоставим выделенные нами две группы хромшпинелидов с петрографическими и химическими особенностями пород хромитоносных интрузивов. В главах II и III настоящей работы был выделен ряд типов и подтипов интрузивов и установлены две группы их, отличающиеся по химическим особенностям пород.

Если проследить, с какими петрографическими типами и подтипами массивов связаны рудообразующие хромшпинелиды существенно магнезиального ряда и с какими рудообразующие хромплинелиды магнезиально-железистого ряда, то можно видеть следующее:

- 1. Массивы с магнезиальными рудообразующими хромшпинелидами
  - Тип I, подтип А. Алапаевский массив
- Тип II, подтип А. Южно-Аккаргинский, Халиловский Тип II, подтип Б. Кемпирсайский (Актюбинский) и Тагило-Невьянский массивы 2. Массивы с магнезиально-железистыми рудообразующими хромшпинелидами Тип I, подтип A. Верхне-Уфалейский и Верблюжьегорский массивы
  - - Тип I, подтип Б. Кутарстанский массив Тип I, подтип Г. Варшавский и Куликовский массивы

    - Тип II, подтип В. Кракинские массивы
      Тип III, подтип А. Иткульский, Верхне-Тагильский и Верх-Нейвинский массивы
    - Тип III, подтип Б. Нижне-Тагильский платиноносный массив
    - Тип IV, подтип А. Каменецко-Подольский (промышленно-нехромитоносные мас-
    - Тип IV, подтип Б. Шевченковский массив
    - Тип V, подтип А. Хабарнинский
    - Тип VI, подтип А. Сарановский тип гардбургитовый без дунитов.

Таким образом, мы видим, что массивы с существенно магнезиальными рудообразующими хромшпинелидами попадают в иные типы и подтипы по петрографическому составу, чем массивы с магнезиально-железистыми хромшпинелидами. Исключение из этого представляют хромшпинелиды месторождений Алапаевского, Верхне-Уфалейского и Верблюжьегорского массивов.

Находясь в одном петрографическом подтипе A типа I, хромшпинелиды Алапаевского массива относятся к группе существенно магнезиальных хромшпинелидов, тогда как хромшпинелиды Верхне-Уфалейского и Верблюжьегорского массивов принадлежат к группе магнезиально-железистых хромшпинелидов. Однако если обратить внимание на положение фигуративных точек составов хромшпинелидов по двухвалентным элементам (Mg, Fe++) из этих трех массивов на сводной диаграмме фиг. 3, то нетрудно установить, что фигуративные точки хромшпинелидов располагаются в зоне стыка или зоне перехода полей составов условно выделяемых нами двух групп. Это показывает, что особенности пород петрографического подтипа A типа I имеют как бы собирательные черты других выделяемых нами типов и подтипов и в химическом отношении не проявляют резко выраженных специфических черт.

Если вспомнить, что по химическим особенностям породы различных типов массивов разделяются на две группы (см. стр. 34-36), и если сопоставить их с выделенными двумя группами рудообразующих хромшпинелидов, то мы заметим следующее: хромшпинелиды существенно магнезиального ряда связаны с такими типами и подтипами массивов, породы которых отличаются высоким содержанием Mg (отношение  $\frac{\text{MgO}}{\text{«FeO}} = 10-13$ ) и сравнительно низким содержанием CaO (десятые доли процента). Хромшпинелиды магнезиально-железистого ряда связаны с типами массивов, породы которых характеризуются несколько меньшим содержанием Mg ( $\frac{\text{MgO}}{\text{«FeO}} = 6.7-9.5$ ). Некоторые из дифференциатов содержат значительное количество CaO — от 1.7 до 9.0% мол.

Сопоставим теперь две группы хромшпинелидов с породами, слагающими тот или иной хромитоносный массив по некоторым чертам их химического состава (см. табл. 14). Обращаясь к группе существенно магнезиальных рудообразующих хромшпинелидов, мы видим из диаграммы фиг. 20, что вариации составов этой группы полностью охватываются составами хромшпинелидов двух массивов — Кемпирсайского (Актюбинского и Халиловского. Поэтому, чтобы проследить соотношения, нам вполне достаточно сопоставить химические особенности хромппинелидов и пород только этих двух массивов. Характерной особенностью петрографического состава этих интрузивов, как и других, содержащих существенно магнезиальные хромшпинелиды, является резко выраженная магнезиальность пород. Породы представлены главным образом дунитами и гарцбургитами при подчиненном развитии лерцолитов и полном отсутствии пироксенитов. Габброиды встречаются в подчиненном количестве. В одних случаях габбро являются более древними по отношению к ультрабазитам, в других — более молодыми. Постепенных дифференциационных переходов между ними не установлено.

Как указывалось в главе V, рудные тела с высоко хромистым, мало глиноземистым и мало железистым хромшпинелидом Южной (Донской) группы месторождений Кемпирсайского массива располагаются в огромном, более 140 км², поле дунитов. Последние содержат резко подчиненные количества гарцбургитов. Габбро в этой части массива встречаются только в форме дайковых тел и имеют незначительное развитие.

дну				шие особен ного состан		
по порядну	Название массивов и групп месторожде- ний	Название пород, слагающих массив	Отнопі. мол. %	Отнош. мол. °/•	Отнош. мол. %	Акцессорный хром- шпинелид (минераль. ный вид)
Ħ			MgO	Al <sub>2</sub> O <sub>2</sub>	Al <sub>2</sub> O <sub>3</sub>	
Ż			«FeO»	Cr.O.	CaO	!
		75	40.0			
1	Кемпирсайский (Южная, Дон-	Дуниты	12.0	1.7	1.0	Магнезиальный
	ская группа ме-	Гарцбургиты	10.6	7.0	1.0	алюмохромит
	сторождений)	<b>Лерцолиты (м</b> ало)	9.0	16.0	СаО нет	
2	Халиловский	Гарцбургиты	10.8	4.8	» »	Магнез <b>и</b> альный
	1	Дуниты	10.9	2.3	» *	алюмохромит
		Лерцолиты (оч. мало)		_	-	•
3	Кемпирсайский	Габбро (мало)	_		-	Магнезиальный
	(Северо-Кемпир-	Гарцбургиты	10.1	1.7	1.1	алюмохромит
	сайская группа	Дуниты (мало)	10.0	2.2	2.0	
4	месторождений)	Габбро	_			1_
*	Массивы гор Крака	Лерцолиты	9.2	29.0	0.7	Пикотит, хром- пикотит
		<b>Гарцбургиты</b> Вебстерит	10.5	4.1	1.0	Хромпикотит
		Дуниты Габбро	12.0	3.8	1.0	
5	Верхне-Уфалей- ский	Перидотиты (гарцбургиты, лерцолиты, вер-				Магнезиальный хромит; магнези альный алюмо-
		литы)	10.2	10.0	0.7	XPOMET
		Дуниты	11.0	5.0	СаО нет	
		Пироксениты	8.8	3.3	0.05	}
6	Сарановский	Габбро Гарцбургиты Пойкилитические	10.8	0.4	0.5	
		гарцбургиты	6.8	4.0	СаО нет	
7	Нижне-Тагиль-	Пировоениты	4.7	100	0.04	Магнезиальный
	ский	Дуниты	$\begin{array}{c} 9.2 \\ 5.0 \end{array}$	2.0	0.4	субферриалюмо-
		Верлиты Габбро	5.0	100	0.06	хромит; желези- стый субалюмо- феррихромит
8	Хабарнинский	Дуниты	7.40	3.4	СаО нет	
i		Верлиты	5.5	1.3	0.03	
		Пироксениты Гарцбургиты	7.8 9.4	100 6.6	0.05 0.8	
		Габбро	<del></del> -	_	_	

Примечание. Жирным шрифтом отмечены породы, в полях или полосчатых

	Главнейшие вариании состава хромшпинелидов											
рудообразующий хромшпинелид (ми- неральный вид)	Отношение 	Cr <sub>2</sub> O <sub>2</sub>	Al <sub>2</sub> O <sub>2</sub>	•/, мол. Fe <sub>1</sub> O.	MgO	FeO						
Хромит; магне- зиальный суб- феррихромит	2.0-2.9 cp. 2.5	40,0-42.5	6.6—8.5	1.8-3.5	33.2—37 <b>.2</b>	12.8—16						
	2.1—2.9 cp. 2.5	29.530.0	8.5—19.5	1.0-1.5	34.0—37.3	12.7—16						
Магнезиальный алюмохромит; магнезиальный хромпикотит (	1.7—2.7 cp. 2.2	21.0-28.5	19.5—28.0	1.0-2.0	31.0—37.2	13.8—19						
-	0.9-1.8 cp. 1.3	32.0-40.0	9.5—16.5	0.5—1.5	22.8-33.4	16.627						
Хромит; магне- зиальный алюмо- хромит; магне- зиальный суб- ферриалюмохро- мит	1.0-2.0	30.0-35.5	12.5—17.0	2.0-3.0	25.0—33.2	14.2—25						
Магнезиальный алюмохромит; железистый алюмохромит; железистый хромпикотит; жагнези-котит; жагнези-альный субферриалюмохромит	0.8—1.2 cp. 1.0	28.0-30.5	14.5—20.5	1.5—5.0	21.7-27.8	22.2—29						
Магнезиальный субферрихромит; магнезиальный алюмохромит; железистый субалюмохромит	1	29.0-33.0	7.0-16.0	5.0—10.0	21.3—33.1	16.9—28						
Хромит; желе- зистый хромит; магнезиальный субферрихромит; магнезиальный субферриалюмо- хромит; желези- стый субферри- алюмохромит	0.9-1.82 cp. 1.3	29.5-36.5	8.0—12.0	5.5—7.5	23.8—32.8	17.2—16						

Для группы месторождений, расположенной в северной половине массива, характерны высоко глиноземистые, низко хромистые и мало железистые рудообразующие хромппинелиды и относящиеся главным образом к минеральному виду хромпикотит, т. е. самые глиноземистые.

Месторождения только что указанных хромшпинелидов располагаются среди гарпбургитов, содержащих резко подчиненные шлирово-полосчатые обособления дунитов. Характерно полное отсутствие дифференциатов пироксенитового состава. Габбро в этой половине массива, с одной стороны, присутствует в форме многочисленных дайковых тел. с другой, слагает площадь в несколько десятков квадратных километров, примыкающую к ультрабазитам. Взаимоотношения этих последних с породами габбрового семейства показывают, что габброиды древнее ультраосновных пород (Логинов и др., 1940).

В Кемпирсайском массиве, наряду с охарактеризованными двумя группами месторождений — Северной и Южной, — отстоящими друг от друга на расстояние 70—90 км, существует еще так называемая Степнинская группа месторождений. Эта группа располагается в юго-западной части массива, примерно, на равном расстоянии от Северной и Южной групп. Характерно, что по содержанию хрома и алюминия хромшпинелиды из этих месторождений имеют промежуточный состав. Содержание в них  $Cr_2O_3$  равно 43—48% вес.,  $Al_2O_3$ —22—26% вес. Однако в химическом отношении хромшпинелиды этих месторождений еще мало изучены.

В районе Степнинской группы месторождений развиты также гарцбургиты, но в отличие от северной половины массива полосчатых обособлений дунитов они содержат значительно больше.

Хорошо изученными в химическом отношении являются хромшпинелиды Халиловского массива. На нашей диаграмме составов хромшпинелидов существенно магнезиальной группы многочисленные полные химические анализы халиловских хромшпинелидов располагаются в виде вытянутой полосы фигуративных точек между точками составов хромшпинелидов Северной и Южной (Донской) групп месторождений Кемпирсайского массива. Как указывалось, Халиловский массив в главной своей массе сложен гарцбургитами с весьма заметным количеством обособлений дунитов. Морфология дунитовых тел самая различная: от резко удлиненных шлиров и полос (лент) до округлых и неправильной формы обособлений. Как дуниты, так и гарцбургиты по химическому составу резко магнезиальны. В незначительном количестве присутствуют лерцолиты. Характерно отсутствие каких-либо представителей пироксенитов (за исключением мелких дайковых тел).

Породы габбрового семейства присутствуют в сравнительно малом количестве и отношения их с ультрабазитами не совсем еще точно выяснены. Во всяком случае постепенных переходов от ультрабазитов к габбро констатировано не было.

В химическом отношении, как это указывалось ранее, породы Кемпирсайского и Халиловского массивов, а равно и других, рудные тела которых сложены хромшпинелидами рассматриваемой группы, отличаются высоким отношением (10.0—12.1).

Таким образом, сопоставление составов рудообразующих хромшиинелидов существенно магнезиальной группы с составом пород, среди которых располагаются рудные тела, показывает следующие характерные черты.

1. Богатые хромом и бедные глиноземом, с весьма низким и постоянным количеством трехвалентного железа хромшпинелиды Южной группы месторождений Кемпирсайского массива находятся в огромном поле ду-

нитов. В дунитах встречаются резко подчиненные полосы и линзы гарцбургитов. Дуниты характеризуются отношением  $\frac{\text{MgO}}{\text{«FeO}}$ , равным 12.0;  $\text{Al}_2\text{O}_3$ :  $\text{Cr}_2\text{O}_3 = 1.7$ .

2. Рудообразующие хромипинелиды Халиловского массива, по сравнению с Южнокемпирсайскими, несколько беднее хромом и заметно богаче алюминием при весьма низком и постоянном содержании трехвалентного железа. Месторождения таких хромшпинелидов заключены в массе пород гарцбургитового состава со значительным содержанием дунитов. Для этих пород также характерна высокая магнезиальность, отношение  $\frac{\text{MgO}}{\text{«FeO»}}$  для дунитов равно 10.9, для гарпбургитов — 10.8. Отношение  $\text{Al}_2\text{O}_3$ :  $\text{Cr}_2\text{O}_3$  в дунитах равно 2.3, в гарпбургитах — 4.8; CaO отсутствует.

3. Наиболее глиноземистые рудообразующие хромшиниелиды констатированы в месторождениях северной половины Кемпирсайского массива. Эти месторождения расположены в поле гарцбургитов, причем с последними связаны лишь весьма подчиненные количества дунитов. В химическом отношении гарцбургиты характеризуются высоким отношением  $\frac{\text{MgO}}{\text{«FeO»}}$ , равным 10.5. Отношение  $\frac{\text{Al}_2\text{O}_3}{\text{Cr}_3\text{O}_3} = 2.2 - 2.5$ ;  $\text{Al}_2\text{O}_3$ : CaO = 1.1.

Для районов всех трех групп месторождений характерно отсутствие пироксенитов. Для района первой Донской группы характерно также отсутствие сколько-нибудь заметного количества габброидов. В районах двух последних групп месторождений габброиды слагают круппые дайки, пересекающие ультрабазиты, а также отдельные, сравнительно небольшие интрузивные тела типа штоков.

Сопоставим теперь основные черты химического состава рудообразующих хромшпинелидов магнезиально-железистой группы с составом пород, в которых располагаются их месторождения.

Напомним, что в группе магнезиально-железистых хромшпинелидов повышено содержание двухвалентного железа, отношение  $\frac{\text{MgO}}{\text{«FeO}} = 0.7-1.8$ , тогда как в магнезиальных это отношение колеблется от 1.8 до 2.6. В рассматриваемой группе выделяются две подгруппы по содержанию трехвалентного железа: подгруппа а) хромшпинелиды, в которых  $\text{Fe}^{+++}$  входит в ограниченном количестве (ок. одного атома  $\text{Fe}^{+++}$  из 16 возможных), и подгруппа б) хромшпинелиды, в которых трехвалентное железо содержится в заметных или значительных количествах ( $\text{Fe}^{+++}$  от 1.0 до 4.0 атомов из 16 возможных).

Вариации составов хромшпинелидов многочисленных месторождений Урала, содержащих хромшпинелиды первой подгруппы, как видно на диаграмме фиг. 21, охватываются месторождениями в следующих массивах: Крака I, II и III, Верхне-Уфалейском и Сарановском.

Наиболее высоко хромистые и сравнительно низко глиноземистые хромшпинелиды содержатся в преобладающей части месторождений массива Крака (близкого состава хромшпинелиды составляют месторождения Иткульского массива).

Несколько более глиноземистыми и, в связи с этим, несколько менее высоко хромистыми, чем кракинские хромшпинелиды, являются хромшпинелиды Верхне-Уфалейского массива. Очень близкий к ним состав хромшпинелидов имеет значительное количество месторождений из таких массивов, как Верх-Нейвинский, Верхне-Тагильский и мн. др.

Наиболее низко хромистыми и высоко глиноземистыми в этой группе являются хромиппинелиды Сарановского массива. Очень близки к ним по составу хромипинелиды Шевченковского массива на Южном Урале.

В петрохимическом отношении ультрабазиты массивов гор Крака характеризуются следующими отношениями: в лерцолитах отношение  $\frac{\text{MgO}}{\text{«FeO»}} = 9.20$ , отношение  $\text{Al}_2\text{O}_3: \text{Cr}_2\text{O}_3 = 14.6$  и  $\text{Al}_2\text{O}_3: \text{CaO} = 0.7$ . В гарцбургитах отношение  $\frac{\text{MgO}}{\text{«FeO»}} = 10.5$ ,  $\text{Al}_2\text{O}_3: \text{Cr}_2\text{O}_3 = 4.2$ ,  $\text{Al}_2\text{O}_3: \text{CaO} = 1.0$ .

Хромшпинелиды Верхне-Уфалейского массива, как это было отмечено выше, являются по составу также высоко хромистыми, но содержание  $Al_2O_3$  в них несколько ниже, чем в хромшпинелидах массивов Крака, в связи с чем они занимают на нашей диаграмме промежуточное положение между высоко хромистыми (и мало глиноземистыми) хромшпинелидами Крака и низко хромистыми (и высоко глиноземистыми) хромшпинелидами Сарановского, Певченковского и некоторых других массивов.

Верхне-Уфалейский массив в главной своей массе сложен перидотитами с подчиненным количеством дунитов. Ввиду того что породы подвержены сильным вторичным изменениям, перидотиты весьма трудно расчленяются по петрографическим разновидностям. В пределах массива среди перидотитов установлены гарцбургиты, верлиты и лерцолиты, однако количественные соотношения их еще не ясны.

Перидотиты массива сопровождаются комплексом пород габбро-пироксенитового состава.

Перидотиты Верхне-Уфалейского массива имеют отношение  $\frac{\text{MgO}}{\text{«FeO»}}$  = 10.2; отношение Al<sub>2</sub>O<sub>3</sub>: Cr<sub>2</sub>O<sub>3</sub> = 10.0, Al<sub>2</sub>O<sub>3</sub>: CaO = 0.7.

Дуниты этого массива имеют отношение  $\frac{\text{MgO}}{\text{«FeO»}} = 11.4$ ; отношение  $\text{Al}_2\text{O}_3$ :  $\text{Cr}_2\text{O}_3 = 5.0$ . Окись кальция в дунитах отсутствует. Сопутствующие пироксениты характерзуются отношением  $\frac{\text{MgO}}{\text{«FeO»}} = 8.8$ ;  $\text{Al}_2\text{O}_3$ :  $\text{Cr}_2\text{O}_3 = \frac{\text{MgO}}{\text{«FeO»}} = 3.3$ ,  $\text{Al}_2\text{O}_3$ : CaO = 0.05.

Наиболее глиноземистыми хромшпинелидами в этой подгруппе магнезиально-железистых хромшпинелидов являются хромшпинелиды Сарановского массива. Весьма близки к ним по составу хромшпинелиды из непромышленных по масштабам месторождений Шевченковского массива.

Какие характерные черты имеют названные массивы?

Шевченковский массив сложен лерцолитами с резко подчиненным количеством мелких тел дунитов. В значительном количестве в массиве присутствуют пироксениты диаллагитового состава, среди которых встречены верлиты.

Как известно, Сарановский массив, в котором располагаются весьма крупные по размерам рудные обособления с большими запасами, отличается исключительно незначительными размерами и измеряется десятнами га. Массив сложен гарцбургитами. Непосредственно вмещающие гарцбургиты имеют хорошо выраженную пойкилитическую структуру и по химическому составу заметно отличаются от гарцбургитов, слагающих массив. В массиве известны секущие перидотиты дайковые тела габбро.

Гарцбургиты массива характеризуются отношением  $\frac{\text{MgO}}{\text{«FeO»}} = 10.8;$  отношение  $\text{Al}_2\text{O}_3:\text{Cr}_2\text{O}_3 = 0.4;$  отношение  $\text{Al}_2\text{O}_3:\text{CaO} = 0.5.$ 

Гарцбургиты, вмещающае рудные обособления, имеют отношение  $\frac{\text{MgO}}{4\text{FeO}}$ , равное всего лишь 6.8. Отношение  $\text{Al}_2\text{O}_3$ :  $\text{Cr}_2\text{O}_3 = 4.0$ . Окиси кальция нет.

Рассмотрим вторую подгруппу магнезиально-железистых хромшпинелидов, отличающуюся от первой более значительным содержанием трехвалентного железа. К массивам, содержащим такие хромшпинелиды, относятся Нижне-Тагильский (платиноносный), Хабарнинский, Куликовский и некоторые другпе.

Так как Куликовский массив петрографически плохо изучен, породы его к тому же сильно метаморфизованы, то мы его здесь рассматривать

не будем.

Посмотрим, какие петрографические черты имеют Нижне-Тагильский и Хабарнинский массивы.

Нижне-Тагильский массив представлен значительным количеством пироксенитов (оливиновых диаллагитов) с обособлениями дунитов и верлитов. В тесной генетической связи находятся значительные массы пород габбрового состава и диорита.

В химическом отношении породы Нижне-Тагильского массива характеризуются несколько пониженной магнезиальностью, более повышенной железистостью и высоким содержанием CaO. Отношение  $\frac{\text{MgO}}{\text{«FeO»}}$  для дунитов равно 9.2, отношение  $\text{Al}_2\text{O}_3$ :  $\text{Cr}_2\text{O}_3 = 2.0$ , отношение  $\text{Al}_2\text{O}_3$ : CaO = 0.5. Для верлитов:  $\frac{\text{MgO}}{\text{«FeO»}} = 5.0$ ,  $\text{Al}_2\text{O}_3$ :  $\text{Cr}_2\text{O}_3 = 100$ ,  $\text{Al}_2\text{O}_3$ : CaO = 0.06; для пироксенитов:  $\frac{\text{MgO}}{\text{«FeO»}} = 4.8$ ;  $\text{Al}_2\text{O}_3$ :  $\text{Cr}_2\text{O}_3 = > 100$ ,  $\text{Al}_2\text{O}_3$ : CaO = 0.04.

Хабарнинский массив, рудообразующие хромшпинелиды которого отличаются от хромшпинелидов Нижне-Тагильского массива несколько меньшим содержанием трехвалентного железа, в главной своей массе сложен перидотитами гарцбургитового состава. Однако среди гарцбургитов неизвестны хромитовые месторождения. В этом массиве широко развиты так называемый дунит-верлит-пироксенитовый комплекс, а также породы габбро-норитового и габбрового состава. С обособлениями дунитов и дунит-верлит-пироксенитовым комплексом связаны все хромитовые руды. Таким образом, петрографический состав рудоносных пород весьма близок к таковому Нижне-Тагильского массива, хотя характер распределения пород в массивах резко различен. Отличительной чертой пород Хабарнинского массива от пород Нижне-Тагильского является наличие больших масс гарцбургитов, которые совершенно не характерны для последнего.

В химическом отношении породы Хабарнинского массива мало отличаются от пород Нижне-Тагильского массива и также имеют черты несколько более пониженной магнезиальности и повышенной железистости.

Дуниты, в поля которых заключены месторождения, имеют отношение  $\frac{\text{MgO}}{\text{«FeO}}$  = 7.4; отношение  $\text{Al}_2\text{O}_3$ :  $\text{Cr}_2\text{O}_3$  = 3.4, CaO — нет.

Для верлитов отношение  $\frac{\rm MgO}{\rm ^{4}FeO}$  = 5.5;  $\rm Al_{2}O_{3}$ :  $\rm Cr_{2}O_{3}$  = 1.33;  $\rm Al_{2}O_{3}$ :  $\rm CaO$  = 0.03.

Для пироксенитов отношение  $\frac{\rm MgO}{\rm «FeO»}=7.7;$   $\rm Al_2O_3:Cr_2O_3=100;$   $\rm Al_2O_3:CaO=0.05.$ 

Для гарцбургитов отношение  $\frac{\text{MgO}}{\text{«FeO»}} = 9.4$ , отношение  $\text{Al}_2\text{O}_3$ :  $\text{Cr}_2\text{O}_3 = 6.6$ ;  $\text{Al}_2\text{O}_3$ : CaO = 0.8.

Таким образом, резіомируя все вышеизложенное, кратко можно сказать следующее.

Для массивов, месторождения которых сложены существенно магнезиальными хромшпинелидами, характерна высокая магнезиальность пород.

Высокохромистые и малоглиноземистые хромшпинелиды слагают рудные тела в массивах, для которых характерно широкое развитие дунитов с отношением  $\frac{\text{MgO}}{\text{«FeO»}} = 12.0$ ,  $\text{Al}_2\text{O}_3$ :  $\text{Cr}_2\text{O}_3 = 1.7$  (месторождения Донской группы Кемпирсайского массива).

Хромшпинелиды несколько более глиноземистые, но также с высоким содержанием хрома, слагают рудные тела в массивах, для которых характерно наличие гарцбургитов со значительными обособлениями дунитов.

Отношение  $\frac{\text{MgO}}{\text{«FeO»}}$  в этих породах равно 11.0, отношение  $\text{Al}_2\text{O}_3$ :  $\text{Cr}_2\text{O}_3 = 2.3$  (месторождения Халиловского массива).

Высоко глиноземистые и низко хромистые хромшпинелиды слагают рудные тела в массивах, для которых характерно наличие гарцбургитов с резко подчиненным содержанием дунитов. Отношение  $\frac{\text{MgO}}{\text{«FeO»}}=10.0$ . Al $_2\text{O}_3:\text{Cr}_2\text{O}_3=2.2$  (северная группа месторождений Кемпирсайского массива).

Массивам, месторождения которых сложены магнезиально-железистыми хромшпинелидами, свойственны породы иного петрографического состава. Для пород массивов характерна несколько меньшая магнезиальность и большая их железистость. Отношения  $\frac{\text{MgO}}{\text{«FeO»}}$  колеблются от 4.7 до 10.0. Характерно повышенное содержание CaO в породах. Отношение  $\frac{\text{MgO}}{\text{«FeO»}}$  для дунитов Хабарнинского массива равно 7.4, Нижне-Тагильского — 9.2; гарцбургитов Сарановского массива это отношение равно 6.8 — 10.8, для Хабарнинского — 9.4; для лерцолитов Крака — 9.2 и т. д.

Для месторождений хромшпинелидов этой группы в целом характерны массивы, которые сложены породами лерцолитового, верлитового, пироксенитового (диаллагитового и вебстеритового) и габбрового состава, или вообще породами, более обогащенными кальцием и щелочами.

Для массивов, содержащих месторождения магнезиально-железистых хромшпинелидов с ограниченным содержанием трехвалентного железа, свойственны такие черты: массивы, рудные тела которых слагаются высоко хромистыми хромпіпинелидами (в разобранном нами случае массивы Крака), хорошо дифференцированы, во всей массе состоят из лерцолитов и гарцбургитов со значительным количеством пироксенитов и резко подчиненным количеством дунитов. Присутствуют также породы габбрового семейства. Для пород характерно повышенное содержание кальцийсодержащих минералов — плагиоклаза и моноклинного пироксена, а также паличие некоторого количества щелочей.

Массивам, руды которых сложены несколько более глиноземистыми хромшпинелидами, свойственны в основном те же породы, но в несколько иных количественных соотношениях. В нашем случае был рассмотрен состав пород Верхне-Уфалейского массива, в которых также имеются кальцийсодержащие минералы (верлиты, лерцолиты). Для таких массивов характерно наличие пород пироксенитового и габбрового состава.

Для массивов, месторождения которых сложены высоко глиноземистыми и низко хромистыми хромшпинелидами, относящихся к этой же подгруппе магнезиально-железистого ряда (в нашем случае был разобран Сарановский массив и упоминался Шевченковский массив), характерен несколько отличный от предыдущих случаев состав пород.

Если в Шевченковском массиве еще и сохраняются некоторые черты выше охарактеризованных массивов Крака и Уфалея, а именно в его составе преимущественное положение занимают лерцолиты и диаллагиты, то Сарановский массив очень сближается по составу пород с северной половиной Кемпирсайского массива (гарцбургиты) и сложен только гарцбургитами. Отличительной чертой гарцбургитов Сарановского массива от гарцбургитов северной половины Кемпирсайского массива является их более высокая железистость.

Отношение  $\frac{\text{MgO}}{\text{«FeO.»}}$  в них для рудоносных пород равно 6.8 (в Кемпир-

сайском массиве  $\frac{\text{MgO}}{\text{«FeO»}}=10.0$ ), поэтому сарановские хромшпинелиды по содержанию приближаются к составу хромшпинелидов Северо-Кемпирсайских месторождений, но по содержанию  $\text{Fe^{++}}$  относятся к другой, железисто-магнезиальной группе. Для массивов, содержащих хромшпинелиды со значительным количеством трехвалентного железа, характерна тесная связь рудоносных дунитов с пироксенитами (диаллагитами, оливиновыми диаллагитами), наличие верлитов, а также габбро-норитовых и габбровых пород или габбро-диоритов.

В итоге рассмотрения вопроса о корреляции состава рудообразующих хромшпинелидов с составом пород хромитоносных массивов мы приходим к выводу, что хромиппинелиды унаследуют характерные черты химического состава материнских пород.

# VII. ВОЗМОЖНОЕ ОБЪЯСНЕНИЕ ВАРИАЦИЙ СОСТАВА ХРОМШПИНЕЛИДОВ В СВЯЗИ С ОСОБЕННОСТЯМИ СОСТАВА ПОРОД ХРОМИТОНОСНЫХ ИНТРУЗИВОВ

В предыдущем мы рассмотрели главнейшие общие и особенные черты химического состава рудообразующих и акцессорных хромшпинелидов, петрографический и химический состав пород, а также внутреннее строение ультраосновных массивов Урала. При этом мы установили, что различия в химическом составе рудообразующих хромшпинелидов находятся в зависимости от петрографического и химического состава вмещающих ультрабазитов.

Попытаемся уяснить, каковы природа и причины этой зависимости. В вопросе об условиях образования хромитовых месторождений мы разделяем взгляды А. Г. Бетехтина, П. М. Татаринова, Г. А. Соколова и др., которые приходят к единому представлению об образовании хромитовых месторождений из остаточных рудно-силикатных расплавов ультраосновных магм. Многочисленных фактов в пользу такого взгляда мы здесь не приводим и отсылаем интересующихся к работам названных авторов.

Из фактического материала, приведенного в нашей работе, вытекает одно дополнительное положение по вопросу о генезисе хромитовых месторождений. Оно сводится к тому, что в пределах одного интрузива различные ультраосновные породы, слагающие ту или иную часть интрузива, в процессе кристаллизации, повидимому, формировали свои остаточные рудно-силикатные расплавы, из которых потом могли образовываться хромитовые руды. Примером этого является хотя бы Кемпирсайский (Актюбинский) массив, где хромитовые месторождения в полях дунитов сложены рудами, сильно отличающимися по составу от руд месторождений в гарцбургитах.

В главе «Химический состав рудообразующих хромшпинелидов» приводится достаточное число примеров, подтверждающих это положение.

69

В соответствии с гипотезой академика А. Н. Заварицкого (1941), изложенной им в работе «Некоторые основные вопросы геологии Урада», мы предполагаем, что в начальную стадию эволюции магматического бассейна в нижних придонных его частих обособились значительные по объему массы дунитовой магмы, выше которой расположились массы магмы переходного к перидотитам состава, а в средних и верхних частях магма перидотитового (а в некоторых и более кислого), пироксенитового и габбрового состава. Иными словами, мы предполагаем, что еще в жидком состоянии магма пифференцировалась на ряд зон (или других объемных форм) различного состава.

Существование в магматическом бассейне частных магм различного состава означает неодинаковое распределение в бассейне таких элементов, как Cr, Al, Ca и др. Как показывают химические анализы пород, в зональнодифференцированных массивах Южный Крака, Кемпирсайский и др. содержание хрома постепенно возрастает от верхних пироксенито-перидотитовых зон к нижним гардбургито-дунитовым. Это отчетливо отражается

Сводная таблица фактического мате

			Хим	ическ	ий соста	В В ⁴/•	мол.	Минералогиче- ский состав пород, слагающих зону (объемные про- центы)	
	Петрографи- ческий состав вон	SiO.	MgO	FeO	CaO	Al <sub>2</sub> O <sub>2</sub>	Cr <sub>s</sub> O <sub>s</sub>		
			-			J	. Данные	по южной ч	асти
Верхняя одзона	Лерцолиты	37.95	53.97	6.11	1.11	0.81	0-0.5	Оливин Р. пироксен. М. пироксен. Акцесс. хром- шпинелид	73 15 10 2
Средняя подзона	Гарцбурги- ты	35.75	57.96	5.49	нет (?)	0.70	0.10	Оливин Р. пироксен. Акцесс. хром- шиинелид	83 15 2
Нижияя подзона	Дуниты хром. руды	34.26	60.09	5.00	0.25(?)	0.25	0.15-0.20	Оливин Акцесс. хром- шпинелиды	98

II. Данные по северной час

Гарцбурги- ты	36.35	56.85	5.65	0.45	0.48	0.22	Оливин 83 Р. пироксен 15 Хромшпинелид 2
Дуниты хром.руды	33.57	59.50	6.0	0.25	0.45	0.26	Оливин 98 · Хромшиниелид 2

и на составах акцессорных хромшпинелидов (см. стр. 36—40). Содержание алюминия и кальция, наоборот, убывает с переходом от верхних пироксенитовых и перидотитовых зон к нижним — дунито-гарцбургитовым.

Нам представляется, что распределение «малых» элементов в ультраосновной магме находится в некоторой весьма определенной зависимости от кислотности пород.

Рассмотрим теперь, как можно было бы объяснить различие составов рудообразующих хромшпинелидов из рудных тел, находящихся в различных ультраосновных породах. Будем при этом опираться на некоторые примеры, приведенные в главе «Корреляция хромшпинелидов и вмещающих пород по химическому составу».

Обратимся вначале к материалам Кемпирсайского хромитоносного массива, рудообразующие хромшпинелиды которого охватывают по сути дела всю существенно магнезиальную группу хромшпинелидов. Для удобства все необходимые данные по этому массиву сведены нами в табл. 15.

рвала по Кемпирсайскому массиву

Состав анцессорных хромшивиелидов

Состав анцессорных хромшивиений хромшивиелидов

Состав анцессорных хромшивиелидов

Состав анцессорных хромшивиелидов

Состав анцессорных хромшивиелидов

Состав анцессорных хромшивиелидов

Состав анцессорных хромшивиений хромшивиелидов

Состав анцессорных хромшивиений хромш

## Кемпирсайского массива

Акцессорный хромининелид беден Сг <sub>2</sub> О <sub>3</sub> и богат Al <sub>2</sub> O <sub>3</sub>						
Акцессорный хромшинелид несколько бо- гаче Cr <sub>2</sub> O <sub>3</sub> , чем в верхней зо- не						
Акцессорный хромшпинелид богат Cr <sub>2</sub> O <sub>3</sub>	Оливин 15— 35% Хромшпине- лид 65—85%	40.0—42.5	6.5—8.5	0.5-2.0	13.0-20.0	33.0—37.0

## ти Кемпирсайского массива

1	Содержание $Cr_2O_3 = 40^{\circ}/_{\circ}$ , $Al_2O_3 = 27 - 30^{\circ}/_{\circ}$	Оливин 15— 350/0	21.0—28.5	19.5—27.5	052.0	14.0-20.0	30.0-36.0
	Почти то же, что и в акцес- сорных гарц- бургитах	Хромшии- нелид 65— 850/ <sub>0</sub>					

Таблица 15

В этой таблице приводятся вычисленные химические составы пород по северной и южной частям массива отдельно; петрографический и минералогический составы отдельных зон, различаемых в плутоне; количественные соотношения минералов; краткая характеристика акцессорных хромшпинелидов; качественный и количественный минералогический составы руд и, наконец, вариации состава рудообразующих хромшпинелидов двух различных групп месторождений.

Как уже упоминалось, Кемпирсайский массив представляет собой сложно дифференцированный интрузив, в котором северная половина характеризует верхние части плутона, состоящие главным образом из различных гарцбургитов, южная же часть представляет более глубокие зоны плутона и сложена в значительной своей массе дунитами, в меньшей мере гарцбургитами и лерцолитами.

Так как коренные различия в составе рудообразующих хромшпинелидов из этих двух чэстей интрузива заключаются только в различном содержании  $\mathrm{Cr}_2()_3$  и  $\mathrm{Al}_2\mathrm{O}_3$  (см. табл. 15), то главное наше внимание мы и сосредоточим на этих окислах. Проследим в нашей таблице, как распределяются окислы в вертикальном сечении этих двух различных частей интрузива.

В южной части массива обособляются три петрографические зоны, располагающиеся одна над другой. Лерцолиты, слагающие самую верхнюю зону, содержат  $\mathrm{Al_2O_3} - 0.81\%$ ,  $\mathrm{Cr_2O_3} - 0.05\%$  мол.; гарцбургиты, слагающие вторую зопу, содержат несколько меньше  $\mathrm{Al_2O_3} = 0.70\%$ , но почти в два раза больше  $\mathrm{Cr_2\ O_3}$  (ок. 0.10% мол.); дуниты, слагающие самую нижнюю зону, имеющую широкое развитие и заключающую многочисленные хромитовые месторождения, имеют низкую концентрацию  $\mathrm{Al_2O_3} = 0.25\%$ , но относительно еще более высокое, чем гарцбургиты, содержание  $\mathrm{Cr_2O_3} = 0.15-0.20\%$  мол.

Заметим, что CaO концентрируется главным образом в верхней зоне и почти неизвестен в нижней. Мы видим, что максимум концентрации  $Al_2O_3$  (а также CaO и некоторых других окислов) соответствует по положению в массиве минимальному содержанию  $Cr_2O_3$  и, наоборот, последний максимально сконцентрировался в нижней зоне. Итак, в остаточном рудносиликатном расплаве продуктивной дунитовой зоны мы вправе предполагать наличие высоких концентраций  $Cr_2O_3$  и значительно меньших концентраций  $Al_2O_3$  в сравнении с остаточными расплавами двух других зон.

И в действительности рудообразующие хромшпинелиды Южной (Донской) группы месторождений отличаются высоким содержанием  $Cr_2O_3$  (40.0—42.5% мол.) и низким содержанием  $Al_2O_3$  (6.5—8.5% мол.).

Высокое содержание глинозема (24.5 % мол.) в экцессорных хромшпинелидах дунитов этой группы месторождений мы объясняем высокой магнезиальностью самих дунитов (  $\frac{\text{MgO}}{\text{«FeO»}} = 12.0$ ). При изучении пределов изоморфизма в хромшпинелидах было установлено, что с увеличением содержания магния в хромшпинелиде возрастает содержание алюминия. Нам представляется, что на какой-то стадии формирования дунитов часть алюминия, вследствие почти полного отсутствия кальция, активно связывается с магнием в решетку хромшпинелида. При понижении отношения  $\frac{\text{MgO}}{\text{«FeO»}}$  выступает более активная связь магния с хромом. Причина большего «сродства» магния с алюминием, чем с хромом, при высоких концентрациях магния нам еще не ясна.

В северной половине массива, сложенной в доступных наблюдению частях в основном гарцбургитами, мы не наблюдаем такой дифференцированности на обособленные участки или зоны различного петрогра-

фического и химического состава, как в южной части массива. Степень дифференцированности этой части значительно слабее. Если и выделяются две зоны, то они различаются лишь текстурными разновидностями гарцбургитов и некоторым незначительным увеличением шлировых обособлений дунитов в нижней подзоне. Сравнивая содержание  $\mathrm{Cr}_2\mathrm{O}_3$  и  $\mathrm{Al}_2\mathrm{O}_3$  в ультрабазитах этой части массива, т. е. в гарцбургитах и шлировообособленных дунитах, мы находим, что существенных различий в содержании этих окислов здесь не наблюдается. Так, в гарцбургитах содержание  $\mathrm{Al}_2\mathrm{O}_3 = 0.48$ ,  $\mathrm{Cr}_2\mathrm{O}_3 = 0.22$ % мол.; в дунитах из шлировых обособлений  $\mathrm{Al}_2\mathrm{O}_3 = 0.45$ ,  $\mathrm{Cr}_2\mathrm{O}_3 = 0.26$ % мол.

Таким образом, в породах этой части массива резкого разделения  $Al_2O_3$  и  $Cr_2O_3$  в обособленные зоны или участки не произошло. Другое отношение  $Al_2O_3$  к  $Cr_2O_3$  в гардбургитах северной половины массива, в сравнении с отношением их в дунитах южной части, может быть объяснено различием в основности частных магм, а также тем, что частная магма «гардбургитового» состава на севере массива находилась в некотором относительном равновесии с частной магмой «габбрового» состава, тогда как частная магма «дунитового» состава на юге массива была изолирована от габброидной магмы весьма мощным слоем (зоной) перидотитовой магмы. Вследствие этого такие компоненты, как алюминий и другие, условно выражаемые здесь как  $Al_2O_3$ ,  $Cr_2O_3$  и т. д., должны входить в частные магмы в различных количествах в первом и втором случаях.

Кристаллизации магмы с более высоким  $Al_2O_3$ :  $Cr_2O_3$  (равным 4.8), чем в южной части массива (где это отношение равно 1.7) отношением привела к образованию рудно-силикатного остаточного расплава несколько иного состава, т. е. более богатого глиноземом. Однако здесь необходимо учесть еще одно весьма важное обстоятельство. В этап главной фазы кристаллизации повышенное содержание Al,O3 могло бы быть значительно израсходовано на формирование моноклинных пироксенов, как это имело место в верхней зоне южной части массива, где формировались лерцолиты, и тогда Al<sub>2</sub>O<sub>3</sub> в остаточный рудно-силикатный расплав до ходил бы в значительно меньшем количестве, а Cr<sub>2</sub>O<sub>3</sub>, как не расходующийся на построение главных породообразующих минералов, заметно накапливался бы в остаточном расплаве. Однако, как это будет видно из разбора материалов по Кракинскому массиву, Al2O3 не мог расходоваться в значительных количествах в этапы главной кристаллизации по той причине, что для его связи и вхождения в состав метасиликатов недостаточно было содержания СаО. Содержание 0.25 СаО не могло обусловить образование сколько-нибудь заметных количеств моноклинного пироксена (или амфиболов), в которые, как известно, входит до 3-4% Al<sub>2</sub>O<sub>3</sub>. И действительно, в породах этой части мы встречаем эти минералы только спорадически. Для образования пород лерцолитового состава с содержанием моноклинного пироксена до 10-12% необходимо значительно больше СаО. Действительно, в лерцолитах южной части Кемпирсайского массива содержание СаО достигает 1.2% мол.; в лерцолитах массива Крака этот окисел содержится в количествах до 2.20% мол.

Таким образом, различная степень дифференцированности отдельных частей Кемпирсайского плутона обусловила различную степень вхождения в породы интрузива таких окислов, как  $Al_2O_3$ ,  $Cr_2O_3$  и CaO. Это, в свою очередь, повидимому, явилось причиной того, что в различных петрографических зонах массива образовались заметно различного состава остаточные рудно-силикатные расплавы. В нижней зоне, содержащей крупные хромитовые месторождения, остаточные расплавы были сильно обогащены  $Cr_2O_3$  и их кристаллизация дала богатые по содержанию этого окисла хромшпинелиды; в верхней зоне, наоборот, формируются

руды, хромшпинелид которых обладает менее высоким содержанием

Cr<sub>2</sub>O<sub>3</sub> и обогащен Al<sub>2</sub>O<sub>3</sub>.

Рассмотрим связь состава рудообразующего хромшпинелида с вмещающими породами на примере массива Южный Крака. Как было отмечено выше, рудообразующие хромшпинелиды массива относятся к группе магнезиально-железистых хромшпинелидов с ограниченным содержанием Fe+++ (т. е. к подгруппе а).

Нашими работами (Логинов и др., 1940) установлено зональное строение массива. Верхние периферические зоны массива сложены пироксенитами вебстеритового состава, мощность которых по отдельным сохранившимся выходам около 45—50 м.

Ниже под пироксенитами залегает мощная, до 250 м, зона перидотитов лерпролитового состава. Под этой зоной, с видимой мощностью до 150—200 м, залегают перидотиты гарцбургитового состава, которые содержат в себе удлиненные шлиры и полосы дунитов.

Все промышленные хромитовые месторождения располагаются как в зоне лерцолитов, так и в зоне гарцбургитов. Если проследить, как распределились в указанных зонах главнейшие окислы, то замечается, что верхняя пироксенито-лерцолитовая зона в сравнении с нижней дунитогарцбургитовой, обогащена окислами  $SiO_2$ ,  $Al_2O_3$  и CaO и, наоборот, имеет более низкое содержание таких окислов, как  $Cr_2O_3$  и MgO. Содержание «FeO» существенных изменений не претерпевает.

Приведем конкретные цифры.

	SiO,	Al <sub>2</sub> O <sub>3</sub>	Cr <sub>1</sub> O <sub>2</sub>	MgO	FeO	СаО % мол.
Состав лерцолитовой (верхней) воны	38.00	1.46	0.05	52.67	5.7 <b>1</b>	2.11
Состав гарцбургитовой (нижней) зоны	37.45	0.50	0.12	56.09	5.34	0.50

Между верхней и нижней зонами имеются постепенные переходы; содержание окислов в породах промежуточной зоны является также промежуточным. Рассматривая состав минералов, последовательно выделяющихся при кристаллизации пород как верхней зоны — вебстеритов и лерцолитов, так и нижней гарцбургитовой, мы убеждаемся, что к поздним этапам кристаллизации в магматическом расплаве накапливаются такие компоненты (условно выражаемые нами посредством окислов), как SiO<sub>2</sub>, CaO, Al<sub>2</sub>O<sub>3</sub> и некоторое количество Cr<sub>2</sub>O<sub>3</sub>.

В случае формирования пород лерцолитового состава, после выделения главной массы оливина, интерстициальная жидкость изменила свой состав: концентрация SiO<sub>2</sub>, Al<sub>2</sub>O<sub>3</sub>, CaO, Cr<sub>2</sub>O<sub>3</sub> и др. повысилась. Соответственно концентрация MgO несколько уменьшилась. После выделения ромбического пироксена состав жидкой фазы вновь изменился; содержание SiO<sub>2</sub>, CaO, Al<sub>2</sub>O<sub>3</sub>, Cr<sub>2</sub>O<sub>3</sub> и некоторых других окислов в интерстициальной жидкости еще повысилось. Содержание MgO еще несколько уменьшилось. После образования моноклинного пироксена с выпадением в твердую фазу CaO и значительной части Al<sub>2</sub>O<sub>3</sub> остаточная жидкость резко обеднилась SiO<sub>2</sub>, MgO, CaO и потеряла значительную часть Al<sub>2</sub>O<sub>3</sub>. Интерстициальная жидкость к этому позднему этапу кристаллизации резко обогатилась Cr<sub>2</sub>O<sub>3</sub>, Fe<sup>++</sup>, Fe<sup>+++</sup>; в ее состав также вошли неизрасходованный Al<sub>2</sub>O<sub>3</sub>, некоторое количество MgO и SiO<sub>2</sub> и какие-то количества летучих (H<sub>2</sub>O и др.). Такой состав и фиксируется в наших породах в самые поздние этапы их формирования в виде акцессорного хромшпинелида, оливина и пироксенов

поздней генерации. Общий состав эгих минералов, представляющих предрудную стадию кристаллизации перидотитов, аналогичен составу рудных обособлений, если в них включить как рудные тела, так и сопутствующие им дуниты с шлирами перидотитов (гарцбургитов). Однако рудообразующий расплав содержит больше растворенных летучих, чем та интерстициальная жидкость, из которой, как мы предполагаем, он сформировался.

Механизм обособления и локализации такого расплава из междузернового пространства нам еще не ясен, однако это обособление, вероятно, обусловлено теми же причинами, что и обособление полос и шлиров дунитов в перидотитах многих массивов Урала и других регионов.

Порядок выпеления минералов в гарцбургитах показывает, что в поздние этапы их кристаллизации накапливаются те же окислы, что и в верхней зоне:  $SiO_2$ ,  $CaO_3$ ,  $Al_2O_3$  и  $Cr_2O_3$ ; концентрация  $Cr_2O_3$  в интерстициальном расплаве повышается несколько больше, чем в случае верхней зоны. Это подтверждается тем, что акцессорный хромшпинелид гарцбургитов, выделяющийся позже оливина и пироксенов, содержит Cr.O. до 48% при содержании  $Al_2O_3 = 15-18\%$  (против состава акцессорных хромшпинелидов лерцолитов, в которых Ст2О3 содержится от 22 до 38%, Аl2О3-28—38%). Невысокое содержание Al<sub>2</sub>O<sub>3</sub> (11—16%) в рудообразующих хромшпинелидах массива Крака может объясняться тем, что этот окисел в значительных количествах израсходован в поздние этапы главной фазы кристаллизации на образование моноклинного пироксена, так как содержание СаО в породах было значительным (2.11-0.50% СаО на содержание  $Al_2O_3 = 1.46 - 0.50\%$ ). Если мы вспомним соотношения СаО и  $Al_2O_3$  в верхней зоне Кемпирсайского массива, где на 0.25-0.45% CaO приходилось 0.45-0.48% АІ2О3, то станет очевидным, что в Кракинских массивах значительная часть А12О3 была израсходована в этапы протокристаллизации и в остаточный рудно-силикатный расплав доходила только меньшая часть первоначального содержания Al<sub>2</sub>O<sub>3</sub> в магматическом расплаве.

Действительно, в гарцбургитах массива Южный Крака мы очень часто встречаем содержание моноклинного пироксена (диопсид-диаллага) до 3—4%, а иногда и несколько больше.

Повышенным содержанием CaO (и некоторого количества щелочей) в исходной магме Кракинского массива мы объясняем тот факт, что рудообразующие хромшинелиды не имеют резко вырьирующих составов по содержанию  $\mathrm{Cr_2O_3}$  и  $\mathrm{Al_2O_3}$ . Иными словами, если алюминий в составе исходных магм, формирующих плутоны ультрабазитов, находится в избытке по отношению к кальцию и щелочам и не может быть полностью связан ими в алюмосиликаты протокристаллизации (моноклинный пироксен, плагиоклаз и др.), то остаточные рудно-силикатные расплавы богаты алюминием, в связи с чем рудообразующие хромшпинелиды высоко глиноземисты и низко хромисты.

На примере Кракинских массивов мы видели, что содержание CaO в пироксенитах, лерцолитах и даже в гарцбургитах было достаточным, чтобы связать значительные количества алюминия в силикаты и тем самым ограничить возможность его вхождения в состав рудообразующих хромшпинелидов.

<sup>&</sup>lt;sup>9</sup> В этой связи уместно отметить весьма интересные факты, установленные нами на материалах перидотитового массива Крака и опубликованные в работе «Геолого-химические исследования массива Южный Крака» (Соколов, 1937). Лерцолиты массива Южный Крака имеют два семейства оливинов: 1-е содержит  $Fe_2SiO_4$ —14—15%, 2-е — 6—9%  $Fe_2SiO_4$ . Оливин околорудных дунитов содержит более железистую разновидность с содержанием  $Fe_2SiO_4$ —14—15%.

лезистой группе, по нашим данным, [содержат несколько больше двухвалентного железа (MgO: FeO = 1.0-1.3), чем существенно магнезиальные (где MgO: FeO = 1.8-2.5). Мы связываем это с тем, что, во-первых, в составе пород массива находятся пироксениты (вебстериты), в которых отношение  $\frac{\text{MgO}}{\text{«FeO»}} = 6-8$ , и, во-вторых, что материнские породы — лерцолиты—имеют отношение  $\frac{\text{MgO}}{\text{«FeO»}} = 9.2$ , т. е. породы массива относятся

Хромшпинелиды массивов Крака, относящиеся к магнезиально-же-

Рассмотрим также пример рудообразующих хромшпинелидов, относящихся к магнезиально-железистой группе с повышенным содержанием трехвалентного железа (подгруппа «б»). Наиболее показательны в этом отношении материалы по Хабарнинскому хромитоносному массиву.

к магнезиально-железистым, а не к магнезиальным.

Как уже отмечалось в разделе «Корреляции хромшпинелидов и пород по составу» (см. табл. 14), рудообразующие хромшпинелиды этого массива отличаются повышеной железистостью, отношение  $\frac{\text{MgO}}{\text{«FeO}}$  колеблется от 0.9 до 1.8; содержание  $\text{Fe}_2\text{O}_3 = 5.5-7.5\,\%$  мол. Хромшпинелиды отличаются сравнительно высоким содержанием  $\text{Cr}_2\text{O}_3$ , равным 30—37% мол., и относительно низким содержанием  $\text{Al}_2\text{O}_3 - 8-13\,\%$  мол. Рудные обособления, как указывалось там же, залегают в дунитах, которые находятся в тесной пространственной и генетической связи с пироксенитами (диаллагитами) и верлитами. Морфологически породы представлены в виде псевдослоистого комплекса с постепенными переходами от пироксенитов через полосы и узкие шлиры верлитов к обособлениям дунитов. Посмотрим, каков химический облик этих пород.

Пироксениты — отношение  $\frac{\text{MgO}}{\text{«FeO»}} = 7.8$ ;отношение  $\text{Al}_2\text{O}_3: \text{Cr}_2\text{O}_3 = 100.0$ ;  $\text{Al}_2\text{O}_3: \text{CaO} = 0.05$ .

Верлиты—отношение  $\frac{\text{MgO}}{\text{«FeO»}} = 5.5$ , Al<sub>2</sub>O<sub>3</sub>: Cr<sub>2</sub>O<sub>3</sub> =1.3; Al<sub>2</sub>O<sub>3</sub>: CaO =0.03.

Дуниты — отношение MgO : «FeO» = 7.4, [Al<sub>2</sub>O<sub>3</sub> : Cr<sub>2</sub>O<sub>3</sub> = 3.4; CaO — нет.

Из этих данных мы видим, что породы отличаются повышенной железистостью (MgO : «FeO» = 5.5—7.4—7.8) и резким преобладанием CaO над  $\mathrm{Al_2O_3}$  (отношение  $\mathrm{Al_2O_3}$ : CaO = 0.03—0.05 в верлитах и пироксенитах).

В соответствии с разбором связи состава хромшпинелидов с составом пород, сделанным по массивам Крака, мы вправе ожидать, что резкое преобладание CaO над  $Al_2O_3$  в породах должно отразиться на составе рудообразующих хромшпинелидов. Такке хромшпинелиды будут отличаться низким содержанием глинозема и высоким окиси хрома.

И действительно, рудообразующие хромшпинелиды отличаются низким содержанием глинозема (8—13%  ${\rm Al_2O_3}$  на 50% возможных), т. е. на формирование пород пироксепитового и верлитового состава в Хабарнинском массиве было израсхоловано значительное количество  ${\rm Al_2O_3}$  для образования моноклинного пироксена.

Высокое содержание двухвалентного железа в хромшпинелидах Хабарнинского массива унаследовано от материнских пород, так как дуниты, верлиты и пироксениты имеют соответственно отношение MgO: «FeO» =7.4, 5.5 и 7.8 против более магнезиальных пород других массивов (например массивов Кемпирсайского, Халиловского, где это отношение для дунитов и гарцбургитов равно 12.0—11.0—10.0).

Касаясь вопроса более высокого содержания трехвалентного железа (5-10% мол. против обычного 1-2%) в хромшпинелидах этой подгруппы (куда входят хабарнинские и нижнетагильские рудообразующие хромшпинелиды), укажем на следующие характерные особенности. При изучении пределов изоморфизма в хромшпинелидах (см. специальный раздел нашей работы, стр. 12) было установлено, что с повышением содержания FeO в хромшпинелидах возрастает содержание  $\text{Fe}_2\text{O}_3$ . Хромшпинелиды Хабарнинского и Нижне-Тагильского массивов, а также хромшпинелиды Сарановского массива отличаются от других именно высоким содержанием FeO — 17.0-28.3% мол. против существенно магнезиальных, где FeO=12.8-19.0.

Если обратиться к рассмотрению материалов по таким хромитоносным массивам, как Верблюжьегорский, Татищевский, Успенский, Сарановский и другие, для месторождений которых характерны так называемые среднел низкосортные руды с относительно высоким или повышенным содержанием  $\mathrm{Al}_2\mathrm{O}_3$  (до 20-25%) в рудообразующем хромшпинелиде, то для них характерны следующие черты:

- а) слабая дифференцированность этих плутонов на зоны, т.е. в этих плутонах нет или выражено очень слабо зональное распределение ультраосновных пород; в этих массивах не наблюдаются обособленные крупные участки ультраосновных пород различного пэтрографического состава;
- б) эти массивы по составу являются перидотитовыми, однако, в них отсутствуют в сколько-нибудь заметном количестве породы, содержащие метасиликаты кальция (пироксены, амфиболы, первичные или псевдоморфозные по моноклинным пироксенам).

Эти массивы сложены преимущественно гарцбургитами. Породы, в состве которых принимают участие моноклинные (кальцийсодержащие) пироксены — вебстериты, диаллагиты, лерцолиты и верлиты, не харак-

терны и в большинстве этих массивов отсутствуют.

Иными словами, в этих массивах, во-первых, не наблюдается резкой дифференциации магмы, образовавшей эти интрузивы, а, во-вторых, для магм этих массивов характерна низкая концентрация CaO. Такие особенности и могли привести к тому, что остаточные рудно-силикатные расплавы, из которых формировались хромитовые руды, обогащались и глиноземом.

Такие массивы, как Хабарнинский, Халиловский, Ключевский, Иткульский, Аккаргинский, Нижне-Тагильский, Тагило-Невьянский и многие другие хромитоносные массивы, наоборот, являются примером хорошо дифференцированных ультраосновных плутонов. В этих плутонах мы знаем хорошо обособленные зоны или крупные поля (участки), сложенные различными ультраосновными породами. Для большинства этих плутонов известно то или иное (часто большое) количество пород, содержащих метасиликаты кальция (различные пироксениты, лерцолиты, верлиты и др.). Рудообразующие хромшпинелиды в этих массивах, как правило, отличаются высоким содержанием Cr<sub>2</sub>O<sub>3</sub> и сравнительно низким содержанием Al<sub>2</sub>O<sub>3</sub>. Все вариации составов рудообразующих хромшпинелидов этих массивов по содержанию в них Cr<sub>2</sub>O<sub>3</sub> зависят от концентрации и соотношения компонентов как CaO, Al<sub>2</sub>O<sub>3</sub> и Cr<sub>2</sub>O<sub>3</sub> в магмах плутонов или, точнее, в магмах той или иной зоны формирующих хромитовых месторождений. Проведенный нами анализ на примерах массивов Крака, Кемпирсайского и Хабарнинского массивов вполне приложим для разбора связи и состава рудообразующих хромшпинелидов с составом вмещающих пород и для других хромитоносных плутонов.

Что же касается объяснения того факта, что рудообразующие хромшпинелиды по соотношению MgO и FeO делятся на две группы — названные нами существенно магнезиальными и магнезиально-железистыми, то нам представляется, что причину этого надо искать в различном соотношении этих окислов в составе исходных магм. Дело в том, что эти две группы рудообразующих хромшпинелидов не присутствуют одновременно в одном хромитоносном массиве. В каждом данном массиве рудообразующие хромшпинелиды всех месторождений характеризуются близким отношением MgO: FeO.

Петрографический и химический состав интрузивов, несущих магнезиально-железистые хромшпинелиды, отличается от интрузивов, несущих магнезиальные хромшпинелиды.

Это отличие заключается главным образом в том, что для пород массивов, несущих магнезиально-железистые хромшпинелиды, характерно несколько пониженное отношение  $\frac{\text{MgO}}{\text{«FeO»}}$ , равное 5.5—9.3, тогда как в породах массивов, содержащих существенно магнезиальные хромшпинелиды, это отношение = 10-12.5.

В заключение необходимо остановиться на вопросе взаимоотношений рудных обособлений с вмещающими породами.

С точки зрения темы данной работы, существенный интерес представляют взгляды, развитые в последнее время Г. А. Соколовым в работе «Хромиты Урала» (1948 г.).

Названным исследователем выделяются по месту их формирования две резко различные группы хромитовых месторождений в типе гистеромагматических месторождений генетической классификации проф. А. Г. Бетехтина (1937). Г. А. Соколов различает месторождения хромитов, формирование которых обязано выделению остаточного рудно-силикатного расплава в результате кристаллизации магмы непосредственно вмещающих пород — такие месторождения он называет автомагматическими. Эти месторождения образуются или непосредственно на месте обособления рудно-силикатного остаточного расплава или несколько перемежаются внутри такой зоны пород, но не выходят за пределы этой зоны в породы иного состава.

Вторая группа месторождений, по Г. А. Соколову, обязана своим образованием рудно-силикатным остаточным расплавам, обособившимся из кристаллизующейся магмы более глубоких зон интрузива, которые (остаточные расплавы) затем какими-либо силами перемещены с этих глубин в верхние его зоны иного петрографического состава. Для этой группы месторождений непосредственно вмещающие породы не являются собственно материнскими. Такие месторождения названы Соколовым гетеромагматическими. Далее он указывает, что преобладающее количество месторождений относится к первой группе — автомагматических и только некоторые (месторождения массива Северной Крака, Верблюжьегорского, некоторые месторождения Верхне-Уфалейского массива и др.) принадлежат к группе гетеромагматических.

Предлагаемое нами объяснение, как и все рассмотрение вопроса зависимости состава рудообразующих хромшпинелидов от особенностей состава пород хромитоносных интрузий, в свете представлений Г. А. Соколова, естественно, должно относиться только к месторождениям автомагматической группы. В связи с этим автор настоящей работы желал бы сделать несколько замечаний в отношении гетеромагматической группы месторождений. Для этой цели обратимся к рассмотрению того, что послужило основанием Г. А. Соколову для выделения этой группы месторождений.

На стр. 228—229 своей работы этот автор указывает, что основным критерием для выделения месторождений в группу гетеромагматических является: различие в химических составах акцессорного хромшпинелида вмещающих пород и рудообразующего хромшпинелида из рудного тела,

при явно выраженном эпигенетическом характере последнего, т. е. рудного тела.

Касаясь различия составов акцессорного и рудообразующего хромшпинелидов, отметим, что, к сожалению, Г. А. Соколов ни в одном месте своей работы не показывает различия в их составах для месторождений гетеромагматической группы. Особенно важно то, что он не сопоставляет составов акцессорных и рудообразующих хромшпинелидов из месторождений, относящихся к авто- и гетеромагматическим группам. Автор отмечает при этом лишь трудности в таком сопоставлении их составов, вследствие сильной метаморфизованности акцессорных хромшпинелидов. Что же касается эпигенетичности месторождения, то и здесь не дается совершенно ясных их признаков. Можно лишь предполагать, что Г. А. Соколов относит к эпигенетичным месторождениям такие, которые обладают жилоподобной формой рудных тел и резкими их контактами с вмещающими породами.

В нашей работе, в главе III, было проведено сопоставление акцессорных и рудообразующих хромшпинелидов, где было показано, что акцессорные хромшинелиды непосредственно вмещающих пород вообще в той или иной мере отличаются от рудообразующих хромшпинелидов рудного тела месторождения. Фактическим материалом для установления этих различий частично послужили анализы хромшпинелидов из месторождений, которые Г. А. Соколов относит к автомагматической группе это месторождения Халиловского и Южно-Кракинского массивов, а также месторождения Северо-Кемпирсайской группы Актюбинского массива. Таким образом, наши выводы по этому вопросу находятся в противоречии с утверждениями Г. А. Соколова о том, что только гетеромагматической группе месторождений свойственны различия в составах рудообразующих и акцессорных хромшпинелидов. Нам представляется, что различие в составах рудообразующего и акцессорного хромшпинелидов вообще должно существовать, так как их образование связано с различными этапами кристаллизующейся магмы, даже в случае автомагматических месторождений. Поэтому мы думаем, что различие в составах хромшпинелидов акцессорного и рудного не может являться показателем того, что рудные обособления поступали из других зон интрузива в зоны пород иного состава.

Рассмотрим теперь признаки эпигенетических хромитовых месторождений — жилоподобную и жилообразную форму рудных тел и резкость контакта рудного тела с вмещающими породами.

Жилоподобная или жилообразная форма хромитового рудного тела еще не есть жильная. Такие формы обозначают лишь общую морфологию рудного тела без указания на то, что рудное вещество выполняло полость или расслабленную зону и что это вещество поступало с каких-то глубин. Необходимо подчеркнуть, что жилоподобные и жилообразные формы рудных тел не менее, а часто более характерны именно для автомагматических хромитовых месторождений. Можно было бы привести большое количество примеров. Что представляют собой жилоподобные и жилообразные тела хромитовых месторождений? Прежде всего это резко удлиненные обособления с соотношением поперечника к длине от 1:10 до 1:100 и более, часто с постепенным выклиниванием тела в оба конца по простиранию. По падению такие тела обычно прослеживаются на половину и более их длины.

По условиям залегания весьма характерно, что рудные тела согласны или с полосчатостью вмещающих пород или с шлирово-полосчатыми и псевдослоистыми обособлениями отдельных дифференциатов ультрабазитов или, наконец, с общим простиранием массива в целом. Следовательно,

по морфологии жилоподобные и жилообразные хромитовые рудные тела представляют резко уплощенные линзоподобные или шлироподобные тела, очень сходные с такими же обособлениями дунитов в различных перидотитах. Весьма важными, на наш взгляд, при установлении эпигенетичности рудного тела хромитового месторождения являются контакты его с вмещающими породами. Совершенно резкие контакты с боковыми породами, по нашему мнению, могут указывать на наличие инъекции рудного вещества. Однако в приводимых Г. А. Соколовым примерах гетеромагматических месторождений, например в месторождениях Верблюжьегорского массива, рудные тела, наряду с совершенно резкими контактами с вмещающими породами, имеют и такие, которые сопровождаются серией различной густоты вкрапленников. Указанное сочетание контактов в пределах одного рудного тела резко осложняет решение вопроса об эпигенетичности месторождения.

На основании всего сказанного мы считаем, что выделение гетеромагматических хромитовых месторождений еще недостаточно обосновано и требует дополнительных исследований.

Наше изучение особенностей состава рудообразующих хромшпинелидов в зависимости от нахождения рудных обособлений в породах различного петрографического состава того или иного массива показало, что хромшпинелиды унаследуют специфические особенности пород, среди которых они находятся. Поэтому мы полностью разделяем взгляд А. Г. Бетехтина (1937), что «не следует преувеличивать подвижной способности рудных расплавов. Хромитовые тела в основном возникли на месте или вблизи места распада хромовых соединений».

#### выводы и заключение

В настоящей работе, на основе многолетних наблюдений автора, трудов и материалов сотрудников Хромитовой группы Института геологических наук АН СССР, а также материалов других исследователей, рассмотрены вопросы, относящиеся к составам рудообразующих и акцессорных хромшпинелидов и к связи их составов с составом пород ультра-основных массивов Урала.

В результате исследований получены следующие основные выводы.

- 1. Статистическое рассмотрение химических составов природных (земных) хромшинелидов, по данным около 250 полных анализов, показало широкие колебания в содержании главных шпинелеобразующих элементов (Сг, Аl, Fe+++, Mg, Fe++). Графически установлены пределы изоморфизма хромшпинелидов по двухвалентным металлам и подтверждены данные Г. А. Соколова об ограничениях изоморфизма по трехвалентным металлам. Установление пределов изоморфизма позволило уточнить существующие классификации природных хромшпинелидов. Выявлены зависимости между содержанием двухвалентных элементов и соотношениями трехвалентных, а именно: максимальное содержание магния в хромшпинелиде связано с наибольшим количеством в нем алюминия. Содержание магния уменьшается, а двухвалентного железа возрастает в хромшпинелидах, богатых хромом. Резко понижается содержание магния и повышается двухвалентное железо в хромшпинелидах, богатых трехвалентным железом и бедных алюминием и хромом.
- 2. Ультраосновные интрузивы Урала неоднородны и неодинаковы как по петрографическому составу, так и по внутреннему строению.

По количественным соотношениям разновидностей пород в том или ином массиве выделяется несколько типов интрузивов.

I. Существенно перидотитовые (гарцбургитовые, гарцбургито-лерцолитовые, лерцолитовые).

- II. Дунито-перидотитовые (дунито-гарцбургитовые, дунито-гарцбургито-лерцолитовые).
- III. Дунито-пироксенитовые (дунито-верлито-пироксенито-габбровые). IV. Перидотито-пироксенитовые (гардбургито-пироксенитовые, лердолито-пироксенитовые) и др.

По особенностям химического состава пород ультраосновные интрузивы Урала разделяются на две группы. Породы первой группы интрузивов отличаются высокой магнезиальностью, что видно из отношения  $\frac{\text{MgO}}{\text{«FeO}»} = 10-12.5$ ; содержание CaO в них незначительное.

Породы второй группы интрузивов характеризуются значительно меньшей магнезиальностью; отношение  $\frac{\text{MgO}}{\text{«FeO»}} = 4.7 - 9.8$ . Содержание CaO, Al<sub>2</sub>O<sub>3</sub> и др. в породах значительно более высокое.

По внутреннему строению среди ультраосновных интрузивов Урала можно выделить три группы: зонально-дифференцированные — с более кислыми разностями в верхних частях интрузивов и с более основными (дунито-гардбургиты) в средних и нижних частях; сложно дифференцированные без видимой закономерности в распределении различных разновидностей и слабо-дифференцированные интрузивы.

3. Состав акцессорных хромшпинелидов из различных петрографических типов ультраосновных пород, по данным 22 полных химических анализов, показывает специфические особенности для каждой породы. Четко устанавливается ряд хромшпинелидов, находящийся в зависимости от кислотности пород. Акцессорные хромшпинелиды дунитов отличаются максимально высоким содержанием хрома и минимальным алюминия; они несколько менее магнезиальны и более железисты по сравнению с хромшпинелидами из перидотитов.

Акцессорные хромшпинелиды гарцбургитов и верлитов содержат несколько больше алюминия и меньше хрома по сравнению с хромшпинелидами из дунитов. Вместе с тем в них повышается содержание магния и несколько уменьшается содержание двухвалентного железа. Акцессорные хромшпинелиды лерцолитов показывают наименьшее содержание хрома, и такие хромшпинелиды богаты алюминием. Содержание магния в них значительно выше, чем у акцессорных хромшпинелидов из дунитов, гурцбургитов и верлитов.

4. Сопоставление составов рудообразующего хромшпинелида и акцессорного хромшпинелида из непосредственно вмещающей рудное тело породы показало следующие отношения.

Рудообразующие хромшпинелиды по сравнению с акцессорными содержат больше хрома и магния и меньше алюминия и двухвалентного железа. По содержанию трехвалентного железа, вследствие ограниченного количества его в составе как тех, так и других хромшпинелидов, существенных различий не устаналивается. Только для хромшпинелидов с высоким содержанием трехвалентного железа установлено, что рудообразующие хромшпинелиды содержат больше Fe+++ по сравнению с акцессорными.

Такого же характера различие, но более резко проявленное, показывает сопоставление состава рудообразующего хромшпинелида с составом акцессорного хромшпинелида из пород, слагающих рудное поле.

- 5. Разбор вариаций состава рудообразующих хромшпинелидов в зависимости от нахождения рудных тел в массиве показал следующее:
- а) Составы хромшпинелидов, взятых в пределах одного, так же как и нескольких близрасположенных рудных тел данного месторождения, показывают незначительные колебания. Наблюдаемые при этом некото-

рые колебания состава связаны с текстурными особенностями руд: вкрапленные руды содержат рудообразующие хромшпинелиды, относительно более богатые хромом; хромшпинелиды из массивных руд несколько беднее хромом и богаче алюминием; хромшпинелиды из вкрапленных руд различной густоты и из нодулярных руд имеют промежуточный состав между двумя вышеназванными.

б) Составы рудообразующих хромшпинелидов из месторождений, находящихся в пределах одного массива, но расположенных в участках или полях пород различного петрографического состава, имеют заметные, а иногда значительные различия. Для большинства массивов Урала в этом отношении наблюдаются общие закономерности, которые сводятся к следующему: содержание двухвалентных элементов в хромшпинелидах из различных по составу пород варьирует незначительно; отношение MgO: FeO в хромшпинелидах каждого массива имеет свою определенную величину и свои пределы колебаний. Значительно резче выражены вариации состава хромшпинелидов по содержанию в них трехвалентных элементов Сг, А1, Fe+++.

Хромшпинелиды из месторождений, находящихся среди больших масс дунитов, отличаются вообще повышенным содержанием хрома, по сравнению с содержанием его в хромшпинелидах рудных тел среди других пород массива.

Хромшпинелиды из рудных тел, расположенных в больших массах гардбургитов, содержат обычно несколько меньше хрома, чем в предыдущем случае. Содержание алюминия в них возрастает.

Хромшпинелиды из рудных тел, расположенных в лерцолитах, часто с обособлениями гарцбургитов и дунитов, в которых, собственно, и заключены рудные тела, содержат еще меньше хрома, чем хромшпинелиды из месторождений в гарцбургитах, если последние имеются в данном массиве.

Месторождения хромитовых руд в верлитах редки. Известные находки показывают, что хромшпинелиды характеризуются здесь низким содержанием хрома и алюминия и высоким — трехвалентного железа и титана. В пироксенитах большие скопления хромитов почти не известны. Анализы руд массивного сложения показывают высокое содержание трехвалентного железа и титана; содержание хрома ничтожно, и, следовательно, такие руды уже не относятся к хромитам.

- в) Сравнение с помощью диаграмм составов рудообразующих хромшпинелидов из месторождений различных массивов позволило установить наличие двух групп массивов с весьма характерными общими чертами химического состава хромшпинелидов. В связи с этим выделены две группы хромшпинелидов: существенно магнезиальные и магнезиальножелезистые. Первая группа отличается высокой магнезиальностью хромшпинелидов с отношением MgO: FeO = 1.8—2.6, у второй это отношение равно 0.6—1.8. В этой последней имеется подгруппа хромшпинелидов с повышенным содержанием трехвалентного железа.
- 6. Корреляция рудообразующих хромшпинелидов и ультраосновных пород по химическому составу показала следующее.
- А. Существенно магнезиальные рудообразующие хромшпинелиды характерны для рудных тел, залегающих в таких ультрабазитах, которым присуща высокая магнезиальность. Отношения MgO: FeO соответственно: в рудообразующих хромшпинелидах = 1.8—2.6; в ультрабазитах = 10.0—12.5.

При этом для магнезиальных хромшпинелидов с различным содержанием Cr и Al отмечаются такие связи:

а) хромшпинелиды, относительно богатые хромом, слагают рудные тела среди комплекса ультрабазитов, характеризующегося крупными обособ-

лениями дунитов, резко подчиненным присутствием гарцбургитов и отсутствием или весьма слабым развитием габбро и пироксенитов;

б) хромшпинелиды с средним содержанием хрома и соответственно более богатые алюминием слагают рудные тела среди крупных масс гарцбургитов, в которых присутствуют также значительные обособления дунитов; габбро образуют здесь лишь небольшие тела, пироксениты отсутствуют;

в) магнезиальные хромшпинелиды с еще более низким содержанием хрома, высоко глиноземистые, слагают рудные тела среди гарцбургитов, с которыми связаны лишь незначительные обособления дунитов. Здесь же в заметных количествах находятся габброиды.

Таким образом, чем меньше в петрографическом составе хромитоносного комплекса роль дунитов и чем выше роль перидотитов и габброидов, тем более глиноземистые хромшпинелиды слагают рудные тела.

Б. Магнезиально-железистые хромшпинелиды характерны для месторождений в массивах, ультрабазитам которых присуща большая железистость, нежели в предыдущих случаях.

Отношения  $\frac{\text{MgO}}{\text{«FeO»}}$  соответственно: в рудообразующих хромшинелидах = 0.6—1.8, в ультрабазитах = 4.7—9.8. В целом массивы, содержащие месторождения магнезиально-железистых хромшинелидов, характеризуются преобладанием таких типов пород, которые содержат заметные количества кальция и щелочей, а именно: лерцолитов, верлитов, пироксенитов и габброидов.

Высоко хромистые хромшпинелиды этой группы образуют месторождения в таких дифференцированных интрузивах, в которых главную роль играют перидотиты, лерцолиты и гарцбургиты, дуниты же входят только в подчиненных количествах. Наряду с перидотитами присутствуют значительные количества пироксенитов, а также в том или ином количестве габброиды.

Месторождения высоко глиноземистых хромшпинелидов с низким содержанием хрома связаны с интрузивами, в составе которых главную роль, как и в предыдущем случае, играют перидотиты (лерцолиты, гарцбургиты) и значительные количества пироксенитов. Однако для этих интрузивов характерна незначительная степень дифференцированности и почти полное отсутствие дунитов.

Хромшпинелиды рассматриваемой группы, относящиеся к разностям с повышенным содержанием трехвалентного железа, образуют месторождения в интрузивах с теми же чертами петрографического состава, что и для интрузивов с месторождениями высоко хромистых хромшпинелидов. Особенностью их является наличие специфического петрографического комплекса, в котором тесно связаны дуниты, несущие собственно рудные тела, затем верлиты, различные пироксениты и габброиды.

7. Для объяснения установленных закономерностей связи состава хромшпинелидов с особенностями состава пород хромитоносных интрузивов автор предлагает следующую гипотезу.

Большинство исследователей согласны с тем, что хромитовые месторождения образованы остаточными рудно-силикатными расплавами, которые формировались при кристаллизации магмы ультраосновных пород.

Академик А. Н. Заварицкий высказывает предположение, что габброперидотитовая магма могла дифференцироваться в камере интрузива на ряд вон различного состава еще в жидком состоянии, т. е. формировать ряд «частных» магм. В согласии с этим из данных, приведенных в настоящей работе, вытекает еще одно дополнительное положение для вопроса о генезисе хромитовых месторождений. Оно сводится к тому, что в диф-

ференцированных ультраосновных интрузивах, в процессе кристаллизации каждой «частной» магмы, вероятно, могли формироваться свои остаточные рудно-силикатные расплавы, из которых потом и выделялись хромитовые руды. Особенности остаточного расплава зависят от характерных черт химического состава магматического расплава, образовавшего вмещающие породы месторождения. Большое значение при этом имеют те или иные соотношения Al, Cr, Fe, Mg, Ca и щелочей в составе «частных» магм. Эти соотношения находят свое отражение в составе остаточного рудно-силикатного расплава и в составе кристаллизующегося из него рудообразующегося хромшпинелида. Так, повышенная железистость «частной» магмы отражается на составе остаточного расплава, и кристаллизующиеся из него рудообразующие хромшиниелиды весьма богаты железом. Высокая магнезиальность магматического расплава также резко сказывается на составе хромшпинелидов и они унаследуют высокую магнезиальность такой магмы и т. д. В составе «частных» магм, формирующих породы, содержание некоторых элементов, например хрома и алюминия, находится в зависимости от кислотности этих магм. Так, наиболее богатыми хромом и бедными алюминием являются магмы дунитового состава; в магмах гарцбургитового состава содержание хрома уменьшается, а алюминия — возрастает. В магмах лерцолитового и пироксенитового состава содержание алюминия еще более возрастает с параллельным значительным понижением содержания хрома. Те «частные» магмы, в которых хром резко преобладает над алюминием, порождают и остаточные рудно-силикатные расплавы, обогащенные хромом, а образующиеся из таких расплавов рудообразующие хромшпинелиды являются высоко хромистыми и мало глиноземистыми.

Те магматические расплавы, которые были относительно богаты алюминием и бедны хромом, но содержали значительное количество кальция (а иногда и щелочей), формировали рудно-силикатные остаточные расплавы, также богатые хромом. Такое обогащение хромом происходит вследствие того, что алюминий в этапе протокристаллизации в значительной мере расходовался на образование известково-магнезиальных метасиликатов пироксенов и амфиболов, а иногда и на образование плагиоклазов (в плагиолерцолитах и др.) и, вследствие этого, до остаточного рудно-силикатного расплава доходила только незначительная часть алюминия. Хром же при этом не расходовался и удерживался в расплаве до поздних стадий. Рудообразующие хромшпинелиды, образованные такими остаточными расплавами, высокохромисты и бедны алюминием. Если магматические расплавы при тех же соотношениях алюминия и хрома, т. е. при преобладании алюминия над хромом, были бедны кальцием (и щелочами), то остаточные рудно-силикатные расплавы обогащаются алюминием, так как этот элемент не мог расходоваться на образование породообразующих минералов. Хромшпинелиды, выделяющиеся из таких остаточных расплавов, низкохромисты и богаты алюминием.

- 8. Предыдущие выводы сделаны в том предположении, что хромитовые рудные тела образованы из остаточных расплавов той самой магмы, из которой закристаллизовались ультраосновные породы, вмещающие и окружающие месторождение.
- Г. А. Соколов выдвинул идею о том, что некоторые хромитовые месторождения являются «гетеромагматическими» по отношению к вмещающим ультрабазитам, вследствие того, что соответствующие остаточные расплавы отщеплялись в нижележащих зонах данного интрузива и затем инъицировались в уже затвердевшую вышележащую зону.

Для «гетеромагматических» хромитовых месторождений сделанные нами выводы имели бы лишь ограниченное значение. Однако автор, на

основании материалов, изложенных в главах III—VI, считает, что признаки, предложенные Г. А. Соколовым для выделения «гетеромагматических» месторождений, еще не вполне обоснованы и требуют дополнительных исследований.

В заключение следует отметить, что если в СССР рассмотренному здесь вопросу уделялось серьезное внимание, начиная с 1929 г., то за рубежом этому вопросу не было уделено внимания до самого последнего времени. Лишь в 1946 г. была опубликована статья Сайера «Предварительное химическое сопоставление хромитов с вмещающими породами», основывающаяся на материалах по изучению месторождений хромитов Западного полушария. В этой работе при объяснении вариаций состава хромшпинелидов по содержанию хрома и алюминия в связи с вмещающими породами, Сайер высказывает предположение о существенной роли кальция и щелочей, в особенности об их соотношении во вмещающих породах. Однако этот автор не разбирает сколько-нибудь подробно геохимическое поведение этих элементов при формировании хромитовых месторождений.

Автор настоящей работы еще в 1941 г. опубликовал статью, где на примере южноуральских месторождений хромита рассмотрел возможное геохимическое значение кальция и щелочей в процессе рудообразования, а в данной работе развил эти вопросы, опираясь на более широкий фактический материал.

Следует подчеркнуть, что предлагаемая работа, конечно, не охватывает проблемы в целом, так как она касается только качественной стороны вопроса. Тем не менее практическое значение ее заключается в том, что при наличии даже самых предварительных сведений об особенностях первичного петрографического состава пород и характера их распределения в интрузиве можно судить о качестве руд. Это позволяет в известной мере предугадывать качество руд при поисках на хромиты в конкретных ультраосновных массивах.

Выяснение влияния состава пород на масштаб оруденения на основании количественного соотношения этих пород в интрузивах и внутреннего строения последних является делом будущего. Имеющиеся в настоящее время данные еще не позволяют установить соответствующих зависимостей.

#### ЛИТЕРАТУРА

- Альбов М. Н. Аккаргинский золотоносный район (Южный Урал). Горный журнал, 1938, № 9.
- Бетехтин А. Г. К изучению месторождений хромистого железняка. Зап. Ленингр. горн. инст., 1934, 8.
- Бетехтин А. Г. Платина. Изд. Ломоносов. инст. геол. и мин. Акад. Наук, 1935.
- Бетехтин А. Г. Шорджинский хромитоносный перидотитовый массив (в Закавказье) и генезис месторождений хромистого железняка вообще. Сб. «Хромиты СССР», т. 1. Изд. Акад. Наук, 1937.
- Бетехтин А. Г. Халиловские месторождения хромистого железняка на Южном Урале. Тр. Инст. геол. наук Акад. Наук, 1940.
- Бетехтин А. Г. и Кашин С. А. Минералогия месторождений хромистого железняка Халиловского района. Сб. «Хромиты СССР», т. І. Изд. Акад. Наук, 1937.
- Болдырев А. К. 1. Курс описательной минералогии, вып. 3. 1935.
- Болдырев А. К. 2. Рабочая книга по минералогии, т. 2. 1935.
- Вахрамеев С. А. Хромиты (хромшпинели) Уралаи их классификация. Свердлгиз, Свердловск, 1936.
- Вахрамеев С. А., Зимин И. А. идр. Уральские месторождения хромита. Тр. Всесоюзн. инст. мин. сырья, 1936, вып. 85.

- Высодкий Н. К. Платина и районы ее добычи. Труды КЕПС Акад. Наук, т. 4, Л., 1925.
- Гассель О. Кристаллохимия. Химиздат, 1936.
- Гинзбург И. И., Савельев И. И., Корин И. З. и др. Древняя кора выветривания на ультраосновных породах Урала, ч. І. Тр. Инст. геол. наук Акад. Наук, 1946, вып. 80.
- Горностаев Н. Н. Геологические исследования в Полтавском районе Урала тр. Всесоюзн. геол.-разв. объед., 1933.
- дели Р. С. Изверженные породы и глубины земли. Перев. с англ. Л., ОНТИ, 1936.
- Заварицкий А. Н. Перидотитовый массив Рай-Из в Полярном Урале. Всесоюзн. геол.-разв. объед., 1932.
- Заварицкий А. Н. Магматические и метаморфические породы Урала. Геологическая карта Урала. Масштаб 1:500 000. Объяснительная записка. 1939.
- Заварицкий А. Н. Некоторые основные вопросы геологии Урала. Изв. Акад. Наук, сер. геол., 1941, № 3, 36—111.
- Зимин И. А. Сарановское хромитовое месторождение. Тр. Научно-иссл. инстгеол. и мин. сырья, вып. 2. Свердловск. 1938.
- Кашин С. А. Метаморфизм хромшпинелидов в хромитовых месторождениях Верблюжьих гор (на Южном Урале). Сб. «Хромиты СССР», т. І. Изд. Акад. Наук, 1937.
- Кашин С. А. и Федоров В. Л. Хабарнинский ультраосновной массив и его хромитовые месторождения. Сб. «Хромиты СССР», т. 2. Изд. Акад. Наук, 1940.
- К ротов Б. П. Ближайшие задачи изучения месторождений хромистого железняка Союза. 1932.
- Кузнедов Е. А. и Лучидкий В. И. Петрографические провиндии СССР. ОНТИ, 1936.
- Либрович Л. С. Геологическое исследование в Алапаевском районе на восточном склоне Урала. Изв. Геол. ком., 1925.
- Логинов В. П., Павлов Н. В., Соколов Г. А. Хромитоносность Кемпирсайского ультраосновного массива на Южном Урале. Сб. «Хромиты СССР», т. 2. Изд. Акад. Наук, 1940.
- "Малышев И. И. К вопросу о генетическом сходстве титано-магнетитовых и хромитовых месторождений западного склона Урала. Изв. Акад. Наук, сер. геол., 1936, № 4, 585—610.
- Мишарев Д. М. Дуниты Васильево-Шайтанской дачи на Урале. Зап. Горн. инст., 1913, 5, вып. 1.
- Павлов Н. В. Химический состав рудообразующих хромшпинелидов Южно-Уральских месторождений в связи с составом вмещающих пород. Тр. Инст. геол. наук Акад. Наук, 1941, вып. 41, сер. рудн. месторожд., № 5.
- Падалка Г. А. Змеевиковая зона и месторождения асбеста во 2-й Вагранской даче на Северном Урале. Тр. Гл. геол.-разв. упр., 1932, вып. 50.
- Падалка Г. А. Западная полоса пород габбро-перидотитовой формации Урала. Петрография Урала, т. І. Изд. Акад. Наук, 1937.
- Соколов Г. А. Геолого-химические исследования хромитоносного массива Южного Крака. Тр. Ломоносов. инст. Акад. Наук, 1937.
- Соколов Г. А. Хромшпинелиды ультраосновных комплексов (основные черты химического состава и их классификация). Сб. посвящен. акад. Д. С. Белянкину к 70-летию со дня рождения. Изд. Акад. Наук, 1946.
- Соколов Г. А. Хромиты Урала, их состав, условия кристаллизации и закономерности распространения. Тр. Инст. геол. наук Акад. Наук, 1948, вып. 97, сер. рудн. месторожд., № 12.
- Соколов Г. А., Вахрамеев С. А., Кашин С. А. и Синдеева Н. Д. Геохимические исследования на горе Верблюжьей. Тр. СОПС Акад. Наук. сер. урал., 1936, вып. 5.
- Татаринов П. М. Южно-Кемпирсайские месторождения хромитового железняка— новая сырьевая база для ферросплавов. «Разведка недр», 1939, № 7.
- Татаринов П. М. 1. Восточная полоса габбро-перидотитовых интрузий Среднего Урала. Изд. Акад. Наук, М.— Л., 1940.
- Татаринов П. М. 2. Алапаевская интрузия ультраосновных пород на Среднем Урале и ее месторождения хромистого железняка. М.— Л., Госгеолиздат, 1940.

- татаринов П. М. и Красновский Г. М. Алапаевский массив ультраосновных пород и связанные с ним месторождения хромистого железняка. «Сов. геология», 1938, 8. № 7.
- татаринов П. М. и Красновский Г. М. Алапаевская интрузия ультраосновных пород на Урале и ее месторождения хромистого железняка. Тр. Центр. всесоюзн. научно-иссл. геол.-разв. инст., 1940, вып. 120.
- токарев И. Ф. Дунито-пироксенитовый массив Уктусских гор. Зап. Урал. общ. любит. естествозн., 1922, 38, вып. 1.
- ульянов Д. Г., Грицаенко Г. С. и др. Месторождения силикатно-никелевых руд Орско-Халиловского района. Тр. Всесоюзн. инст. мин. сырья, 1937.
- **х**ромистые железняки; марганцевые руды. Минеральные ресурсы СССР. Сводка запасов на 1 января 1936 г., вып. 2. 1936.
- Шахов Ф. П. Материалы по геологии Таналыко-Баймакского района на Южном Урале. Изв. Сиб. техн. инст., 1926, 49.
- Barth T. F. W. a. Posnjak E. Spinel structures: with and without variate atom equipoise. Zs. Krist., 1932, 82, 325.
- Bragg W. Cristalline state. London, 1933.
- Bragg W. Recent crystallography. «Nature», 1937, No 3525, 865-886.
- Sampson E. Magmatic chromite deposits in Southern Africa. Econ. Geol., 1932, 27, No 2.
- Sampson E. Chromite Deposits. Ore Deposits as related to Structural Features. New Jersey, 1942.
- Stevens R. E. The composition of some chromites of the Western Hemisphere. Amer. Min., 1944, 29, No 1 a. 2.
- Thayer T. P. Preliminary Chemical Correlation of Chromite with the Containing Rocks. Econ. Geol., 1946, 41, No 3.
- Winchell A. N. The spinel group. Amer. Min., 1941, 26, 424.

11-30155

- Высопкий Н. К. Платина и районы ее добычи. Труды КЕПС Акад. Наук, т. 4, Л., 1925.
- Гассель О. Кристаллохимия. Химиздат, 1936.
- Гинабург И. И., Савельев И. И., Корин И. З. и др. Древняя кора выветривания на ультраосновных породах Урала, ч. І. Тр. Инст. геол. наук Акад. Наук, 1946, вып. 80.
- Горностаев Н. Н. Геологические исследования в Полтавском районе Урала Тр. Всесоюзн. геол.-разв. объед., 1933.
- Дели Р. С. Изверженные породы и глубины земли. Перев. с англ. Л., ОНТИ, 1936.
- Заваридкий А. Н. Перидотитовый массив Рай-Из в Полярном Урале. Всесоюзн. геол.-разв. объед., 1932.
- Заварицкий А. Н. Магматические и метаморфические породы Урала. Геологическая карта Урала. Масштаб 1:500 000. Объяснительная записка. 1939.
- Заварицкий А. Н. Некоторые основные вопросы геологии Урала. Изв. Акад. Наук, сер. геол., 1941, № 3, 36—111.
- Зимин И. А. Сарановское хромитовое месторождение. Тр. Научно-иссл. инстгеол. и мин. сырья, вып. 2. Свердловск. 1938.
- Кашин С. А. Метаморфизм хромшпинелидов в хромитовых месторождениях Верблюжьих гор (на Южном Урале). Сб. «Хромиты СССР», т. І. Изд. Акад. Наук, 1937.
- Кашин С. А. и Федоров В. Л. Хабарнинский ультраосновной массив и его хромитовые месторождения. Сб. «Хромиты СССР», т. 2. Изд. Акад. Наук, 1940.
- К ротов Б. П. Ближайшие задачи изучения месторождений хромистого железняка Союза. 1932.
- Кузнецов Е. А. и Лучицкий В. И. Петрографические провинции СССР. ОНТИ, 1936.
- Либрович Л. С. Геологическое исследование в Алапаевском районе на восточном склоне Урала. Изв. Геол. ком., 1925.
- Логинов В. П., Павлов Н. В., Соколов Г. А. Хромитоносность Кемпирсайского ультраосновного массива на Южном Урале. Сб. «Хромиты СССР», т. 2. Изд. Акад. Наук, 1940.
- "Малышев И.И. К вопросу о генетическом сходстве титано-магнетитовых и хромитовых месторождений западного склона Урала. Изв. Акад. Наук, сер. геол., 1936, № 4, 585—610.
- Митарев Д. М. Дуниты Васильево-Шайтанской дачи на Урале. Зап. Горн. инст., 1913, 5, вып. 1.
- Павлов Н. В. Химический состав рудообразующих хромшпинелидов Южно-Уральских месторождений в связи с составом вмещающих пород. Тр. Инст. геол. наук Акад. Наук, 1941, вып. 41, сер. рудн. месторожд., № 5.
- Падалка Г. А. Змеевиковая зона и месторождения асбеста во 2-й Вагранской даче на Северном Урале. Тр. Гл. геол.-разв. упр., 1932, вып. 50.
- Падалка Г. А. Западная полоса пород габбро-перидотитовой формации Урала. Петрография Урала, т. І. Изд. Акад. Наук, 1937.
- Соколов Г. А. Геолого-химические исследования хромитоносного массива Южного Крака. Тр. Ломоносов. инст. Акад. Наук, 1937.
- Соколов Г. А. Хромшпинелиды ультраосновных комплексов (основные черты химического состава и их классификация). Сб. посвящен. акад. Д. С. Белянкину к 70-летию со дня рождения. Изд. Акад. Наук, 1946.
- Соколов Г. А. Хромиты Урала, их состав, условия кристаллизации и закономерности распространения. Тр. Инст. геол. наук Акад. Наук, 1948, вып. 97, сер. рудн. месторожд., № 12.
- Соколов Г. А., Вахрамеев С. А., Кашин С. А. и Синдеева Н. Д. Геохимические исследования на горе Верблюжьей. Тр. СОПС Акад. Наук. сер. урал., 1936, вып. 5.
- Татаринов П. М. Южно-Кемпирсайские месторождения хромитового железняка— новая сырьевая база для ферросплавов. «Разведка недр», 1939, № 7.
- Татаринов П. М. 1. Восточная полоса габбро-перидотитовых интрузий Среднего Урала. Изд. Акад. Наук, М.— Л., 1940.
- Татаринов П. М. 2. Алапаевская интрузия ультраосновных пород на Среднем Урале и ее месторождения хромистого железняка. М.— Л., Госгеолиздат, 1940.

- татаринов П. М. и Красновский Г. М. Алапаевский массив ультраосновных пород и связанные с ним месторождения хромистого железняка. «Сов. геология», 1938, 8. № 7.
- Татаринов П. М. и Красновский Г. М. Алапаевская интрузия ультраосновных пород на Урале и ее месторождения хромистого железняка. Тр. Центр. всесоюзн. научно-иссл. геол.-разв. инст., 1940, вып. 120.
- токарев И. Ф. Дунито-пироксенитовый массив Уктусских гор. Зап. Урал. общ. любит. естествозн., 1922, 38, вып. 1.
- ульянов Д. Г., Грицаенко Г. С. и др. Месторождения силикатно-никелевых руд Орско-Халиловского района. Тр. Всесоюзн. инст. мин. сырья, 1937.
- **х**ромистые железняки; марганцевые руды. Минеральные ресурсы СССР. Сводка запасов на 1 января 1936 г., вып. 2. 1936.
- шахов Ф. П. Материалы по геологии Таналыко-Баймакского района на Южном Урале. Изв. Сиб. техн. инст., 1926, 49.
- Barth T. F. W. a. Posnjak E. Spinel structures: with and without variate atom equipoise. Zs. Krist., 1932, 82, 325.
- Bragg W. Cristalline state. London, 1933.
- Bragg W. Recent crystallography. «Nature», 1937, No 3525, 865-886.
- Sampson E. Magmatic chromite deposits in Southern Africa. Econ. Geol., 1932, 27, No 2.
- Sampson E. Chromite Deposits. Ore Deposits as related to Structural Features. New Jersey, 1942.
- Stevens R. E. The composition of some chromites of the Western Hemisphere. Amer. Min., 1944, 29, No 1 a. 2.
- Thayer T. P. Preliminary Chemical Correlation of Chromite with the Containing Rocks. Econ. Geol., 1946, 41, No 3.
- Winchell A. N. The spinel group. Amer. Min., 1941, 26, 424.

11-30155

### ОГЛАВЛЕНИЕ

Введение Стр.
<ol> <li>О химическом составе природных хромшпинелидов (общая характеристика химического состава и изоморфизм природных хромшпинелидов)</li> </ol>
<ol> <li>Обзор петрографического состава ультраосновных массивов Урала 17</li> <li>Первичный петрографический состав ультраосновных массивов Урала (группы массивов по первичному петрографическому составу) 17</li> </ol>
111. Химический состав пород ультраосновных массивов Урала
IV. Акцессорные хромшинелиды и сравнение их с рудообразующими 36
1. Состав акцессорных хромшпинелидов
2. Структурные взаимоотношения акцессорных хромшпинелидов с первич- ными силикатами ультраосновных пород
3. Сопоставление химических составов акцессорных и рудообразующих хромшинелидов некоторых месторождений Урала
V. Вариации химического состава рудообразующих хромшпинелидов в за- висимости от условий нахождения рудных тел в массивах 46
1. Вариации состава рудообразующих хромшпинелидов в пределах одного или нескольких близлежащих рудных тел
2. Вариации составов рудообразующих хромшпинелидов в пределах одного массива
3. Общее сравнение составов рудообразующих хромшпинелидов из место- рождений различных массивов
VI. Корреляция рудообразующих хромшпинелидов и ультраосновных пород по химическому составу
VII. Возможное объяснение вариаций состава хромшпинелидов в связи с особенностями состава пород хромитоносных интрузивов 69
Выводы и заключение

Печатается по постановлению Редакционно-издательского совета Академии Наук СССР
Редактор издательства В. С. Шейнман. Технич. редактор И. И. Карпов. Корректор Н. Н. Певцова
РИСО АН СССР — 3187. А—02607. Издат. — 1713. Тип. заказ — 1359. Подп. к печ. 4/II 1949 г.
Формат бум. 70×1081/14. Печ. л. 5,5+3 вклейки. Уч.-изд. л. 8,4.